

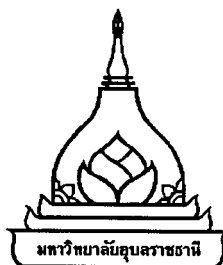
## การนำบัณฑิตน้ำผึ้งดินเบื้องต้นด้วยกระบวนการไมโครฟิลเตอร์ชัน

ภาณุวัฒน์ สีทา

การกันครัวอิสระนี้เป็นส่วนหนึ่งของการศึกษาตามหลักสูตรปริญญาวิศวกรรมศาสตร์มหาบัณฑิต  
สาขาวิชาชีวกรรมสิ่งแวดล้อม คณะวิศวกรรมศาสตร์  
มหาวิทยาลัยอุบลราชธานี

พ.ศ. 2550

ลิขสิทธิ์เป็นของมหาวิทยาลัยอุบลราชธานี



## **MICROFILTRATION FOR PRETREATMENT OF SURFACE WATER**

**PANUWAT SEETA**

**AN INDEPENDENT STUDY SUBMITTED IN PARTIAL FULFILLMENT OF  
THE REQUIREMENTS FOR THE DEGREE OF MASTER OF ENGINEERING**

**MAJOR IN ENVIRONMENTAL ENGINEERING**

**FACULTY OF ENGINEERING**

**UBON RAJATHANE UNIVERSITY**

**YEAR 2007**

**COPYRIGHT OF UBON RAJATHANE UNIVERSITY**



ใบรับรองการค้นคว้าอิสระ

มหาวิทยาลัยอุบลราชธานี

ปริญญา วิศวกรรมศาสตรมหาบัณฑิต

สาขาวิชาวิศวกรรมสิ่งแวดล้อม คณะวิศวกรรมศาสตร์

เรื่อง การนำบัคน้ำผิวดินเบื้องต้นด้วยกระบวนการไมโครพิลเตอร์ชัน

ผู้วิจัย นายภานุวัฒน์ สีทา

ได้พิจารณาเห็นชอบโดย

อาจารย์ที่ปรึกษา

(ผู้ช่วยศาสตราจารย์ ดร.สุพัฒน์ พงษ์ มัตราช)

กรรมการ

(ผู้ช่วยศาสตราจารย์ ดร.ชลอ จาเรสุทธิรักษ์)

กรรมการ

(ดร.สกัญญา ศรีวงศ์)

คณะกรรมการ

(รองศาสตราจารย์ ดร.สถาพร โภคากา)

มหาวิทยาลัยอุบลราชธานี รับรองแล้ว

(ผู้ช่วยศาสตราจารย์ ดร.อุธิศ อินทร์ประสิทธิ์)

รองอธิการบดีฝ่ายวิชาการ

ปฏิบัติราชการแทนอธิการบดี มหาวิทยาลัยอุบลราชธานี

ปีการศึกษา 2550

## กิตติกรรมประกาศ

การศึกษาค้นคว้าอิสระนี้สำเร็จลุล่วงด้วยดี โดยได้รับความช่วยเหลือ ข้อซึ่งแนบ ตลอดจน กำลังใจ อันเป็นคุณประโยชน์ในการค้นคว้าข้อมูล การปฏิบัติการทดลองและการแก้ไขปัญหาต่างๆ

ผู้ช่วยศาสตราจารย์ ดร.สุพัฒนพงษ์ มัตราช อาจารย์ที่ปรึกษาการค้นคว้าอิสระ ที่ได้ให้ คำแนะนำพร้อมทั้งคำปรึกษา ข้อเสนอแนะ รวมถึงแนวทางในการหาข้อมูลและดำเนินการวิจัย ตลอดจนวิธีการแก้ไขปัญหาต่างๆ ใน การทดลอง ขอขอบพระคุณท่านอาจารย์ที่สละเวลาให้ คำแนะนำในด้านต่างๆ อันเป็นประโยชน์อย่างยิ่งแก่ตัวข้าพเจ้า อีกทั้งได้ให้คำสั่งสอนทั้งความรู้ที่มี อยู่ในตำราเรียนและความรู้นอกตำราเรียน จนกระทั่งการค้นคว้าอิสระฉบับนี้สำเร็จลุล่วงด้วยดี

ผู้ช่วยศาสตราจารย์ ดร.ชลอ จาโรสุทธิรักษ์ และ ดร.สุกัญญา ศรีส่งฯ กรรมการค้นคว้า อิสระ ที่ได้ให้คำแนะนำ อันเป็นประโยชน์ในการดำเนินงานวิจัยและขอบพระคุณท่านอาจารย์ที่ได้ สละเวลาอันมีค่าเพื่อเป็นคณะกรรมการค้นคว้าอิสระ

ขอขอบพระคุณคณะอาจารย์ในภาควิชาศึกษาศาสตร์ คณะวิศวกรรมศาสตร์ มหาวิทยาลัยอุบลราชธานี ที่ได้ให้คำสั่งสอนและความรู้ที่มีอยู่ทั้งในตำราเรียนและนอกตำราเรียน ทำ ให้ข้าพเจ้าสามารถนำมาประยุกต์ใช้ในการค้นคว้าอิสระ

ขอขอบคุณ ดร.สุทธิวัลย์ สีทา, เพื่อนๆ ร่วมรุ่นวิศวกรรมสิ่งแวดล้อม รุ่นที่ 3 มหาวิทยาลัยอุบลราชธานี คุณคนสัน มงคลสวัสดิ์ คุณธีระภูมิ บุญล้อม คุณพรนกษา แก้วประดิษฐ์ และคุณพัฒนาชัยพร สินรัมย์ ที่ให้ความช่วยเหลือในการศึกษาครั้งนี้

ขอขอบคุณ บริษัท ที.เอส.ซัพพลาย แอนด์ คอนสตรัคชั่น จำกัด ที่ได้สนับสนุนและให้ กำลังใจในการศึกษาครั้งนี้ด้วย

ขอขอบคุณ เจ้าหน้าที่ห้องปฏิบัติการภาควิชาศึกษาศาสตร์ คณะวิศวกรรมศาสตร์ มหาวิทยาลัยอุบลราชธานี ที่ได้ช่วยเหลือระหว่างทำการค้นคว้าอิสระ

สุดท้ายนี้ขอขอบพระคุณ บิดา นารดา ที่ได้ให้ชีวิต ความรัก กำลังส่งบนร่มสนับสนุน และช่วยเหลือ อีกทั้งเป็นกำลังใจอันสำคัญในการทำวิจัยครั้งนี้มาโดยตลอดจนสำเร็จการศึกษาได้ ด้วยดี

กานุวัฒน์ ล้ำ  
(นายกานุวัฒน์ สีทา)

ผู้วิจัย

## บทคัดย่อ

ชื่อเรื่อง : การนำบัดน้ำผิวดินเบื้องต้นด้วยกระบวนการไมโครฟิลเตอร์ชัน

โดย : ภานุวัฒน์ สีทา

ชื่อปริญญา : วิศวกรรมศาสตร์มหาบัณฑิต

สาขาวิชา : วิศวกรรมสิ่งแวดล้อม

ประธานกรรมการที่ปรึกษา : ผู้ช่วยศาสตราจารย์ ดร.สุพัฒน์พงษ์ มัตรชา

คำที่สำคัญ : เมมเบรน ไมโครฟิลเตอร์ชัน ออสโนซิสข้อนกลับ เพอร์มิเอофลักซ์ สารอินทรีย์คาร์บอนทั้งหมด

การวิจัยในครั้งนี้ เป็นการศึกษาถึงประสิทธิภาพของระบบการกรองผ่านเมมเบรนแบบไมโครฟิลเตอร์ชัน (Microfiltration, MF) ในการนำบัดเบื้องต้นของแหล่งน้ำผิวดินด้วยการดำเนินระบบการไอลตามแนวดิ่ง (Dead-end operation) ส่วนน้ำที่ผ่านการนำบัดด้วยการกรองแบบไมโครฟิลเตอร์ชันจะถูกทดสอบโดยการกรองแบบออสโนซิสข้อนกลับภายใต้เครื่องมือทดสอบแบบไอลขวาง (Cross-flow operation) เพื่อเปรียบเทียบเพอร์มิเอофลักซ์กับผลจากแหล่งน้ำที่ไม่ผ่านการนำบัดเบื้องต้น ถ้าหากการดำเนินระบบเปลี่ยนสภาวะ ได้แก่การทดลองระบบอนุกรม (Series) และแบบกะ (Batch) โดยใช้ขนาดรูพรุนของเมมเบรนที่แตกต่างกันได้แก่ 5, 1.2 และ 0.45 ไมโครเมตร ผลการศึกษาพบว่า การลดลงของเพอร์มิเอофลักซ์จากการกรองออสโนซิสข้อนกลับมีค่าลดลงเนื่องจากการนำบัดเบื้องต้นจากการกรองผ่านเมมเบรนแบบไมโครฟิลเตอร์ชันขนาดรูพรุน 5, 1.2 และ 0.45 ไมโครเมตร สำหรับการทดสอบแบบอนุกรมและแบบกะค่าเพอร์มิเอофลักซ์มีอัตราการลดลงอย่างเด่นชัดในช่วงระยะเวลา 10 นาทีแรกโดยค่าฟลักซ์จะลดลงน้อยกว่าร้อยละ 10 เมื่อเปรียบเทียบกับค่าฟลักซ์เริ่มต้นอาจเนื่องจากมีการสะสมสารแขวนลอยและคลอ/doiyค์บนผิวของเมมเบรนและหรือภายในช่องรูพรุนเมมเบรนทำให้เกิดการอุดตันบนแผ่นเมมเบรน ส่วนการเพิ่มความดันส่งผลทำให้เกิดการอัดตัวของอนุภาคสารแขวนลอยและคลอ/doiyค์ที่บริเวณผิวน้ำเมมเบรนและภายในรูพรุนเมมเบรนทำให้ขนาดรูพรุนเล็กลง จึงมีผลทำให้ค่าการกำจัดความชุ่นและสารอินทรีย์คาร์บอนทั้งหมดเพิ่มสูงขึ้น

## ABSTRACT

TITLE : MICROFILTRATION FOR PRETREATMENT OF SURFACE WATER  
BY : PANUWAT SEETA  
DEGREE : MASTER OF ENGINEERING  
MAJOR : ENVIRONMENTAL ENGINEERING  
CHAIR : ASST. PROF. SUPATPONG MATTARAJ, Ph.D.

KEYWORDS : MEMBRANE / MICROFILTRATION / REVERSE OSMOSIS /  
PERMEATE FLUX / TOTAL ORGANIC CARBON

This research studied the performance of microfiltration membrane for pretreatment of surface water using a dead-end operation while the pretreated water was further investigated using a reverse osmosis under a crossflow bench-scale test cell to compare the permeate flux with the results from source water. Experimental operations were divided into two conditions (i.e. series and batch experiments) with different microfiltration pore sizes (i.e. 5, 1.2, and 0.45  $\mu\text{m}$ ). Experimental results showed that the permeate flux decline from reverse osmosis membrane decreased due to pretreatment of surface water with microfiltration of 5, 1.2, and 0.45  $\mu\text{m}$ . For series and batch experiments, the permeate flux decreased significantly with the first 10 min filtration, indicating less than 10% of initial permeate flux, possibly due to increased accumulation of suspended and colloid materials on membrane surface and/or pores, causing membrane fouling. Increased operating pressures increased suspended and colloidal materials compacted on membrane surface and/or pores, thus reduced membrane pores. This enhances an increase rejection of turbidity and total organic carbon.

## สารบัญ

หน้า

กิตติกรรมประกาศ	ก
บทคัดย่อภาษาไทย	ข
บทคัดย่อภาษาอังกฤษ	ค
สารบัญ	ง
สารบัญตาราง	ฉ
สารบัญภาพ	ภ
คำอธิบายสัญลักษณ์	ภ
บทที่	๘

### **1 บทนำ**

1.1 ความเป็นมาและความสำคัญของปัญหา	1
1.2 วัตถุประสงค์ของการวิจัย	2
1.3 ขอบเขตของการวิจัย	2
1.4 ขั้นตอนการดำเนินงานวิจัย	3
1.5 ประโยชน์ที่คาดว่าจะได้รับ	3
1.6 สถานที่ดำเนินการวิจัย ทดลอง และเก็บข้อมูล	3

### **2 ทฤษฎีและงานวิจัยที่เกี่ยวข้อง**

2.1 ลักษณะสมบัติของน้ำผิวดิน	4
2.2 กระบวนการกรองผ่านแมมนเบรน	7
2.3 กระบวนการในໂຄຣີຟເຕຣໜັນ	14
2.4 กระบวนการอสໂມຊີສຢ້ອນກລັບ	17
2.5 การทำความสะอาดแมมนเบรน	23
2.6 งานวิจัยที่เกี่ยวข้อง	25

### **3 วิธีดำเนินงานวิจัย**

3.1 สารเคมีที่ใช้ในการทดลอง	27
3.2 อุปกรณ์และเครื่องมือ	27
3.3 ขั้นตอนการทดลอง	28

## สารบัญ(ต่อ)

	หน้า
3.4 การวิเคราะห์ข้อมูล	33
<b>4 ผลการทดลองและวิจารณ์ผลการทดลอง</b>	
4.1 คุณลักษณะของน้ำตัวอย่าง	34
4.2 ผลจากการดำเนินระบบบำบัดน้ำผิวดินเบื้องต้นผ่านกระบวนการ การกรองแบบไมโครฟิลเตอร์ชั้น	35
4.3 ผลจากการดำเนินระบบของน้ำผิวดินผ่านกระบวนการกรอง แบบօโซโนซิสขั้นกลับ	59
4.4 ผลจากการดำเนินระบบผ่านกระบวนการกรองแบบօโซโนซิส ขั้นกลับของน้ำผิวดินที่ผ่านการบำบัดเบื้องต้นจากการกระบวนการ ไมโครฟิลเตอร์ชั้น	61
<b>5 สรุปผลการทดลองและข้อเสนอแนะ</b>	
5.1 สรุปผลการวิจัย	65
5.2 ข้อเสนอแนะ	66
<b>เอกสารอ้างอิง</b>	68
<b>ภาคผนวก</b>	
ก ผลการดำเนินระบบของน้ำผิวดินผ่านแมมนېรนแบบไมโครฟิลเตอร์ชั้น และօโซโนซิสขั้นกลับ	71
ข ผลการกำจัดความชุ่นและสารอินทรีย์คาร์บอนทั้งหมด เมื่อดำเนินระบบ ของน้ำผิวดินผ่านแมมนېรนแบบไมโครฟิลเตอร์ชั้นและօโซโนซิสขั้นกลับ	89
ค ตารางแสดงค่าพารามิเตอร์ของน้ำดิบผิวดินทั่วไปและค่าความด้านท่าน ของเยื่อแผ่นเมื่อดำเนินระบบของน้ำผิวดินผ่านแมมนېรนแบบไมโครฟิลเตอร์ชั้น และօโซโนซิสขั้นกลับ	96
ง ตัวอย่างการคำนวณ	99
<b>ประวัติผู้วิจัย</b>	105

## สารบัญตาราง

หน้า

### ตารางที่

4.1	คุณลักษณะทางกายภาพและทางเคมีของเหลว่น้ำผิวดิน	35
4.2	การเปรียบเทียบค่าการซึมผ่านของเมมเบรนหลังการทำความสะอาด เมมเบรนแบบ Water cleaning และ Chemical ของน้ำผิวดินเมื่อผ่านการ ดำเนินระบบแบบอนุกรม ที่ความดัน 172.33 kPa	55
4.3	การเปรียบเทียบร้อยละค่าการซึมผ่านของเมมเบรนหลังการทำความสะอาด เมมเบรน แบบ Water cleaning และ Chemical ของน้ำผิวดินเมื่อผ่านการ ดำเนินระบบแบบกะ ที่ความดัน 172.33 kPa	55
ก.1	ผลการดำเนินระบบของน้ำผิวดินผ่านเมมเบรนMF แบบอนุกรมขนาดรูพรุน 5 μm ความดัน 68.93 kPa	72
ก.2	ผลการดำเนินระบบแบบอนุกรมกรองผ่านเมมเบรนMF ขนาดรูพรุน 5 μm แล้วนำมา ดำเนินระบบผ่านเมมเบรนMF ขนาดรูพรุน 1.2 μm ความดัน 68.93 kPa	72
ก.3	ผลการดำเนินระบบแบบอนุกรมกรองผ่านเมมเบรนMF ขนาดรูพรุน 1.2 μm แล้วนำมา ดำเนินระบบผ่านเมมเบรนMF ขนาดรูพรุน 0.45 μm ความดัน 68.93 kPa	73
ก.4	ผลการดำเนินระบบของน้ำผิวดินผ่านเมมเบรนMF แบบอนุกรมขนาดรูพรุน 5 μm ความดัน 103.39 kPa	73
ก.5	ผลการดำเนินระบบแบบอนุกรมกรองผ่านเมมเบรนMF ขนาดรูพรุน 5 μm แล้วนำมา ดำเนินระบบผ่านเมมเบรนMF ขนาดรูพรุน 1.2 μm ความดัน 103.39 kPa	74
ก.6	ผลการดำเนินระบบแบบอนุกรมกรองผ่านเมมเบรนMF ขนาดรูพรุน 1.2 μm แล้วนำมาดำเนินระบบผ่านเมมเบรนMF ขนาดรูพรุน 0.45 μm ความดัน 103.39 kPa	74
ก.7	ผลการดำเนินระบบของน้ำผิวดินผ่านเมมเบรนMF แบบอนุกรมขนาดรูพรุน 5 μm	75

## สารบัญตาราง (ต่อ)

หน้า

### ตารางที่

ก.8	ผลการคำนวณระบบอนุกรมกรองผ่านเมมเบรนMF ขนาดรูพรุน 5 $\mu\text{m}$ แล้วนำมาคำนวณระบบผ่านเมมเบรนMF ขนาดรูพรุน 1.2 $\mu\text{m}$ ความดัน 137.86 kPa	75
ก.9	ผลการคำนวณระบบอนุกรมกรองผ่านเมมเบรนMF ขนาดรูพรุน 1.2 $\mu\text{m}$ แล้วนำมาคำนวณระบบผ่านเมมเบรนMF ขนาดรูพรุน 0.45 $\mu\text{m}$ ความดัน 137.86 kPa	76
ก.10	ผลการคำนวณของน้ำผิวดินผ่านเมมเบรนMF แบบอนุกรมขนาดรูพรุน 5 $\mu\text{m}$ ความดัน 172.32 kPa	76
ก.11	ผลการคำนวณระบบอนุกรมกรองผ่านเมมเบรนMF ขนาดรูพรุน 5 $\mu\text{m}$ แล้วนำมาคำนวณระบบผ่านเมมเบรนMF ขนาดรูพรุน 1.2 $\mu\text{m}$ ความดัน 172.32 kPa	77
ก.12	ผลการคำนวณระบบอนุกรมกรองผ่านเมมเบรนMF ขนาดรูพรุน 1.2 $\mu\text{m}$ แล้วนำมาคำนวณระบบผ่านเมมเบรนMF ขนาดรูพรุน 0.45 $\mu\text{m}$ ความดัน 172.32 kPa	77
ก.13	ผลการคำนวณของน้ำผิวดินผ่านเมมเบรนMF แบบกะขนาดรูพรุน 5 $\mu\text{m}$ ความดัน 68.93 kPa	78
ก.14	ผลการคำนวณของน้ำผิวดินผ่านเมมเบรนMF แบบกะขนาดรูพรุน 1.2 $\mu\text{m}$ ความดัน 68.93 kPa	78
ก.15	ผลการคำนวณของน้ำผิวดินผ่านเมมเบรนMF แบบกะขนาดรูพรุน 0.45 $\mu\text{m}$ ความดัน 68.93 kPa	79
ก.16	ผลการคำนวณของน้ำผิวดินผ่านเมมเบรนMF แบบกะขนาดรูพรุน 5 $\mu\text{m}$ ความดัน 103.39 kPa	79
ก.17	ผลการคำนวณของน้ำผิวดินผ่านเมมเบรนMF แบบกะขนาดรูพรุน 1.2 $\mu\text{m}$ ความดัน 103.39 kPa	80

## สารบัญตาราง (ต่อ)

หน้า

### ตารางที่

ก.18	ผลการดำเนินระบบของน้ำผิวดินผ่านแมมเบรนMF แบบกระดาษครูพรุน 0.45 $\mu\text{m}$ ความดัน 103.39 kPa	80
ก.19	ผลการดำเนินระบบของน้ำผิวดินผ่านแมมเบรนMF แบบกระดาษครูพรุน 5 $\mu\text{m}$ ความดัน 137.86 kPa	81
ก.20	ผลการดำเนินระบบของน้ำผิวดินผ่านแมมเบรนMF แบบกระดาษครูพรุน 1.2 $\mu\text{m}$ ความดัน 137.86 kPa	81
ก.21	ผลการดำเนินระบบของน้ำผิวดินผ่านแมมเบรนแบบMF กระดาษครูพรุน 0.45 $\mu\text{m}$ ความดัน 137.86 kPa	82
ก.22	ผลการดำเนินระบบของน้ำผิวดินผ่านแมมเบรนMF แบบกระดาษครูพรุน 5 $\mu\text{m}$ ความดัน 172.32 kPa	82
ก.23	ผลการดำเนินระบบของน้ำผิวดินผ่านแมมเบรนMF แบบกระดาษครูพรุน 1.2 $\mu\text{m}$ ความดัน 172.32 kPa	83
ก.24	ผลการดำเนินระบบของน้ำผิวดินผ่านแมมเบรนMF แบบกระดาษครูพรุน 0.45 $\mu\text{m}$ ความดัน 172.32 kPa	83
ก.25	ผลการดำเนินระบบของน้ำสังเคราะห์ผ่านแมมเบรนMF แบบอนุกรมขนาด รูพรุน 5 $\mu\text{m}$ ความดัน 172.32 kPa	84
ก.26	ผลการดำเนินระบบแบบอนุกรมกรองผ่านแมมเบรนMF ขนาดรูพรุน 5 $\mu\text{m}$ แล้วนำมาระบบผ่านแมมเบรนMF ขนาดรูพรุน 1.2 $\mu\text{m}$ ความดัน 172.32 kPa	84
ก.27	ผลการดำเนินระบบแบบอนุกรมกรองผ่านแมมเบรนMF ขนาดรูพรุน 1.2 $\mu\text{m}$ แล้วนำมาระบบผ่านแมมเบรนMF ขนาดรูพรุน 0.45 $\mu\text{m}$ ความดัน 172.32 kPa	85
ก.28	ผลการดำเนินระบบของน้ำผิวดินผ่านแมมเบรนแบบ RO ที่ความดัน 482.51 kPa	85

## สารบัญตาราง (ต่อ)

หน้า

### ตารางที่

ก.29	ผลการดำเนินระบบของน้ำผิวดินผ่านการบำบัดเบื้องต้นด้วยเมมเบรนMF ขนาดกรุพูน $5 \mu\text{m}$ แล้วนำกรองผ่านเมมเบรนแบบ RO ที่ ความดัน $482.51 \text{ kPa}$ .	86
ก.30	ผลการดำเนินระบบของน้ำผิวดินผ่านการบำบัดเบื้องต้นด้วยเมมเบรนMF ขนาดกรุพูน $1.2 \mu\text{m}$ แล้วนำกรองผ่านเมมเบรนแบบ RO ที่ ความดัน $482.51 \text{ kPa}$ .	87
ก.31	ผลการดำเนินระบบของน้ำผิวดินผ่านการบำบัดเบื้องต้นด้วยเมมเบรนMF ขนาดกรุพูน $0.45 \mu\text{m}$ แล้วนำกรองผ่านเมมเบรนแบบ RO ที่ ความดัน $482.51 \text{ kPa}$ .	88
ข.1	ผลการจำจัดความชุ่นและสารอินทรีย์คาร์บอนทั้งหมด เมื่อดำเนินระบบของ น้ำผิวดิน ผ่านเมมเบรนMF แบบอนุกรมขนาดกรุพูน $5 \mu\text{m}$ ความดัน $68.93 \text{ kPa}$	90
ข.2	ผลการจำจัดความชุ่นและสารอินทรีย์คาร์บอนทั้งหมด เมื่อดำเนินระบบกรอง ผ่านเมมเบรนMF แบบอนุกรม ขนาดกรุพูน $5 \mu\text{m}$ แล้วนำมาดำเนินระบบ ผ่านเมมเบรนขนาดกรุพูน $1.2 \mu\text{m}$ ความดัน $68.93 \text{ kPa}$	90
ข.3	ผลการจำจัดความชุ่นและสารอินทรีย์คาร์บอนทั้งหมด เมื่อดำเนินระบบกรอง ผ่านเมมเบรนMF แบบอนุกรม ขนาดกรุพูน $1.2 \mu\text{m}$ แล้วนำมาดำเนินระบบ ผ่านเมมเบรนMF ขนาดกรุพูน $0.45 \mu\text{m}$ ความดัน $68.93 \text{ kPa}$	91
ข.4	ผลการจำจัดความชุ่นและสารอินทรีย์คาร์บอนทั้งหมด เมื่อดำเนินระบบของ น้ำผิวดิน ผ่านเมมเบรนMF แบบอนุกรมขนาดกรุพูน $5 \mu\text{m}$ ความดัน $103.39 \text{ kPa}$	91
ข.5	ผลการจำจัดความชุ่นและสารอินทรีย์คาร์บอนทั้งหมด เมื่อดำเนินระบบกรอง ผ่านเมมเบรนMF แบบอนุกรมขนาดกรุพูน $5 \mu\text{m}$ แล้วนำมาดำเนินระบบผ่าน เมมเบรนMF ขนาดกรุพูน $1.2 \mu\text{m}$ ความดัน $103.39 \text{ kPa}$	91

## สารบัญตาราง (ต่อ)

หน้า

### ตารางที่

ข.6	ผลการกำจัดความชื้นและสารอินทรีย์ carcinogen ทั้งหมด เมื่อดำเนินระบบกรองผ่านเมมเบรนMF แบบอนุกรมขนาดครูพรุน $1.2 \mu\text{m}$ และวิ่งนำมาระบบผ่านเมมเบรนMF ขนาดครูพรุน $0.45 \mu\text{m}$ ความดัน $103.39 \text{ kPa}$	92
ข.7	ผลการกำจัดความชื้นและสารอินทรีย์ carcinogen ทั้งหมด เมื่อดำเนินระบบของน้ำผิวดิน ผ่านเมมเบรนMF แบบอนุกรมขนาดครูพรุน $5 \mu\text{m}$ ความดัน $137.86 \text{ kPa}$	92
ข.8	ผลการกำจัดความชื้นและสารอินทรีย์ carcinogen ทั้งหมด เมื่อดำเนินระบบกรองผ่านเมมเบรนMF แบบอนุกรมขนาดครูพรุน $5 \mu\text{m}$ และวิ่งนำมาระบบผ่านเมมเบรนMF ขนาดครูพรุน $1.2 \mu\text{m}$ ความดัน $137.86 \text{ kPa}$	92
ข.9	ผลการกำจัดความชื้นและสารอินทรีย์ carcinogen ทั้งหมด เมื่อดำเนินระบบกรองผ่านเมมเบรนMF แบบอนุกรมขนาดครูพรุน $1.2 \mu\text{m}$ และวิ่งนำมาระบบผ่านเมมเบรนMF ขนาดครูพรุน $0.45 \mu\text{m}$ ความดัน $137.86 \text{ kPa}$	93
ข.10	ผลการกำจัดความชื้นและสารอินทรีย์ carcinogen ทั้งหมด เมื่อดำเนินระบบของน้ำผิวดิน ผ่านเมมเบรน MF แบบอนุกรมขนาดครูพรุน $5 \mu\text{m}$ ความดัน $172.32 \text{ kPa}$	93
ข.11	ผลการกำจัดความชื้นและสารอินทรีย์ carcinogen ทั้งหมด เมื่อดำเนินระบบกรองผ่านเมมเบรนMF แบบอนุกรมขนาดครูพรุน $5 \mu\text{m}$ และวิ่งนำมาระบบผ่านเมมเบรนMF ขนาดครูพรุน $1.2 \mu\text{m}$ ความดัน $172.32 \text{ kPa}$	93
ข.12	ผลการกำจัดความชื้นและสารอินทรีย์ carcinogen ทั้งหมด เมื่อดำเนินระบบกรองผ่านเมมเบรนMF แบบอนุกรม ขนาดครูพรุน $1.2 \mu\text{m}$ และวิ่งนำมาระบบผ่านเมมเบรนMF ขนาดครูพรุน $0.45 \mu\text{m}$ ความดัน $172.32 \text{ kPa}$	94
ข.13	ผลการกำจัดความชื้นและสารอินทรีย์ carcinogen ทั้งหมด เมื่อดำเนินระบบของน้ำผิวดิน ผ่านเมมเบรนMF แบบกะขนาดครูพรุน $5 \mu\text{m}$ ความดัน $172.32 \text{ kPa}$	94
ข.14	ผลการกำจัดความชื้นและสารอินทรีย์ carcinogen ทั้งหมด เมื่อดำเนินระบบของน้ำผิวดิน ผ่านเมมเบรนMF แบบกะขนาดครูพรุน $1.2 \mu\text{m}$ ความดัน $172.32 \text{ kPa}$	94

## สารบัญตาราง (ต่อ)

หน้า

### ตารางที่

ช.15	ผลการกำจัดความชื้นและสารอินทรีย์คาร์บอนทั้งหมด เมื่อคำนวณระบบของน้ำผิวดิน ผ่านเมมเบรน MF แบบกระดาษครูพรุน $0.45 \mu\text{m}$ ความดัน $172.32 \text{ kPa}$	95
ช.16	ผลการกำจัดความชื้นและสารอินทรีย์คาร์บอนทั้งหมด เมื่อคำนวณระบบของน้ำผิวดิน ผ่านเมมเบรนแบบօโซโนซิสย้อนกลับ ที่ความดัน $482.51 \text{ kPa}$	95
ค.1	คุณภาพน้ำผิวดินทั่วไป	97
ค.2	ค่าความด้านทานสำหรับการคำนวณระบบของน้ำผิวดินแบบอนุกรมผ่านเมมเบรน MF ขนาดครูพรุน $5 \mu\text{m}$ , $1.2 \mu\text{m}$ และ $0.45 \mu\text{m}$ ที่มีความชื้น $4.85 \text{ NTU}$ ปริมาณสารอินทรีย์คาร์บอนทั้งหมด $4.42 \text{ Mg.L}^{-1}$ ผ่านกระบวนการกรองแบบ MF ที่ความดัน $172.32 \text{ kPa}$	98
ค.3	ค่าความด้านทานสำหรับการคำนวณระบบของน้ำผิวดินแบบผ่านเมมเบรน MF ขนาดครูพรุน $5 \mu\text{m}$ , $1.2 \mu\text{m}$ และ $0.45 \mu\text{m}$ ที่มีความชื้น $4.85 \text{ NTU}$ ปริมาณสารอินทรีย์คาร์บอนทั้งหมด $4.42 \text{ Mg.L}^{-1}$ ผ่านกระบวนการกรองแบบ MF ที่ความดัน $172.32 \text{ kPa}$	98
ค.4	ค่าความด้านทานสำหรับการคำนวณระบบของน้ำผิวดินผ่านเมมเบรนแบบօโซโนซิสย้อนกลับที่ความดัน $482.51 \text{ kPa}$	98

## สารบัญภาพ

หน้า

### ภาพที่

2.1	หลักการของกระบวนการกรองผ่านเมมเบรน	8
2.2	ลักษณะการไหลผ่านเยื่อเมมเบรน	10
2.3	เปรียบเทียบกระบวนการเมมเบรนชนิดต่างๆ	10
2.4	ลักษณะการอุดตันแบบ Cake Layer	11
2.5	ลักษณะการอุดตันแบบ Pore Blocking	11
2.6	ลักษณะการอุดตันแบบ Interior pore fouling	12
2.7	ไดอะแกรมแสดงการถูกฟลักซ์ด้วยการล้างเมมเบรน	14
2.8	เส้นโค้งการกักของเมมเบรนในโครฟิลเตอร์ชั้นสองแบบ	16
2.9	หลักการดำเนินระบบของօอสโนซิสและօอสโนซิสขั้นกลับ	18
2.10	การกรองแบบไหลวงในกระบวนการแบบօอสโนซิสขั้นกลับ	22
3.1	ลักษณะการดำเนินระบบแบบอนุกรรม	29
3.2	ลักษณะการดำเนินระบบแบบกะ	29
3.3	แผนภาพแสดงขั้นตอนการดำเนินระบบของน้ำผิวดินผ่านกระบวนการกรองแบบในโครฟิลเตอร์ชั้น	30
3.4	แผนภาพแสดงการดำเนินระบบการไหลตามแนวคิ่งของกระบวนการกรองเมมเบรนแบบในโครฟิลเตอร์ชั้น	31
3.5	แผนภาพแสดงการทำงานของระบบเมมเบรนแบบօอสโนซิสขั้นกลับ	33
4.1	ค่าฟลักซ์กับเวลาในการดำเนินระบบแบบอนุกรรมผ่านเมมเบรนขนาดรูพรุนต่างๆ	38
4.2	ค่าเพอร์เมิล็อกฟลักซ์กับเวลาในการดำเนินระบบแบบอนุกรรมที่ความดันต่างๆ	39
4.3	ประสิทธิภาพในการกำจัดความชุ่นจากการดำเนินระบบแบบอนุกรรมที่ความดันต่างๆ	41
4.4	ประสิทธิภาพในการกำจัดสารอินทรีย์かる์บอนทั้งหมดจากกระบวนการ MF ที่ความดันต่างๆ	43
4.5	ผลการดำเนินระบบผ่าน MF แบบกะที่ความดันต่างๆ	45

## สารบัญภาพ (ต่อ)

หน้า

### ภาพที่

4.6	ค่าเพอร์มิเออฟลักซ์กับเวลาในการดำเนินระบบแบบที่ความดันต่างๆ	46
4.7	ประสิทธิภาพในการกำจัดความชื้นจากการดำเนินระบบแบบที่ผ่านเมมเบรน MF ขนาดต่างๆ	48
4.8	ประสิทธิภาพในการกำจัดสารอินทรีเย็นบนทั้งหมดจากการดำเนินระบบแบบ MF ผ่านกระบวนการกรองแบบที่ความดัน 172.32 kPa	49
4.9	ค่าฟลักซ์กับเวลาในการดำเนินระบบผ่านเมมเบรนขนาดต่างๆ ที่ความดัน 172.32 kPa	50
4.10	ประสิทธิภาพในการกำจัดความชื้นและสารอินทรีเย็นบนทั้งหมดของระบบ MF	51
4.11	ประสิทธิภาพการดำเนินระบบแบบอนุกรมผ่านกระบวนการกรองแบบ MF ของน้ำสังเคราะห์ความชื้น ที่ความดัน 172.32 kPa	52
4.12	ผลของการความดันต่อค่าฟลักซ์ของระบบเมมเบรนในโครฟิลเตอร์ชั้นแต่ละขนาดรูพรุน	54
4.13	ความสัมพันธ์ระหว่างเพอร์มิเออฟลักซ์กับความดันของเมมเบรนขนาดรูพรุน 0.45 $\mu\text{m}$	56
4.14	ความต้านทานการอุดตันของเมมเบรนแต่ละขนาดรูพรุนเมื่อดำเนินระบบแบบอนุกรมที่ความดัน 172.32 kPa	58
4.15	ความต้านทานการอุดตันของเมมเบรนแต่ละขนาดรูพรุนเมื่อดำเนินระบบแบบที่ความดัน 172.32 kPa	58
4.16	ผลการดำเนินระบบของน้ำผิวดินผ่านกระบวนการกรองแบบօอสโนไมซิส ย้อนกลับ ที่ความดัน 482.51 kPa	59
4.17	ประสิทธิภาพการกำจัดความชื้นและสารอินทรีเย็นบนทั้งหมดจากการดำเนินระบบการกรองแบบօอสโนไมซิสย้อนกลับที่ความดัน 482.51 kPa	60

## สารบัญภาพ (ต่อ)

หน้า

### ภาพที่

4.18	ผลของความดันต่อค่าฟลักซ์ ของระบบเมมเบรนแบบօอสโนซิสข้อนกลับ	61
4.19	ผลเพอร์มิเอทธลักซ์ จากการคำนวณระบบการกรองแบบօอสโนซิสข้อนกลับ ของ น้ำผิวดินที่ผ่านการบำบัดเบื้องต้นจากการวนการ MF	62
4.20	ผลค่าฟลักซ์กับเวลาในการคำนวณระบบօอสโนซิสข้อนกลับของน้ำผิวดิน ที่ ความดัน 482.51 kPa	63
4.21	ความต้านทานการอุดตันของเมมเบรนแบบօอสโนซิสที่ผ่านการบำบัด เบื้องต้น กระบวนการไมโครฟิลเตอร์ชั้นที่ความดัน 482.51 kPa	64

## คำอธิบายสัญลักษณ์

สัญลักษณ์	คำอธิบาย
$Q_f$	อัตราการไหลเข้า มีหน่วยเป็น ลิตร/นาที
$Q_{perm}$	อัตราการซึมผ่านเมมเบรน มีหน่วยเป็น ลิตร/นาที
$C_f$	ความเข้มข้นของสารละลายเข้าสู่ระบบ มีหน่วยเป็น มิลลิกรัม / ลิตร
$C_r$	ความเข้มข้นของสารละลายออกจากระบบ มีหน่วยเป็น มิลลิกรัม / ลิตร
$C_p$	ความเข้มข้นของเพอร์มิเอท มีหน่วยเป็น มิลลิกรัม / ลิตร
$J_v$	อัตราการซึมผ่านเมมเบรน ลูกบาศก์เมตร/เมตร <sup>2</sup> /ชั่วโมง
$L_p$	สัมประสิทธิ์การถ่ายเทนวัลสารหรือความสามารถในการซึมผ่าน
$\Delta P$	ความดันแอลี่ย์ มีหน่วยเป็น kPa
$\sigma$	Osmotic reflection coefficient
$\Delta \pi$	ค่าความแตกต่างของแรงดันอสโนติก มีหน่วยเป็น kPa
$R$	อัตราการกำจัดสารละลายออกจากน้ำ
$\mu$	ค่าความหนืดของน้ำ
$T$	อุณหภูมิที่จุดสมบูรณ์
$r_m$	ค่าความด้านทานที่เกิดจากเมมเบรน
$r_c$	ค่าความด้านทานที่เกิดจากชั้นของสารละลายที่มีความเข้มข้น
$r_{c1}$	ค่าความด้านทานที่เกิดจากชั้นของเจล
$r_{c2}$	ค่าความด้านที่การดูดซับที่สามารถดึงออกได้
$r_f$	ค่าความด้านทานที่ไม่สามารถดึงออกได้
MF	เมมเบรนแบบไมโครฟิลเตอร์ชั้น
NF	เมมเบรนแบบ nano ฟิลเตอร์ชั้น
NOM	สารอินทรีย์ธรรมชาติ
RO	เมมเบรนแบบอสโนมิซีสพันกลับ
UF	เมมเบรนแบบอัลตราฟิลเตอร์ชั้น

## คำอธิบายสัญลักษณ์(ต่อ)

สัญลักษณ์	คำอธิบาย
TOC	สารอินทรีย์かる์บอนทั้งหมด
$R_{feed}$	อัตราการกำจัดสารละลายออกจากน้ำเมื่อเทียบกับน้ำเข้าระบบ
$\mu m$	ไมโครเมตร
$\mu S.cm^{-1}$	ไมโครซีเมนต์ต่อตารางเซนติเมตร
$cm^{-1}$	หนึ่งต่อเซนติเมตร
$Pa$	ปascal
$kPa$	กิโลปascal
LMH	ลิตรต่อตารางเมตรต่อชั่วโมง
$L.min^{-1}$	ลิตรต่อนาที
$L.m^{-2}.h^{-1}$	ลิตรต่อตารางเมตรต่อชั่วโมง
$L.m^{-1}.h^{-1}.kpa^{-1}$	ลิตรต่อมเมตรต่อชั่วโมงต่อความดัน

## บทที่ 1

### บทนำ

#### 1.1 ความเป็นมาและความสำคัญของปัญหา

กระบวนการกรองผ่านเมมเบรนแบบօสโมซิสข้อกลับ (Reverse Osmosis, RO) เป็นส่วนหนึ่งของเทคโนโลยีเมมเบรน (Membrane Technology) เป็นกระบวนการที่นิยมใช้กันมากในปัจจุบัน เพื่อแยกน้ำบริสุทธิ์ออกจากสารละลายต่างๆ ในน้ำ เช่น เกลือต่างๆ โลหะหนัก สารเคมี สารอินทรีย์และสิ่งขับถ่ายของเสียจากชุมชนและโรงงานอุตสาหกรรม ทำให้สามารถผลิตน้ำสะอาดและบริสุทธิ์ที่สามารถนำมาใช้ในกระบวนการอุตสาหกรรมได้อย่างเหมาะสมและใช้ในการอุปโภคและบริโภคได้อย่างปลอดภัย

ปัญหาสำคัญที่เกิดขึ้นในอุตสาหกรรมผลิตน้ำเพื่ออุปโภคและบริโภคของกระบวนการօสโมซิสข้อกลับ คือ เกิดการอุดตัน (Fouling) ของเมมเบรน ซึ่งการอุดตันเกิดได้หลายสาเหตุ โดยอาจเกิดจากการดูดซับ (Adsorption) การเก็บกัก (Deposition) การรวมตัวเป็นกลุ่มของอนุภาค (Aggregation) ทำให้กระบวนการทำงานมีประสิทธิภาพลดลงด้วยเหตุนี้ การทำความสะอาดน้ำเบื้องต้น (pretreatment) ก่อนนำมาผ่านกระบวนการօสโมซิสข้อกลับ จึงมักเป็นเรื่องที่หลีกเลี่ยงไม่ได้ กระบวนการกรองผ่านเมมเบรนแบบไมโครฟิลเตอร์ชั้น (Microfiltration, MF) ก็เป็นอีกวิธีหนึ่งในการบำบัดน้ำ โดยอาศัยแรงดันที่ต่ำเป็นแรงขับดัน โดยกระบวนการกรองสามารถแยกอนุภาคคลอ落อยด์ ของแข็งแขวนลอย แบคทีเรีย ตลอดจนเชื้อพืชอื่นๆ ออกจากน้ำ

ในการศึกษาครั้งนี้เป็นการศึกษาถึงประสิทธิภาพของกระบวนการกรองเมมเบรนแบบไมโครฟิลเตอร์ชั้นในการบำบัดน้ำผิวดินจากแหล่งน้ำธรรมชาติเบื้องต้น ด้วยการดำเนินระบบการไฟลตามแนวดิ่ง (Dead end operation) และนำน้ำผิวดินที่ผ่านการบำบัดเบื้องต้นจากการกรองผ่านเมมเบรนแบบไมโครฟิลเตอร์ชั้น มาดำเนินระบบօสโมซิสข้อกลับแบบไฟลขวาง (Cross-flow operation) โดยเบริกเก็บน้ำผิวดินที่ผ่านและไม่ผ่านการบำบัดเบื้องต้น ตลอดจนศึกษาถึงคุณลักษณะของน้ำผิวดินจากแหล่งน้ำหนึ่งอีเมส์ จังหวัดอุบลราชธานี เพื่อใช้เป็นข้อมูลพื้นฐานและนำมาประยุกต์เพื่อการพัฒนาของกระบวนการกรองเมมเบรนต่อไป

## 1.2 วัตถุประสงค์ของการวิจัย

1.2.1 เพื่อศึกษาถึงประสิทธิภาพของกระบวนการกรองเมมเบรนแบบไมโครฟิลเตอร์ชันในการนำบัดน้ำผิวดินเบื้องต้น และเปรียบเทียบประสิทธิภาพของระบบการกรองในการดำเนินระบบแบบอนุกรม (Series) และการดำเนินระบบแบบงวด (Batch)

1.2.2 เพื่อศึกษาถึงประสิทธิภาพของกระบวนการกรองเมมเบรนแบบօสโนซิสข้อนกลับ ในการดำเนินระบบแบบไอลขาวงและเปรียบเทียบน้ำผิวดินที่ผ่านและไม่ผ่านการนำบัดเบื้องต้น

## 1.3 ขอบเขตของการวิจัย

เพื่อศึกษาถึงประสิทธิภาพของกระบวนการกรองเมมเบรนแบบไมโครฟิลเตอร์ชัน ในการนำบัดน้ำผิวดินเบื้องต้นจากแหล่งน้ำธรรมชาติ และนำน้ำผิวดินที่ผ่านการนำบัดมาผ่านกระบวนการกรองแบบօสโนซิสข้อนกลับ โดยจะศึกษาจากปัจจัยดังต่อไปนี้

1.3.1 น้ำตัวอย่างที่ใช้ในงานวิจัยเป็นน้ำผิวดินจากแหล่งน้ำหนึ่งแห่ง อีเจนส์ จังหวัดอุบราชธานี

1.3.2 เมมเบรนไมโครฟิลเตอร์ชันที่ใช้ในการศึกษาจากบริษัท Sartorius ชนิด Cellulose Nitrate ประเทศเยรมัน ขนาดรูพรุน (Pore size) 5  $\mu\text{m}$ , 1.2  $\mu\text{m}$  และ 0.45  $\mu\text{m}$  ตามลำดับเพื่อศึกษาการลดปริมาณความชุ่นและสารอินทรีย์คาร์บอนทั้งหมด ระบบการกรองที่ใช้ในการทดสอบเป็นการกรองแบบไอลตามแนวคิด

1.3.3 เมมเบรนօสโนซิสข้อนกลับ ที่ใช้ในการศึกษารุ่น Model AG 2540 F1328 Serial 2049118 (Spiral wound cross flow) ชนิด Polyamide เพื่อศึกษาการลดปริมาณความชุ่นและสารอินทรีย์คาร์บอนทั้งหมด ระบบการกรองที่ใช้ในการทดสอบเป็นการกรองแบบไอลขาวง

1.3.4 ศึกษาประสิทธิภาพของเมมเบรน โดยศึกษาจาก

1.3.4.1 ค่าฟลักซ์ที่ลดลง (Flux decline)

1.3.4.2 ค่าการกำจัด (% Rejection)

1.3.5 ศึกษาคุณลักษณะของน้ำผิวดินจากแหล่งน้ำหนึ่งแห่ง อีเจนส์ จังหวัดอุบราชธานี ด้วยการวัดค่าพีเอช (pH) ค่าความชุ่น ค่าปริมาณสารอินทรีย์คาร์บอนทั้งหมด (Total Organic Carbon, TOC) และค่าการดูดซึมน้ำเสียจำพวกที่ความยาวคลื่น 254 นาโนเมตร

## 1.4 ขั้นตอนการดำเนินงานวิจัย

- 1.4.1 ศึกษาพร้อมรวบรวมผลการศึกษาและทฤษฎีที่เกี่ยวข้องกับงานวิจัย
- 1.4.2 จัดซื้อและจัดเตรียมเครื่องมือตลอดจนสารละลายต่างๆ ที่ใช้ในการทดลอง
- 1.4.3 ดำเนินการทดลองและเก็บรวบรวมข้อมูลจากการทดลอง เพื่อนำไปวิเคราะห์ผลการทดลอง
- 1.4.4 วิเคราะห์และสรุปผลการทดลองพร้อมทั้งข้อเสนอแนะ
- 1.4.5 จัดทำรูปเล่มและนำเสนอผลการทดลอง

## 1.5 ประโยชน์ที่คาดว่าจะได้รับ

- 1.5.1 ทราบถึงประสิทธิภาพของกระบวนการกรองเมมเบรนแบบไมโครฟิลเตอร์ชันในการบำบัดน้ำผิวดินเบื้องต้น
- 1.5.2 ทราบถึงประสิทธิภาพของกระบวนการกรองเมมเบรนแบบօสโมซิสย้อนกลับในการดำเนินระบบก่อนและหลังจากการบำบัดน้ำผิวดินเบื้องต้นด้วยกระบวนการไมโครฟิลเตอร์ชัน
- 1.5.3 ทราบถึงปัจจัยต่างๆ ที่ทำให้เกิดการอุดตันบนผิวเมมเบรน ซึ่งมีผลทำให้ฟลักซ์ลดลง
- 1.5.4 ทราบถึงคุณลักษณะเบื้องต้นของแหล่งน้ำดิบผิวดินหนองอีเจนส์ จังหวัดอุบลราชธานี ก่อนดำเนินระบบการกรองแบบไมโครฟิลเตอร์ชันและօสโมซิสย้อนกลับ
- 1.5.5 ใช้เป็นข้อมูลพื้นฐานในการกระบวนการปรับปรุงคุณภาพน้ำเพื่อใช้ในการอุปโภคบริโภค ของแหล่งน้ำหนองอีเจนส์ จังหวัดอุบลราชธานี และนำไปประยุกต์เพื่อใช้เปรียบเทียบกับแหล่งน้ำผิวดินอื่น
- 1.5.6 ผลงานวิจัยที่ได้ข้างใช้เป็นข้อมูลพื้นฐานในการศึกษาวิจัยทางด้านกระบวนการกรองด้วยเมมเบรนต่อไป

## 1.6 สถานที่ดำเนินการวิจัย ทดลอง และเก็บข้อมูล

เก็บตัวอย่างน้ำผิวดินจากแหล่งน้ำธรรมชาติภายในมหาวิทยาลัยอุบลราชธานี และดำเนินการทดลอง ณ ห้องปฏิบัติการวิศวกรรมเคมี 1-2 ภาควิชาเคมี คณะวิศวกรรมศาสตร์ มหาวิทยาลัยอุบลราชธานี

## บทที่ 2

### ทฤษฎีและงานวิจัยที่เกี่ยวข้อง

การวิจัยในครั้งนี้ เป็นการศึกษาถึงประสิทธิภาพของกระบวนการกรองเมมเบรนแบบไม่ໂຄฟิลเตอร์ชัน กระบวนการกรองเมมเบรนแบบօสโนซิสข้อกลับ โดยการนำน้ำผิวดินที่มีความชุ่น และสารอินทรีย์ carcinogen ทั้งหมด จากแหล่งน้ำธรรมชาติหนึ่งอีเจนส์ จังหวัดอุบุตรราชธานี มาผ่านการบำบัดน้ำเบื้องต้นด้วยกระบวนการกรองแบบไม่ໂຄฟิลเตอร์ชัน โดยมีวิธีการดำเนินระบบการไหลตามแนวคิ่ง จากนั้นนำน้ำที่ผ่านการบำบัดเบื้องต้นไปผ่านกระบวนการกรองเมมเบรนแบบօสโนซิสข้อกลับ โดยมีวิธีการดำเนินระบบการไหลแบบไหลขวาง เพื่อนำน้ำที่ได้มามีเคราะห์หาปัจจัยต่างๆ ที่มีผลกระทบต่อการลดลงของฟลักซ์และค่าการกำจัด

ดังนั้นทฤษฎีที่เกี่ยวข้องกับงานวิจัยในครั้งนี้จะกล่าวถึงลักษณะสมบัติของน้ำผิวดิน ตามธรรมชาติ กระบวนการกรองผ่านเมมเบรน กระบวนการไม่ໂຄฟิลเตอร์ชัน กระบวนการօสโนซิสข้อกลับ การทำความสะอาดเมมเบรน และงานวิจัยที่เกี่ยวข้องซึ่งจะมีรายละเอียดดังนี้

#### 2.1 ลักษณะสมบัติของน้ำผิวดิน

น้ำผิวดิน หมายถึง น้ำจากแม่น้ำลำคลอง ทะเลสาบ อ่างเก็บน้ำ หนองและบึง เนื่องจากน้ำผิวดินมักมีแหล่งกำเนิดมาจากน้ำใต้ดิน การจำแนกลักษณะสมบัติของน้ำผิวดิน สามารถจำแนกตามปริมาณและชนิดของสิ่งปนเปื้อน ได้แก่ ลักษณะสมบัติทางกายภาพ เคมีและแบคทีเรีย

##### 2.1.1 ลักษณะสมบัติทางกายภาพ

เป็นลักษณะของน้ำที่สามารถถอดเห็นหรือสัมผัสได้ (อุดร จากรัตน์ และจากรัตน์ วนิสรากุล, 2537) การวัดปริมาณสิ่งปนเปื้อนเหล่านี้ กระทำได้ไม่ลงทะเบียนนัก มักใช้วิธีเปรียบเทียบกับค่ามาตรฐานต่างๆ ซึ่งมีหน่วยแตกต่างกันไป ลักษณะสมบัติทางกายภาพได้แก่ ของแข็งแขวนลอย ความชุ่น สี กลิ่น รส และอุณหภูมิ ซึ่งจะออกล่าwiększเฉพาะของแข็งแขวนลอยและความชุ่นเท่านั้น

###### 2.1.1.1 ของแข็งแขวนลอย

ของแข็งหรือสารที่เจือปนอยู่ในน้ำมีทั้งที่แขวนลอย (Suspended) และละลายเป็นเนื้อเดียวกับน้ำ (Dissolved) ของแข็งแขวนลอยประกอบด้วย สารอินทรีย์ สารอินทรีย์ และของเหลวที่ไม่ผสมกับน้ำ (Immiscible liquid) เช่น น้ำมัน ส่วนประกอบอนินทรีย์ที่พบในน้ำ

ผิวคินท์ไว้ไป คือ คิน กรวค โคลนตุมและเศษหิน ในขณะที่ของแข็งอินทรีย์จะเป็นเศษใบหญ้าในไม้ หรือชากรสิ่งมีชีวิตต่างๆ แพลงตอน จุลินทรีย์และสารละลายจำพวกคอสโลย์ ของแข็งแขวนลอยเหล่านี้จะปะปนเข้ามาระหว่างที่น้ำไหลเช่าหรือผ่านผิวคิน แต่ในน้ำาคากจะไม่ค่อยพบของแข็งแขวนลอย เพราะถูกกรองโดยคินชั้นต่างๆ ของแข็งแขวนลอยจะทำให้น้ำไม่น่าดูไปกับโภคบริโภค และยังเป็นตัวดูดซับสารเคมีปนเปื้อนในน้ำ สารอินทรีย์ควรบ่อนทึ่งหมุดในน้ำ เชื้อโรคและสาหร่ายบางชนิดที่ผลิตสารพิษ นอกจากนี้ของแข็งอินทรีย์อาจผลิตสารที่ไม่ต้องการออกมายังระหว่างการบอยสลายตามธรรมชาติอีกด้วย

#### 2.1.1.2 ความชุ่น

ความชุ่นในน้ำาผิวคินเกิดจากการสลายตัวของ คิน หิน โคลน อกไชค์ ของโลหะ ที่อยู่ในคิน เยื่อไม้ แพลงตอน และจุลินทรีย์ น้ำทึ่งจากอาการบ้านเรือนและโรงงานอุตสาหกรรมจะมีสารที่ทำให้เกิดความชุ่นได้มากมายหลายชนิด คอสโลย์ที่คงตัว (Stable) มักเกิดจาก สนู๊ฟงชักฟอก และ Emulsifying agents ก็เป็นตัวทำให้เกิดความชุ่นด้วย ความชุ่นทำให้น้ำไม่เป็นที่ยอมรับเพราะจะสังเกตเห็นได้ทันทีถ้าบรรจุในภาชนะใส สารคอสโลย์ที่ให้ความชุ่นจะเป็นตัวดูดซับสารเคมี อาจก่อให้เกิดสารอันตรายหรือทำให้เกิดกลิ่นและรสที่ไม่ต้องการ การฆ่าเชื้อในน้ำชุ่นจะกระทำได้ยากขึ้น (บันสิน ตัณฑูลเวศน์, 2539) เพราะความชุ่นจะทำตัวเป็นเกราะกำบังเชื้อโรคไว้ ความชุ่นในน้ำ ธรรมชาติมีสีน้ำตาล แต่อาจมีสีอื่นขึ้นอยู่กับคุณสมบัติการคุกคักลีนแสงของสารที่ก่อให้เกิดความชุ่น ความชุ่นจะบดบังการส่องผ่านของแสงลงสู่น้ำ มีผลให้การสังเคราะห์แสงของพีชในลำน้ำและ ทะเลสาปลดลง นอกจากนี้ความชุ่นที่บดบังจะลงสู่ก้นลำน้ำหรือทะเลสาปจะจับตัวเป็นโคลนเลน และเปลี่ยนสภาพความเป็นอยู่ของสิ่งมีชีวิตให้น้ำต่างๆ ในปัจจุบันการวัดค่าความชุ่นทันสมัยขึ้น โดยใช้ Nephelometric method ซึ่งใช้คุณสมบัติของการกระจัดกระจายแสง (Scattering) อันเป็นวิธีที่เหมาะสมสำหรับการวัดความชุ่นต่างๆ ใช้ฟอร์มาซินโพลีเมอร์ (Formazin polymer) ความชุ่นที่วัดด้วยวิธีนี้มีหน่วยเป็น NTU (Nephelometry Turbidity Unit) เครื่องมือชนิดนี้วัดความชุ่นได้ตั้งแต่ 0-200 NTU และอ่านค่าได้ละเอียดถึง 0.01 NTU

#### 2.1.2 ลักษณะสมบัติทางเคมี

ลักษณะสมบัติทางเคมีเป็นลักษณะสมบัติที่ไม่สามารถมองเห็นได้ด้วยตาเปล่า หรือการสัมผัสอื่นๆ จำเป็นต้องผ่านกระบวนการทางเคมีซึ่งลักษณะสมบัติทางเคมีแสดงผลให้ทราบว่ามีสภาพความเป็นกรดหรือด่างเพียงใด มีแร่ธาตุอะไรละลายอยู่ในน้ำ มีสารพิษอันตรายปะปนอยู่หรือไม่ ในน้ำ การทราบลักษณะสมบัติทางเคมีจำเป็นต่อกระบวนการบำบัดน้ำ นอกจากนี้แล้วยังต้องอาศัยความรู้และประสบการณ์ต่างๆ ในการใช้ข้อมูลของลักษณะสมบัติทางเคมีมาพิจารณา ซึ่งจะบอกล่าวถึงเฉพาะสารอินทรีย์เท่านั้น

สารอินทรีย์ที่ไม่เสถียรจะถูกย่อยสลายได้ด้วยจุลินทรีย์ที่อยู่ในน้ำ โดยออกซิเจนจะถูกใช้ในปฏิกิริยา สารอินทรีย์ที่ละลายน้ำเหล่านี้ประกอบด้วย แป้ง ไขมัน โปรตีน และกอชอล์กรคอลัคตีไซด์ และ เอสเทอร์ เป็นต้น ซึ่งมาจาก การย่อยสลายของพืชจากสัตว์ในแหล่งน้ำหรือจากน้ำเสียชุมชน น้ำเสียอุตสาหกรรมและน้ำเสียจากการเกษตร สารอินทรีย์เหล่านี้มักทำให้เกิดปัญหาเกี่ยวกับความชุ่ม ตื้อกลิ่นและรสของน้ำ

TOC (Total Organic Carbon) คือ ปริมาณสารอินทรีย์ทุกชนิดที่มีองค์ประกอบเป็นธาตุ carbon ซึ่งประกอบด้วย

(1) สารคาร์บอนอินทรีย์ละลายน้ำ (Dissolved Organic Carbon, DOC) ซึ่งเป็นสารอินทรีย์ที่สามารถผ่านแมมนเบรนที่มีขนาดเส้นผ่าศูนย์กลางของรูกรอง 0.45 ไมครอน

(2) อนุภาคสารอินทรีย์คาร์บอน (Particulate Organic Carbon, POC) คือสารอินทรีย์คาร์บอนที่ไม่ละลายน้ำ และถูกกักแยกโดยแมมนเบรนที่มีขนาดเส้นผ่าศูนย์กลางของรูกรอง 0.45 ไมครอน

(3) สารอินทรีย์คาร์บอนระเหย (Volatile Organic Carbon, VOC) คือ สารอินทรีย์คาร์บอนที่สลายตัวได้และถูกกำจัดออกโดย gas stripping ภายใต้สภาวะจำเพาะ VOC ส่วนใหญ่เป็นสารจากอุตสาหกรรม พบปนเปื้อนอยู่ทั่วไปในแหล่งน้ำผิวดินและน้ำใต้ดิน หลายตัวในสารกลุ่มนี้จัดให้เป็นสารก่อมะเร็ง สารในกลุ่มนี้ที่ EPA กำหนดค่าสูงสุดในน้ำคือ Benzene, 1,1-dichloroethylene, para – dichlorobenzene, 1,1-trichloroethane, trichloroethylene และ Vinyl chloride

(4) สารอินทรีย์คงตัว (Nonpurgeable Organic Carbon, NPOC) คือ ส่วนของ TOC ที่ไม่ถูกกำจัดออกโดย Gas stripping

สำหรับสารอินทรีย์ที่ไม่ถูกย่อยสลายด้วยจุลินทรีย์ในน้ำธรรมชาติ เช่น เชลลูโลสกรดแทนนิน กรดลิกนิน สารหิวนม เป็นต้น จะใช้การคุณลักษณะรังสีอัลตราไวโอเลต (UV) เป็นตัวแทนของปริมาณสารอินทรีย์เหล่านี้ทึ้งในน้ำสะอาดและน้ำเสีย ซึ่งช่วงค่าความยาวคลื่นมาตรฐานคือ 254 นาโนเมตร แต่ก็สามารถกำหนดใช้ช่วงค่าความยาวคลื่นอื่นๆ ได้ ทั้งนี้ต้องคำนึงถึงสารรบกวนอื่นๆ ในน้ำ ซึ่งอาจจะสามารถดูดซึมรังสีอัลตราไวโอเลตในช่วงค่าความยาวคลื่นนั้นๆ ได้ เช่นกัน ทำให้ค่าที่วัดได้ผิดไปจากที่ควรจะเป็น โดยอัตราส่วนระหว่างค่าการคุณลักษณะรังสีอัลตราไวโอเลตต่อสารอินทรีย์คาร์บอน สามารถแสดงถึงลักษณะของสารอินทรีย์คาร์บอนทั้งหมดได้

นอกจากนี้ยังมีสารอินทรีย์ที่จุลินทรีย์ไม่สามารถย่อยได้อีกประเภทหนึ่ง ซึ่งไม่ได้เกิดขึ้นเองตามกระบวนการตามธรรมชาติ แต่มักจะมาจากการสังเคราะห์ขึ้นเพื่อใช้งานในชุดประสงค์ต่างๆ และจะถูกชะล้างลงสู่แหล่งน้ำธรรมชาติหลังใช้งานเสร็จ สารอินทรีย์เหล่านี้มักจะ

มีเจือปนอยู่ในปริมาณน้อย แต่จะมีอันตรายต่อผู้ได้รับ เราอาจเรียกสารอินทรีย์กลุ่มนี้ว่า Trace Organics ซึ่งในที่นี้จะกล่าวถึงเพียงบางชนิดเท่านั้น และเชื่อว่าในอนาคตจะต้องมีจำนวนและปริมาณเพิ่มขึ้นอีกมาก สารเหล่านี้ได้แก่ สารซักล้าง(ABS), สารปรบวนศัตรูพืช(DDT), สารประกอบไฮโดรคาร์บอนจากการฆ่าเชื้อด้วยคลอรีน(THMs), ไขยาไนค์ และฟินอล เป็นต้น

### 2.1.3 ลักษณะสมบัติทางแบคทีเรีย

ผลที่เกิดจากข้อบกพร่องของคุณภาพน้ำในด้านนี้ก็จะเห็นได้โดยตรงจากการเกิดโรคต่างๆ ที่มีน้ำเป็นสื่อหรือเป็นพาหะ โรคติดต่อทางน้ำ (Waterborne Diseases) ส่วนใหญ่เกิดจาก การติดเชื้อแบคทีเรีย (Bacteria infection) เช่น ไข้รากสาด (Typhoid) ไข้รากสาดน้ำ (Paratyphoid) โรคบิดแบบไม่มีตัว (Bacillary dysentery) อหิวาต์ (Asiatic Cholera) Salmonellosis และ Shigellosis หรือโรคที่เกิดจากการติดเชื้อไวรัส (Viral Diseases) ได้แก่ ตับอักเสบ (Infectious Hepatitis) และ โรคโปลิโอ (Poliomyelitis) หรือโรคที่เกิดจากprotozoa (Protozoa) ได้แก่ โรคบิดมีตัว (Amoebic dysentery) และ Giardiasis นอกจากนี้ยังมีโรค Schistosomiasis ที่เกิดจากหนอน (worm) ซึ่งอาศัยอยู่ ในหอยทาก (snail) และอาศัยน้ำเป็นตัวพาเข้าสู่ร่างกายคนเรา

แบคทีเรียที่พบอยู่ในน้ำมีมากมายหลายชนิด ส่วนใหญ่จะไม่มีความสำคัญทางสุขภาพอนามัยและบางชนิด ที่ถูกจัดให้เป็นตัวชี้บ่งความสกปรกหรือความเน่าเสีย (Pollution indicator) จุลินทรีย์กลุ่มนี้ไม่มีผลต่อการเจ็บป่วยคือไม่เป็นเชื้อโรค (Nonpathogens) แต่จะมีจุลินทรีย์ส่วนน้อยที่เหลืออีกกลุ่มที่เป็นเชื้อโรค (Pathogens) ทำให้เกิดโรคภัยไข้เจ็บต่างๆ ดังกล่าวข้างต้น จุลินทรีย์พวกนี้จะดำรงชีวิตได้ภายในร่างกายของคนเรา แต่ไม่มีความทนทานต่อสภาวะแวดล้อมที่เปลี่ยนแปลงภายนอก และจะตายอย่างรวดเร็วเมื่อถูกถ่ายออกจากร่างกาย การวิเคราะห์หาเพื่อจำแนกชนิดกระทำได้ยาก ถ้าเปลี่ยนทั้งเวลา และแรงงาน จึงไม่นิยมวิเคราะห์หา นอกจากในกรณีที่มีการระบาด (Epidemic) ของโรคอย่างรุนแรง

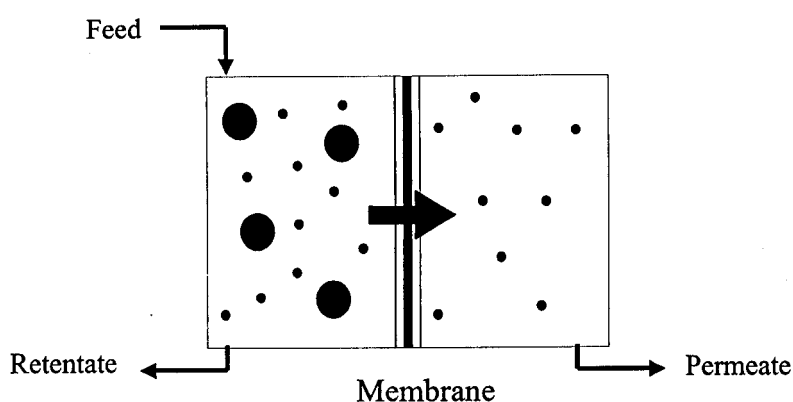
แบคทีเรียกลุ่มที่เป็นตัวชี้ความสกปรกเรียกว่า โคลิฟอร์มแบคทีเรีย (Coliform bacteria) จะอาศัยอยู่ในทางเดินอาหารของสัตว์เลือดอุ่นและพบเสมอเป็นจำนวนมากๆ ในอุจจาระ อีกทั้งสามารถอาศัยในสิ่งแวดล้อมภายนอกร่างกายได้นานกว่าเชื้อโรค

## 2.2 กระบวนการกรองผ่านแมมนเบรน

### 2.2.1 เมมเบรน

2.2.1.1 เมมเบรน คือ เยื่อฟิล์มบางที่สังเคราะห์ขึ้นจากวัสดุอินทรีย์และอนินทรีย์ เช่น เชลลูโลสอะซิเตต เชลลูโลสไนเตรต และโพลีเอไมค์ เป็นต้น ซึ่งสามารถนำมาใช้ในการเลือก กักแยกอนุภาคต่างๆ สารอินทรีย์ – อนินทรีย์ และไอออนออกจากของเหลวหรือก๊าซ ได้ ซึ่งเมมเบรน

เป็นตัวกลางของกันระหว่างเฟสของไอล 2 เฟส ที่มีคุณสมบัติยอมให้สารบางชนิดผ่านได้ (ขันทอง สุนทรากา, 2545) จากภาพที่ 2.1 แสดงหลักการของกระบวนการกรองผ่านเมมเบรน โดยมีสารป้อน(Feed) เข้าทางด้านหนึ่งของเมมเบรนส่วนที่ผ่านเมมเบรนไปได้ เรียกว่า เพอร์มิเอท (Permeate) และส่วนของสารป้อนกันที่ไม่สามารถผ่านเมมเบรนไปได้ เรียกว่า รีเทนเทท (Retentate) แรงขับ (Driving force) ที่ทำให้เกิดการถ่ายโอนมวล ได้แก่ ความดัน ความเข้มข้น แรงคลื่อนไฟฟ้า เป็นต้น ตามประเภทของกระบวนการ



ภาพที่ 2.1 หลักการของกระบวนการกรองผ่านเมมเบรน

#### 2.2.1.2 โครงสร้างของเมมเบรน

เมมเบรนสังเคราะห์สามารถแบ่งเป็น 4 กลุ่ม ดังนี้

(1) เมมเบรนมีรูพรุน (Porous membrane)

(2) เมมเบรนเนื้อแน่น (Dense membrane)

(3) เมมเบรนแบบมีประจุ (Electrically charged membrane) หรือเมมเบรน

แลกเปลี่ยนไออ่อน (Ione exchange membrane)

(4) เมมเบรนของเหลว (Liquid membrane) เป็นเมมเบรนที่ใช้ Liquid carrier ทำหน้าที่คัดเลือกสารหรือองค์ประกอบ

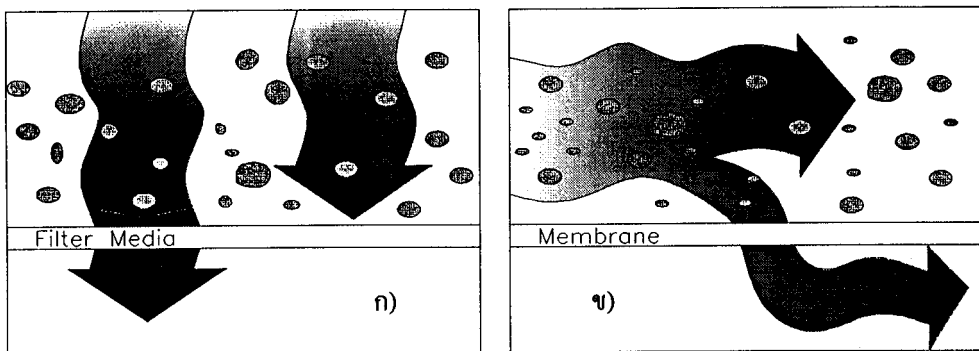
ลักษณะโครงสร้างของเมมเบรนยังแบ่งเป็น 2 ลักษณะ คือ โครงสร้างแบบสมมาตร (Symmetric structure) และโครงสร้างแบบไม่สมมาตร (Asymmetric structure) โดยเมมเบรนที่มีโครงสร้างแบบไม่สมมาตรอาจเตรียมจากพอลิเมอร์ชนิดเดียวที่ทำให้ผิวด้านสัมผัสกับสารป้อนมีขนาดรูพรุนเล็กกว่าด้านสัมผัสกับเพอร์มิเอท หรือได้จากการเตรียมชั้นเนื้อแผ่นจากพอลิเมอร์ชนิดหนึ่งซ้อนอยู่บนโครงสร้างแบบมีรูพรุนของพอลิเมอร์อีกชนิดหนึ่ง โครงสร้างแบบไม่

สมมาตรที่ได้จากโพลิเมอร์ต่างชนิดกัน เรียกว่า “เมมเบรนไม่สมมาตรเชิงประกลับ (Composite asymmetric membrane)” หรือเรียกสั้นๆ ว่า “เมมเบรนเชิงประกลับ (Composite membrane)” เมมเบรนที่มีสมรรถนะสูง คือ เมมเบรนที่มีคุณสมบัติดังต่อไปนี้

- (1) มีฟลักซ์และค่าการเลือกผ่านสูง (High Flux and Selectivity)
- (2) มีความแข็งแรงเชิงกล (Good mechanical)
- (3) ทนต่อสารเคมีและความร้อนภายใต้สภาวะการดำเนินการได้ (Chemical and thermal stability under operating conditions)
- (4) มีแนวโน้มจับสิ่งสกปรกไว้ที่ผิวได้ต่ำ (Low fouling tendency)
- (5) ราคาไม่แพง (Cost effective)

2.2.2 กระบวนการเมมเบรน คือ กระบวนการต่างๆ ที่อาจยึดเมมเบรน(Semi-permeable membrane) ในการแยกสารละลายออกจากน้ำหรือของเหลว ตลอดจนอนุภาคหรือไมเลกุลาร์ที่มีขนาดใหญ่กว่ารูที่มีขนาดใหญ่ที่สุดจะถูกกันออกไปทั้งหมด อนุภาคที่มีขนาดเล็กกว่ารูที่มีขนาดใหญ่ที่สุดแต่ใหญ่กว่ารูที่มีขนาดเล็กที่สุด อนุภาคนี้สามารถผ่านออกไปเพียงบางส่วนตามการกระจายของขนาดรูบนเมมเบรน (Pore size distribution) ส่วนอนุภาคที่มีขนาดเล็กกว่ารูที่เล็กที่สุด จะสามารถผ่านเมมเบรนไปได้ ดังนั้นหลักการของกระบวนการเมมเบรนในการแยกสาร โดยใช้เมมเบรนที่รูพรุนจึงเป็นการคัดขนาดไมเลกุลาร์ที่ขนาดแตกต่างกัน

ภาพแบบการไหลของของไหลผ่านเยื่อกรองเมมเบรน แบ่งออกได้หลายลักษณะ หากแบ่งตามทิศการไหลของของไหล ด้านสารป้อนและด้านเพอร์มิเอทที่เคลื่อนที่ขนานกับผิวของเมมเบรน สามารถแบ่งได้เป็นแบบตามกระแสกัน (Co-Current flow) หากเคลื่อนที่ไปในทิศทางเดียวกัน หรือสวนกระแสกัน (Counter current flow) การแบ่งรูปแบบการไหลอีกลักษณะหนึ่งที่สำคัญกว่า คือ การแบ่งเป็นแบบไหลตามแนวตั้ง ทั้งสารป้อนและเพอร์มิเอทจะไหลตั้งฉากกับผิวของเมมเบรน ดังนั้น หากสารป้อนมีอนุภาคของสารแขวนลอยมากจะทำให้ผิวเมมเบรนสกปรก และเกิดการอุดตันของรูพรุนในเมมเบรนได้ง่าย แต่ในการไหลแบบไหลขวาง ขณะที่สารป้อนไหลขนานกับผิวของเมมเบรน เพอร์มิเอทที่ซึ่งผ่านเมมเบรนในทิศทางที่ตั้งฉากกับผิวของเมมเบรนและไหลออกจากเยื่อเมมเบรนแบบตามกระแส หรือสวนกระแส หรือตั้งฉากกับสารป้อนอนุภาคของสารแขวนลอยในสารป้อนจึงไม่เกาะติดกับผิวของเมมเบรน และไม่ทำให้รูพรุนในเมมเบรนอุดตัน เพราะได้ถูกพาออกไปพร้อมกับกระแสเริ่มเหท ดังแสดงในภาพที่ 2.2



ภาพที่ 2.2 ลักษณะการไอล์ฟานเยื่อเมมเบรน ก) แบบไอล์ตามแนวคิ่ง ข) แบบไอล์ขาวง

กระบวนการเมมเบรนที่ใช้ในการบำบัดน้ำเสียที่สำคัญ มี 4 แบบ คือ กระบวนการไมโครฟิลเตอร์ชั้น (Microfiltration, MF) กระบวนการอัลตราฟิลเตอร์ชั้น (Ultrafiltration, UF) กระบวนการนาโนฟิลเตอร์ชั้น (Nanofiltration, NF) กระบวนการอสโนไซส์ย้อนกลับ (Reverse osmosis, RO) ดังแสดงในภาพที่ 2.3 สรุปถึงความแตกต่างของกระบวนการเมมเบรน

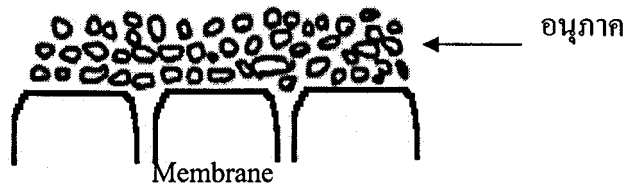
	Atomic force microscopy		Electron microscopy		Optical microscope		Visible	
	Dissolved matter		Colloids		Suspended matter			
	Ions	Molecules	Macromolecular		Microparticles	Macroparticles		
	Molecular weight, Da	100	1000	10000	100000			
Solute/particle dimension	Size, UM	0.001	0.01	0.1	1	10	100	1000
		Mineral Salts		Proteins		Algae protozoa		
		Fulvic Acid			Red Blood Cells			
		Humic Acid			FeCl3 Flocs		Macrophytes	
		Metal Ions		Fyrogengs			Clay , Sand	
		Pesticides		Virus				
		Amino		Colloids			Pollen	
		Polysaccharides						
Membrane separation process		RO	NF		MF			
		Electrodialysis						

ภาพที่ 2.3 เปรียบเทียบกระบวนการเมมเบรนชนิดต่างๆ (A.I. Schafer and et al., 2000)

### 2.2.3 ลักษณะการอุดตันบนเมมเบรน

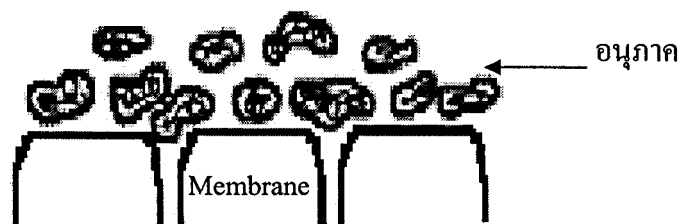
Concentration Polarization (CP) เป็นปรากฏการณ์ปกติของกระบวนการกรองผ่านเมมเบรนที่ดำเนินภายใต้แรงดัน เมื่อตัวละลายเกิดการสะสมกันอยู่ที่ผิวน้ำของเมมเบรนทำให้ความเข้มข้นของตัวละลายที่ไม่ผ่านเมมเบรนออกไปสูงกว่าความเข้มข้นในเนื้อสารละลายก่อให้เกิดชั้นขอบ (Boundary layer) ขึ้นเรียกปรากฏการณ์นี้ว่า การอุดตัน (Fouling) ทำให้สมรรถนะของเมมเบรน กล่าวคือ พลักซ์ (Flux) และสมรรถนะการเลือก (Selectivity) ลดลง การเกิด Fouling หรือการอุดตันของสารละลายบนผ่านเมมเบรน มี 3 ลักษณะ คือ

2.2.3.1 Cake Layer เป็นการลดลงของพลักซ์โดยที่อนุภาคจะตกลงบนผิวด้านนอกของเมมเบรนเป็นชั้น ดังแสดงในภาพที่ 2.4



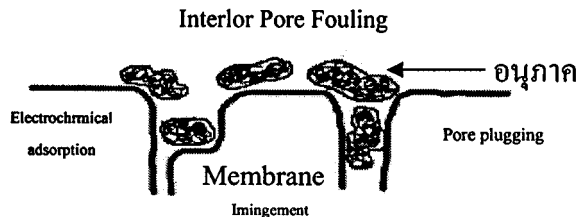
ภาพที่ 2.4 ลักษณะการอุดตันแบบ Cake Layer

2.2.3.2 Pore blocking เป็นการลดลงของพลักซ์โดยที่อนุภาคจะตกลงที่ช่องเปิดของรู ดังแสดงในภาพที่ 2.5



ภาพที่ 2.5 ลักษณะการอุดตันแบบ Pore Blocking

2.2.3.3 Interior pore fouling เป็นการลดลงของพลักซ์โดยที่อนุภาคจะตกลงในรูของเมมเบรน ทำให้ขนาดรูเล็กลง ก็ดู枉การไหลและล้างทำความสะอาดได้ยาก ดังแสดงในภาพที่ 2.6



ภาพที่ 2.6 ลักษณะการอุดตันแบบ Interior pore fouling

ความสัมพันธ์ของ Concentration polarization ดังสมการที่ (2.1) ซึ่งแสดงได้ด้วย อัตราส่วนของความเข้มข้นตัวละลายที่ผิวน้ำเมมเบรน ( $C_S^W$ ) กับความเข้มข้นตัวละลายในเนื้อสารละลาย ( $C_S^b$ )

$$CP = \frac{C_S^W}{C_S^b} \quad (2.1)$$

โดยที่	$CP$	คือ	Concentration polarization
	$C_S^W$	คือ	ความเข้มข้นของตัวละลายที่ผิวน้ำเมมเบรน
	$C_S^b$	คือ	ความเข้มข้นของตัวละลายในเนื้อสารละลาย

#### 2.2.4 ปัจจัยที่มีผลก่อให้เกิดการอุดตันบนแผ่นเมมเบรน

สิ่งที่มีผลที่ก่อให้เกิดการอุดตันบนเมมเบรน และทำให้ค่าฟลักซ์ลดลงนั้นมีหลาย ปัจจัยด้วยกัน ซึ่งปัจจัยเริ่มต้นมาจากคุณภาพของน้ำที่นำมาผ่านเมมเบรน คุณลักษณะของเมมเบรน, ความดัน, ความเข้มข้นของสารละลาย, ความแรงของประจุ (Ionic Strength), ค่าพีอีชและอุณหภูมิ ของสารละลาย, ขนาดหน้าหักไมโครกรainless ของสาร, ลักษณะการกรองผ่านเมมเบรน เป็นต้น

2.2.4.1 รูปธุน ขนาดของรูปธุนหมายถึง ขนาดเส้นผ่านศูนย์กลางหรือขนาดความ กว้างของรูปธุน ดังนั้นเมมเบรนแบบไนโตรฟิลเตอร์ชั้นจัดว่ามีรูปธุนขนาดใหญ่ และสำหรับ อัลตราฟิลเตอร์ชั้นเป็นขนาดกลาง ถ้าขนาดของรูปธุนเล็กกว่า 2 นาโนเมตรนิยมเรียกว่าเมมเบรนแบบ แผ่นมากกว่าที่จะเรียกว่ามีรูปธุนขนาดเล็ก

2.2.4.2 ประจุหรือความมีชี้วากลางเมมเบรน จากการที่อัตราการไหลและค่า Recovery ขึ้นอยู่กับอัตราการระหว่างเมมเบรนและตัวถูกละลาย ทำให้ผู้ใช้ต้องมีความเข้าใจและ สามารถที่จะเลือกใช้ให้เหมาะสมกับตัวถูกละลายที่ต้องการจะทำการแยก เช่น เซลลูโลสอะ-ซิเตด และโพลีเอไมค์จะแสดงความเป็นข้อดีหลับเล็กน้อย ในขณะที่โพลิเมอร์อื่นๆ อาจจะมีคุณสมบัติที่เป็น กลาง

2.2.4.3 ความดัน สารละลายที่ประกอบด้วยสาร โมเลกุลขนาดใหญ่ที่สามารถเกิดเจลได้ที่ความเข้มข้นสูง จะมีผลต่อความดันของฟลักซ์คือ ฟลักซ์จะเพิ่มขึ้นกับความดันในช่วงแรก หรือก่อนเกิดเจล และในช่วงเกิดเจล แรงดันที่เพิ่มขึ้นทำให้ชั้นเจลอัดแน่น ฟลักซ์จึงไม่เพิ่มขึ้นแต่เมื่อแนวโน้มคงที่ ส่วนของการกักกันจะขึ้นอยู่กับลักษณะของชั้นเจล ส่วนระบบที่ความเข้มข้นต่ำและตัวถูกละลายไม่สามารถเกิดเจลได้ การเพิ่มความดันทำให้ฟลักซ์เพิ่มขึ้น แต่อัตราการเพิ่มนักจะช้าลง ในช่วงความดันสูงขึ้น เนื่องจากผลของ CP

2.2.4.4 ความชอบน้ำและไม่ชอบน้ำ (Hydrophilicity and Hydrophobicity) เมมเบรนที่มีสมบัติชอบน้ำจะให้มุมสัมผัส (Contact angle) ที่เกิดขึ้นระหว่างผิวน้ำของเมมเบรน กับเส้นสัมผัสหยดน้ำมีค่าอยู่ระหว่าง 0-90 องศา โดยค่ามุมสัมผัสที่ต่ำกว่า แสดงว่าสามารถทำให้เมมเบรนเปียกน้ำได้มากขึ้น เมมเบรนที่ชอบน้ำมากๆ ทำให้โมเลกุln้ำมารวมกันเกิดเป็นชั้นน้ำ บริสุทธิ์ที่ผิวน้ำของเมมเบรน ขณะเดียวกันจะผลัก โมเลกุลของสารอื่นให้ห่างออกไปจากผิวน้ำ ของเมมเบรน จึงเกิดการถ่ายโอนเฉพาะ โมเลกุln้ำผ่านเมมเบรนออกไปทางรูพรุน หรือในการผ่านของเมมเบรนแบบเนื้อแน่นจะเกิดการดูดซับ โมเลกุln้ำเข้าไปในเนื้อเมมเบรนและแพร่ผ่านเมมเบรน ออกไปอีกด้านหนึ่ง ส่วนอนุภาคที่แขวนลอยในน้ำ มักมีสมบัติไม่ชอบน้ำมีแนวโน้มชอบจับตัวกัน เป็นอนุภาคคลอโลยด์ (Colloidal particle) และชอบที่จะเข้าจับติดกับผิวเมมเบรน ส่งผลให้สมบัติ ความชอบน้ำของเยื่อกรองเลือยก็ทำให้เกิดการอุดตันของรูพรุนบนเมมเบรน

2.2.4.5 ความเข้มข้นของสารละลาย ความเข้มข้นมีผลต่อการอุดตันของเมมเบรน จากการเกิด Concentration polarization ชั้นของสารที่สัมผัสผิวน้ำเมมเบรน คือ ชั้น Boundary Layer หากสารละลายมีความเข้มข้นมากการสะสมตัวของสารละลาย เช่น สารอินทรีย์จะไปตกอยู่ในชั้นนี้ทำให้ผิวน้ำเมมเบรนมีความเข้มข้นของสารอินทรีย์สูงกว่าบริเวณที่ห่างจากผิวน้ำเมมเบรน ออกไปหากไม่มีความปั่นป่วนบริเวณผิวน้ำเมมเบรน จะทำให้เกิด Concentration polarization ได้ดี ยิ่งเข้มข้นซึ่งส่งผลต่อการอุดตันตามมาต่อไป

2.2.4.6 ความแรงของประจุ (Ionic Strength) ความแรงของประจุมีผลต่อค่าฟลักซ์ ด้วยเช่นกัน

2.2.4.7 พีอีชและอุณหภูมิของสารละลาย การเพิ่มอุณหภูมิของน้ำแต่ละองศา ในช่วง 15-30 องศาเซลเซียส ช่วยให้อัตราการซึมผ่านเมมเบรนมีค่ามากขึ้นตามไปด้วยประมาณร้อยละ 3-5 เพราะอุณหภูมิมีผลต่อความหนืดของน้ำ ค่าพีอีชของสารอินทรีย์ควรบนทั้งหมด มีผลต่อค่าฟลักซ์ที่ลดลง

2.2.4.8 ค่า'n้ำหนักโมเลกุล (Molecular weight cut off) คือ ค่า'n้ำหนักโมเลกุลของสารละลายน้ำที่ถูกเมมเบรนกักไว้ให้ผ่าน 90-95% ซึ่งขนาด'n้ำหนักโมเลกุลเป็นปัจจัยหนึ่งที่จะใช้ทำการศึกษาถึงการอุดตันของเมมเบรน โดยจะสังเกตการณ์ลดลงของค่า ฟลักช์ที่ผ่านเมมเบรน หากสารละลายน้ำที่นำมากรองผ่านเมมเบรนมีขนาดใหญ่กว่ารูพรุนมากๆ ทำให้เกิดการอุดตันได้

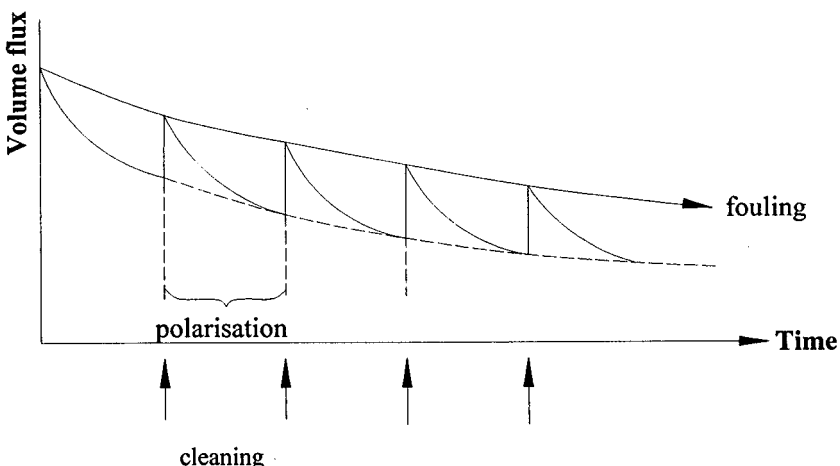
### 2.2.5 ข้อควรปฏิบัติเพื่อควบคุมการอุดตันบนแผ่นเมมเบรน

2.2.5.1 การบำบัดเบื้องต้น (Pretreatment) ได้แก่ การเติมสารตกตะกอน การกรองเบื้องต้น การเติมคลอรีน หรือการดูดซับด้วยคาร์บอน

2.2.5.2 การดัดแปลงผิวน้ำของเมมเบรน (Membrane Surface modification) โดยการเติมหมู่ชอน้ำ หรือหมู่ที่มีประจุที่ผิวน้ำของเมมเบรน

2.2.5.3 การออกแบบอุทกศาสตร์ของโมดูลให้เหมาะสม

2.2.5.4 การล้างเมมเบรน(Membrane cleaning) ด้วยสารเคมีที่เหมาะสมเมื่อฟลักช์ลดลงจนถึงระดับหนึ่ง จำเป็นต้องล้างเมมเบรนเพื่อให้ได้ฟลักช์กลับคืนมาบางส่วนหรือให้ได้เท่าเดิม สารเคมีที่ใช้ทำความสะอาด ได้แก่ กรดไฮดริก ( $\text{HNO}_3$ ) โซเดียมไฮดรอกไซด์ ( $\text{NaOH}$ ) และสารผ่าเชื้อ (Disinfectant) เป็นต้น ดังภาพที่ 2.7



ภาพที่ 2.7 ไดอะแกรมแสดงการถูฟลักช์ด้วยการล้างเมมเบรน

## 2.3 กระบวนการไนโตรฟิลเตอร์ชัน

กระบวนการไนโตรฟิลเตอร์ชัน เป็นกระบวนการทางกายภาพ อาศัยแรงดันที่ต่ำเป็นแรงขับดันให้ของเหลวผ่านช่องว่างของเมมเบรน ในการแยกอนุภาคคลออยด์และของแข็งขนาดเล็กที่มีขนาดอยู่ในช่วง 0.01-10 ไมโครเมตร รวมทั้งแบคทีเรียและจุลชีพอื่นๆ ออกจากของเหลว กระบวนการไนโตรฟิลเตอร์ชันเป็นกระบวนการที่สำคัญกระบวนการนี้ เนื่องจากมีอัตราการผลิต



น้ำสูงกว่ากระบวนการเมมเบรนแบบอื่นที่สามารถดีไซกัน จึงนิยมนำมาใช้ในอุตสาหกรรมหลายประเภท เช่น อุตสาหกรรมผลิตเครื่องดื่มประเภทต่างๆ อุตสาหกรรมในการผลิตโปรดตีนสั้นเคราะห์ ตลอดจนอุตสาหกรรมผลิตยา เป็นต้น

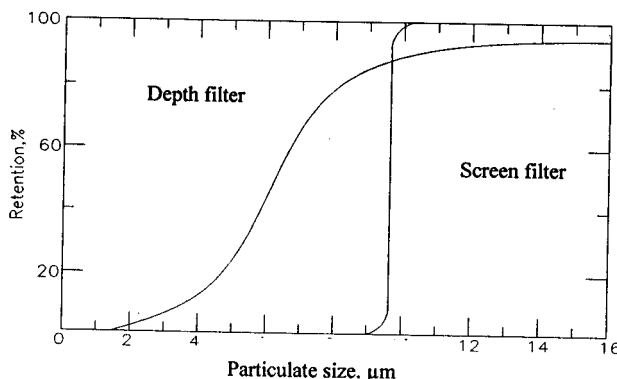
จากความต้องการใช้เมมเบรนในประเทศสหรัฐอเมริกา เติบโตปีละร้อยละ 7.4 โดยมีมูลค่าทั้งสิ้นในปี ก.ศ.2006 เท่ากับ 2.1 พันล้านเหรียญ คิดเป็นความต้องการพื้นที่เมมเบรนเท่ากับ 121 ล้านตารางเมตร โดยในปี ก.ศ.2001 กระบวนการไมโครฟิลเตอร์ชั้นมีการครองตลาดมากที่สุดคิดเป็นร้อยละ 50 ของความต้องการเมมเบรนทั่วโลก (Atkin Son, S., 2002)

### 2.3.1 กลไกการทำงานของกระบวนการไมโครฟิลเตอร์ชั้น

อนุภาคที่มีขนาดเท่ากับหรือใหญ่กว่าขนาดภาพของ Screen filter จะถูกกักไว้โดยตรงบนผิวน้ำของเมมเบรน ส่วนอนุภาคที่มีขนาดเล็กกว่าขนาดของเมมเบรนสามารถผ่านเมมเบรนออกไปได้ถ้าไม่มีการอัดติดเนื่องจากความเร็ว (Inertial impaction) และการซึมซาบ (Diffusion) ของอนุภาคบนผังรู

สำหรับกลไกการกักอนุภาคของ Depth filter คือ การดูดซับ และการดักติด (Entrapment) อนุภาคส่วนใหญ่ถูกจับไว้อยู่ภายในช่องของเมมเบรนยกเว้นอนุภาคที่มีขนาดค่อนข้างใหญ่ เนื่องจากความสามารถในการกักอนุภาคของ Depth filter ขึ้นอยู่กับความคงทนของเส้นทางการไหล เมมเบรนแบบนี้จึงสามารถกักอนุภาคที่มีขนาดน้อยกว่าขนาดพิภพได้ด้วยลักษณะเส้นโค้งการกักอนุภาคของเมมเบรนทั้งสองแบบแสดงในภาพที่ 2.8 นอกจากนี้ Depth filter ยังมีพื้นที่ผิวใช้ประโยชน์ได้ (Available surface area) มากกว่า Screen filter อย่างมาก ดังนั้น Depth filter จึงสามารถกักอนุภาคไว้เป็นปริมาณมากกว่า Screen filter และมีตำแหน่งให้โปรดตีนและไวนัสซีดเหนี่ยวเป็นจำนวนมาก

อย่างไรก็ตาม ในแง่ของอัตราการไหลจากเมมเบรน ไมโครฟิลเตอร์ชั้นทั้งสองแบบมีค่าเท่ากันโดยประมาณ ถึงแม้ว่า Depth membrane จะมีรูเปิดมากกว่าแต่ Screen membrane มีความบางกว่า กล่าวคือ Screen membrane มีความหนา 10 ไมครอน ขณะที่ Depth membrane หนา 50-120 ไมครอน



ภาพที่ 2.8 เส้นโค้งการกักของเมมเบรน ไมโครฟิลเตอร์ชั้นสองแบบ

สำหรับสารอินทรีย์ เช่น โปรตีน แบคทีเรีย อนุภาคแขวนลอย อาจถูกกำจัดด้วยกลไกการดูดติดผิวหน้าของเมมเบรน หรือภายในโครงสร้าง ซึ่งอยู่กับลักษณะสมบัติของวัสดุที่ใช้ทำเมมเบรน คือ วัสดุชนิด Hydrophobic จะมีคุณสมบัติในการดูดติดสารอินทรีย์สูง และยอมให้น้ำไหลผ่านได้น้อยกว่าชนิด Hydrophilic (เทียบกับ Molecular Weight cutt off ขนาดเดียวกัน) แต่จะก่อให้เกิดการอุดตันเมมเบรน

การระบุลักษณะสมบัติของเมมเบรนมีรูปrunของเมมเบรนแบบไมโครฟิลเตอร์ชั้นได้แก่ ค่าฟลักซ์ที่ผ่านเมมเบรน (Trans-membrane flux) ขนาดรู การกระจายขนาดรู (Pore size distribution)

ค่าสมบัติความชอบน้ำและไม่ชอบน้ำ ความแข็งแรงเชิงกล (Mechanical strength) เสถียรภาพต่อสารเคมีและความร้อน (Chemical and thermal stability) และการสามารถทำความสะอาดได้ (Cleanability)

ในการหาค่าฟลักซ์ที่ผ่านเมมเบรน ดังสมการที่ (2.2) โดยปกติทดสอบที่ค่าความดันต่างๆ กับน้ำสะอาด เพื่อไม่ให้เกิดปัญหาการอุดตันของรู ฟลักซ์ที่ผ่านเมมเบรนมักคลองตามระยะเวลาที่ดำเนินการทดลอง เนื่องจากเกิดการอัดตัว (Compaction) ของโครงสร้างเมมเบรนภายใต้แรงดัน ซึ่งค่าการอัดตัว (Compaction factor) สามารถหาได้จากค่าความชันของกราฟที่plot ระหว่างฟลักซ์ที่ความดันคงที่หนึ่งๆ กับเวลาบนสเกลกึ่งลอการิทึม (Semi-logarithm) หน่วยของฟลักซ์มีได้หลายแบบ เช่น ฟลักซ์เชิงปริมาตร มีหน่วยนับเป็น ปริมาตรต่อหนึ่งหน่วยพื้นที่และหนึ่งหน่วยเวลา ฟลักซ์เชิงโมล/m<sup>2</sup> หน่วยเป็นหน่วยนักต่อหนึ่งหน่วยพื้นที่ และหนึ่งหน่วยเวลาเป็นตัน โดยพื้นที่ที่ใช้ในการคำนวณ คือ พื้นที่ผิวของเมมเบรนที่ตั้งฉากกับความหนาของเมมเบรน หรือกล่าวอีกนัยหนึ่ง คือ ตั้งฉากกับทิศทางการไหล

$$J_V = \frac{V}{A\Delta t} \quad (2.2)$$

โดยที่  $J_V$  คือ อัตราการซึมผ่านเมมเบรน, พลิกซ์ ( $\text{m}^3/\text{m}^2 \cdot \text{h}$ )

$V$  คือ ปริมาตรเพอร์มิเอทที่ผ่านเมมเบรน ( $\text{m}^3$ )

$A$  คือ พื้นที่ผิวของเมมเบรนที่ตั้งฉากกับทิศทางการไหล ( $\text{m}^2$ )

$\Delta t$  คือ เวลาที่เก็บเพอร์มิเอท (h)

ส่วนการกำจัดสารละลายออกจากน้ำ (Rejection) โดยการกรองผ่านเมมเบรนจะสกัดเอาสารละลายต่างๆ ออกจากน้ำ ซึ่งประสิทธิภาพในการกำจัดสารละลายน้ำสามารถคำนวณได้จากสูตร

$$R = \left[ 1 - \frac{C_p}{C_f} \right] \times 100\% \quad (2.3)$$

$$R_f = \left[ 1 - \frac{C_p}{C_r} \right] \times 100\% \quad (2.4)$$

โดยที่  $R$  คือ ค่าการกำจัดสารละลายออกจากน้ำ (Rejection) ในสารละลายน้ำ (%)

$R_f$  คือ ค่าการกำจัดสารละลายในรีเทนเทล (%)

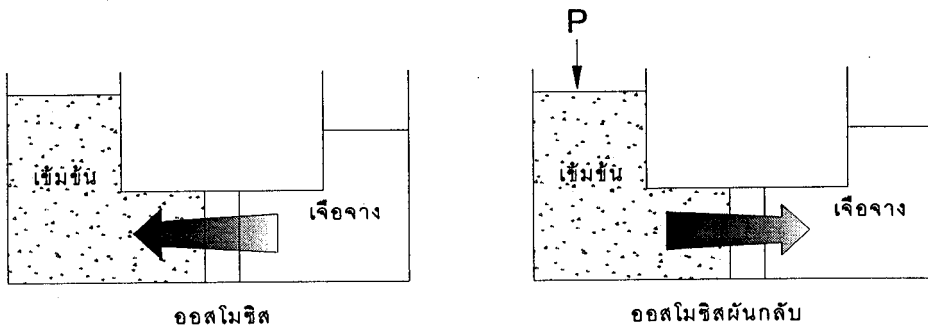
$C_p$  คือ ความเข้มข้นของสารละลาย ในเพอร์มิเอท ( $\text{mg/l}$ )

$C_f$  คือ ความเข้มข้นของสารละลายในสารละลายน้ำ ( $\text{mg/l}$ )

$C_r$  คือ ความเข้มข้นของตัวละลายในรีเทนเทล ( $\text{mg/l}$ )

## 2.4 กระบวนการออสโมซิสย้อนกลับ

กระบวนการออสโมซิส (Osmosis Process) หมายถึง การเคลื่อนที่ซึ่งเกิดเองตามธรรมชาติของน้ำผ่านเมมเบรนบางๆ (Semi Permeable Membrane) จากสารละลายที่มีความเข้มข้นต่ำไปยังสารละลายที่มีความเข้มข้นสูงอย่างต่อเนื่อง จนกระทั่งถึงจุดสมดุลที่จะทำให้น้ำจากสารละลายที่มีความเข้มข้นต่ำขุดการถ่ายเทไปยังสารละลายที่มีความเข้มข้นสูง (รัตนฯ จิระรัตนานนท์, 2543) ดังแสดงในภาพที่ 2.9 ผลต่างของความดันที่จุดนี้เรียกว่า ความดันออสโมติก (Osmotic Pressure)



ภาพที่ 2.9 หลักการดำเนินระบบของอสโนมิซและอสโนมิซข้อนกลับ

ในกระบวนการกรองอสโนมิซข้อนกลับ ถ้ามีความดันที่มากกว่าความดันอสโนมิคิกมากำทำต่อด้านที่มีสารละลายความเข้มข้นสูง น้ำจะไหลข้อนกลับที่จากสารละลายที่มีความเข้มข้นสูงยังสารละลายที่มีความเข้มข้นต่ำ ดังแสดงในภาพที่ 2.9 หลังจากผ่านกระบวนการสารละลายที่ออกมามี 2 ส่วน คือ ส่วนที่เข้มข้น เรียกว่า รีเทนเทต (Retentate) กับส่วนที่ไหลผ่านเมมเบรนเรียกว่า เพอร์เมต (Permeate) ความดันอสโนมิซ เป็นคุณสมบัติของสารละลายที่เข้มข้นอยู่กับความเข้มข้นแสดงได้ด้วยสมการดังนี้

$$\pi = \frac{C_i R_g T}{M_i} \quad (2.5)$$

เมื่อ  $\pi$  = ความดันอสโนมิคิก (kPa)  $C_i$  = ความเข้มข้นเชิงมวลของสารละลาย ( $\frac{kg}{m^3}$ )

$R_g$  = ค่าคงที่ของแก๊ส  $T$  = อุณหภูมิ

$M_i$  = น้ำหนักโมเลกุลของสาร i

#### 2.4.1 สมการที่เกี่ยวข้องในกลไกการไหลผ่านเยื่อกรองอสโนมิซข้อนกลับ

กลไกการไหลผ่านของตัวทำละลายและตัวถูกละลายขึ้นอยู่กับขนาด รูปร่าง และคุณสมบัติทางเคมีของโมเลกุล กระบวนการกรองอสโนมิซข้อนกลับจะใช้แยกตัวถูกละลายขนาดเล็ก เมมเบรนที่ใช้ต้องเป็นชนิดที่ขนาดของรูพรุนเล็กและแน่น โดยตัวทำละลายและตัวถูกละลายจะสามารถเคลื่อนผ่านเมมเบรนได้โดยอาศัย Chemical Potential Gradient ซึ่งก็คือเป็นความแตกต่างของความสามารถในการละลายและการแพร่ของตัวถูกละลายและตัวทำละลาย (Solution – Diffusion Mechanism) ความแตกต่างนี้จะทำให้เกิดการเลือก

ผ่านและส่งผลกระแทบท่อฟลักซ์ของตัวทำละลายและตัวถูกละลายผ่านเมมเบรน โดยฟลักซ์ของตัวทำละลายสามารถแสดงความสัมพันธ์ได้ดังนี้

$$J_v = L_p (\Delta P - \Delta \pi) \quad (2.6)$$

เมื่อ	$J_v$ = ฟลักซ์ของตัวทำละลาย ( $m^3/m^2.s$ )
	$L_p$ = สัมประสิทธิ์การซึมผ่าน ( $m^3/m^2.s.Pa$ )
	$\Delta \pi$ = ผลต่างความดันของโนดิกระหว่างเมมเบรน (Pa)
	$\Delta P$ = ความแตกต่างของความดันระหว่างผิวน้ำทั้งสองของเมมเบรน (Pa)

สำหรับฟลักซ์ของตัวถูกละลายสามารถคำนวณได้จากสมการ

$$J_s = K_s \Delta C_s \quad (2.7)$$

เมื่อ	$J_s$ = ฟลักซ์ของตัวถูกละลาย
	$K_s$ = สัมประสิทธิ์การซึมผ่านตัวถูกละลาย
	$\Delta C_s$ = ผลต่างความเข้มข้นของตัวถูกละลาย หรือ
	$C_R$ (ความเข้มข้นเรียนเทห) - $C_p$ (ความเข้มข้นเพอร์มิเอท)

สำหรับความสามารถของเมมเบรนในการผลิตน้ำสะอาดสามารถคำนวณได้ในรูปของเปอร์เซ็นต์ Recovery ดังสมการ

$$\text{Recovery} = \left[ \frac{Q_p}{Q_f} \right] \times 100\% \quad (2.8)$$

เมื่อ	$Q_p$ = อัตราไฟลของน้ำสะอาดที่ผลิตได้จากระบบ RO
	$Q_f$ = อัตราไฟลของสารละลายที่เข้าระบบ RO

#### 2.4.2 ตัวแปรที่มีผลต่อสมรรถนะของกระบวนการกรองสารออกไซด์

ตัวแปรในการดำเนินการที่มีผลต่อสมรรถนะของกระบวนการกรองแบบออกไซด์ ได้แก่

2.4.2.1 ความดันที่ให้แก่ระบบ ( $\Delta P$ ) ความดันที่ใช้ในระบบเครื่องกรองสารออกไซด์ คืออุปทานที่เกิดขึ้นในช่วงที่เน้นจะลดความดันน้ำเหลืองลง ตามที่ได้ออกแบบไว้ถ้าความดันน้ำเหลืองไป จะมีผลทำให้

Salt flux เพิ่มขึ้น แต่ถ้าความดันสูงเกินไป จะทำให้โครงสร้างของเมมเบรนเกิดการอักตัวน้ำที่มีความเข้มข้นมากจะไหหลอกทิ้งไม่สะคอก ซึ่งถ้าให้ใช้ไปนานๆ จะทำให้เมมเบรนเสื่อมประสิทธิภาพ

2.4.2.2 อุณหภูมิ ฟลักซ์เพิ่มขึ้นกับอุณหภูมิ ที่อุณหภูมิสูงความหนืดของสารละลายลดลง สมมุติว่าการแพร่เพิ่มขึ้นทั้งน้ำและตัวถูกจะลดลงเมมเบรนได้ดีขึ้น ค่าการกักกันลดลง โดยเฉลี่ยเพิ่มขึ้น 1 องศาเซลเซียส ฟลักซ์เพิ่มขึ้นร้อยละ 2-3

2.4.2.3 ความเข้มข้น การเพิ่มความเข้มข้นของเกลือทำให้ความดันของโนมติกของสารละลายเพิ่มขึ้น ถ้าความดันที่ให้แก่สารละลายป้อนคงที่ ทำให้แรงขับดันสูญ ( $\Delta P - \Delta \pi$ ) ลดลง ฟลักซ์จะลดลง และที่ความเข้มข้นสูง โอกาสที่เกลือจะละลาย/แพร่ ในเมมเบรนสูงขึ้นทำให้การกักกันลดลง

2.4.2.4 อัตราการไหลด การเพิ่มอัตราการไหลดหรือความเร็วที่สารละลายไหลดผ่านผิวน้ำเมมเบรนช่วยลดการสะสมของตัวถูกจะลดลงที่ผิวน้ำเมมเบรน ทำให้เกิด Concentration polarization น้อยลง หรือสมมุติว่าการถ่ายเทมวล ( $K$ ) มีค่าสูงขึ้น เพราะในระบบการถ่ายเทมวลโดยการพา  $K$  ขึ้นอยู่กับตัวเลขเรโนลต์ (Reynolds number) และตัวเลขเชมิดท์ (Schmidt number)

2.4.2.5 pH (ความเป็นกรด-ด่าง) ความเป็นกรด-ด่างของสารละลายมีผลต่อการแตกตัวของสารอิเล็กโทรไลท์ เช่น สารละลายเกลือ และสามารถมีผลต่อโพลาริตี้ของเมมเบรน ตลอดจน interaction ระหว่างตัวทำละลายกับเมมเบรน

### 2.4.3 ความต้านทานในการไหลดผ่านเมมเบรน

ปรากฏการณ์การถ่ายเทมวลผ่านเมมเบรน เป็นปรากฏการณ์ที่เกี่ยวกับการถ่ายเทของตัวถูกจะลดลงและตัวทำละลาย สามารถวิเคราะห์ในรูปของความต้านทานการไหลดผ่านเมมเบรนซึ่งเพื่อร์มิเอофลักซ์จะมีความสัมพันธ์กับค่าความต้านทานในการไหลดและความดัน ในกรณีที่ไม่มีตัวถูกจะลดลงเพื่อร์มิเอофลักซ์สามารถแสดงได้ดังนี้

$$J_{w1} = \frac{\Delta P}{\mu_w \cdot R_m} \quad (2.9)$$

เมื่อ	$J_{w1}$	=	ฟลักซ์ของน้ำบริสุทธิ์ ( $m^3/m^2.s$ )
	$\Delta P$	=	ความแตกต่างของความดันระหว่างผิวน้ำทั้งสองของเมมเบรน (kPa)
	$\mu_w$	=	ความหนืดของน้ำบริสุทธิ์ (kPa.s)
	$R_m$	=	ความต้านทานการไหลดของเมมเบรน ( $m^{-1}$ )

ในการแยกตัววุกละลายจะเกิด CP และ/หรือการอุดตัน ทำให้เพอร์มิเอทฟลักซ์ ที่ได้มีค่าต่ำกว่าของน้ำบริสุทธิ์เนื่องจากความด้านทานการไหลเกิดขึ้น ดังนั้นเพอร์มิเอทฟลักซ์ที่ได้จากการแยกตัววุกละลายดังสมการ (สูพัฒน์พงษ์ มัตรชา, 2548)

$$J_v = \frac{\Delta P}{\mu R_t} \quad (2.10)$$

เมื่อ  $J_v$  = เพอร์มิเอทฟลักซ์ ( $\text{m}^3/\text{m}^2 \cdot \text{s}$ )

$\mu$  = ความหนืดของตัวทำละลาย (Pa.s)

$R_t$  = ความด้านทานรวม ( $\text{m}^{-1}$ )

ความด้านทานรวมในระบบอสโนซิสข้อนอกลับเป็นผลมาจากการ

(1) ความด้านทานเนื่องจากเเมมนเบรน ( $R_m$ )

(2) ความด้านทานเนื่องจากการเกิดโพลาไรซ์ชั้น ( $R_p$ ) ซึ่งเป็นผลรวมของ ความด้านทาน เนื่องจากการเกิด CP และความด้านทานเนื่องจากการสะสมของอิอนบนผิวของ เมมเบรน

(3) ความด้านทานเนื่องจากการเกิด Fouling ( $R_f$ ) ซึ่งเป็นความด้านทานเนื่องจาก การดุดชั้บ และความด้านทานเนื่องจากการอุดตันรูพรุนของตัววุกละลาย ดังนี้

$$R_t = R_m + R_c + R_f \quad (2.11)$$

ความด้านทานเนื่องจากชั้นโพลาไรซ์ เป็นความด้านทานที่ผ่านกลับได้หรือสามารถถ่ายออกได้ยากลับปราศจากไอออน ส่วนความด้านทานเนื่องจากการเกิด Fouling เป็นความด้านทานที่ผ่านกลับไม่ได้ หรือไม่สามารถถ่ายออกได้ยากลับปราศจากไอออน ไม่ว่าจะใช้ที่สภาวะใดๆ ซึ่งเมื่อใช้น้ำทำการทดสอบเเมมนเบรนที่ผ่านกระบวนการอสโนซิสข้อนอกลับแล้วจะสามารถกำจัดได้เฉพาะชั้นโพลาไรซ์เท่านั้นแต่ไม่อาจทำลายชั้น Fouling ได้ ดังนั้นความด้านทานการไหลของน้ำสำหรับเเมมนเบรนที่ใช้แล้วหลังจากถ่ายได้ยากลับน้ำ คือ ความด้านทาน  $R_m$  และ  $R_f$

$$J_{w2} = \frac{\Delta P}{\mu_w (R_m + R_f)} \quad (2.12)$$

$$(R_m + R_f) = \frac{\Delta P}{\mu_w J_{w2}} \quad (2.13)$$

เมื่อ  $J_{w2}$  = ฟลักซ์ของน้ำหลังการถ่ายเมมเบรนที่ใช้แล้วต่อน้ำ ( $\text{m}^3/\text{m}^2 \cdot \text{s}$ )  
 $R_f$  = ความต้านทานการไหลเนื่องจากการเกิด Fouling ( $\text{m}^{-1}$ )

ความต้านทาน  $R_f$  สามารถคำนวณได้ดังนี้

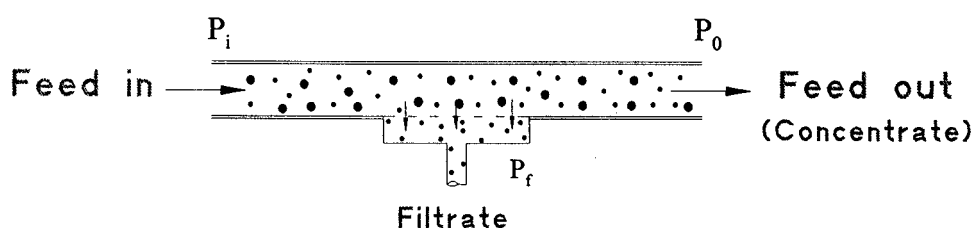
$$R_f = ((R_m + R_f) - R_m) \quad (2.14)$$

ส่วนความต้านทาน  $R_C$  สามารถหาได้จาก

$$R_C = R_t - (R_m + R_f) \quad (2.15)$$

การลดผลของการเกิด Concentration Polarization (CP) สามารถทำได้โดยใช้การกรองแบบไอลขาวางซึ่งความดันที่กระทำจะไม่ตั้งจากกับเมมเบรนแต่จะกระทำในแนวนานกับผิวน้ำเมมเบรน นั่นคือสารละลายจะไหลบนกับผิวน้ำเมมเบรน และแพร่ผ่านเมมเบรน

ภาพแสดงการกรองแบบไอลขาวางในภาพอสโนซิสข้อนกลับ แสดงดังภาพที่ 2.4 โดยมีค่า ความดันลด (Pressure drop,  $\Delta P^*$ ) คือ



ภาพที่ 2.10 การกรองแบบไอลขาวางในกระบวนการกรองแบบอสโนซิสข้อนกลับ

$$\Delta P^* = P_i - P_0 \quad (2.16)$$

เมื่อ  $P_i$  = ความดันขาเข้า  
 $P_0$  = ความดันขาออก (หรือความดันด้านรีเทนเทก)

เมื่อสมมุติว่าไม่มีความดันลด หรือ  $P_i = P_0$  และ  $P_0 =$  ความดันบรรยากาศ  
นั่นคือ  $\Delta P = P_i$  ซึ่งเป็นค่าที่อ่านได้จากเกจ เป็นแรงขับดันที่มักใช้กันโดยทั่วไป เช่น ในสมการ  
(2.6)

แต่ถ้าคิดผลของความดันลดด้วย แรงขับดันก็จะต่ำกว่าค่าที่เป็นจริง โดยเรียก  
ค่าความดันนี้ว่า Transmembrane pressure drop ( $\Delta P_M$ )

$$\Delta P_M = \frac{(P_i + P_0)}{2} - P_p \quad (2.17)$$

เมื่อ  $P_p =$  ความดันด้านเพอร์มิเอท ซึ่งคือความดันบรรยากาศ หรือ เกจอ่านเป็นศูนย์

$$\Delta P_M = P_i - \left( \frac{\Delta P^*}{2} \right) \quad (2.18)$$

ดังนั้น  $\Delta P_M < \Delta P$  เพราะผลของความดันลด

## 2.5 การทำความสะอาดเมมเบรน

การทำเมมเบรน ไปใช้งานในการแยกสารละลายนี้เป็นของเหลว ถึงแม้จะมีการบำบัด  
สารละลายนี้การออกแบบ โมดูล ตลอดจนมีการเลือกสภาพคำแนะนำการ ที่ทำให้ลดการเกิด  
concentration polarization ก็ยังพบว่ามีการเกิดการอุดตัน จึงมีความจำเป็นต้องทำความสะอาด  
เมมเบรนด้วยวิธีที่เหมาะสมเป็นระยะๆ เพื่อให้เมมเบรนมีสภาพใกล้เคียงเมมเบรนใหม่มากที่สุด  
และเพื่อยืดอายุการ ใช้งาน การเลือกวิธีการถ่างและทำความสะอาดเมมเบรนต้องพิจารณาชนิดของ  
สารอุดตัน วัสดุที่ผลิตเป็นเมมเบรนและรูปแบบของโมดูล ตลอดจนค่าใช้จ่าย ความยากง่าย และ  
ระยะเวลาในการถ่างด้วย วิธีทำความสะอาดแบ่งออกเป็น 2 วิธีหลัก ได้แก่ วิธีการถ่ายภาพ และวิธีเคมี

2.5.1 วิธีการถ่ายภาพ (Hydrodynamic methods) หมายถึง การทำความสะอาดที่ใช้การ  
เปลี่ยนแปลงสภาพการทำงานเป็นหลัก เช่น การเพิ่มอัตราการไหล ซึ่งจะเพิ่มแรงเฉือนที่ผิวน้ำ  
เมมเบรน แต่ก็ลดการอุดตันได้ระดับหนึ่งเท่านั้น

วิธีการถ่ายภาพที่แพร่หลายและได้ผลเป็นที่น่าพอใจ คือ การถ่างกลับทาง (Back  
washing) ซึ่งทำได้โดยการป้อนสารละลายน้ำให้ความดันเข้าทางด้านเพอร์มิเอท (ตรงข้ามกับการ

คำแนะนำปกติที่เพอร์มิเอทเป็นทางออก) ซึ่งจะทำให้สารละลายดันสารอุดตันหลุดออกจาก เมมเบรน การล้างกลับทางอาจทำระหว่างการกรอง หรืออาจทำเมื่อเสร็จสิ้นการกรอง คือ ล้างกลับทางคัวยน้ำ หรือสารทำความสะอาด ข้อจำกัดของวิธีนี้ คือ อุปกรณ์จะต้องมีการออกแบบเฉพาะให้มี การล้างกลับทางได้ นอกจากนี้ยังมีอีกวิธีการพ่นอากาศที่ความดันสูงเข้าทางช่องเพอร์มิเอทแทนการ ใช้สารละลาย อย่างไรก็ตามการที่จะนำสารอุดตันที่หลุดออกจากเมมเบรนให้ออกมานอกระบบก็ ตามคัวยการล้างน้ำเพื่อให้น้ำเป็นตัวพาสารอุดตัน

วิธีการภาพใช้ได้ผลดีกรณีที่มีการสะสมที่ผิวน้ำเมมเบรนมากกว่าการอุดตันใน รูพุน หลังจากการล้างกลับทาง พลักซ์อาจมีค่าเพิ่มขึ้นอยู่ในระดับที่น่าพอใจ ขึ้นอยู่กับชนิดของสาร อุดตัน แต่ในระยะยาวแล้วก็อาจพบว่า พลักซ์ยังคงลดลงอยู่ ดังนั้น การล้างคัวยวิธีเคมี จึงมีความ จำเป็น เป็นที่นิยมใช้และเป็นวิธีที่มีประสิทธิภาพดีกว่า

2.5.2 วิธีเคมี (Chemical method) หมายถึง การทำความสะอาดเมมเบรนด้วยสารเคมี สารเคมีอาจช่วยให้มีการเปลี่ยนแปลงทางกายภาพโดยสารเคมีอาจทำให้สารอุดตันพองตัว หดตัว ละลาย เกิดการหลุดออก (desorption) หรือ สารเคมีที่ใช้อาจทำปฏิกิริยาเคมีกับสารอุดตัน เช่น การ เกิดไฮโดร ไลซิส การย่อยสลายพื้นธรูปไทด์ของโปรตีน และการเกิดสารประกอบเชิงช้อน เป็น ต้น สารเคมีที่ใช้ควรมีคุณสมบัติดังนี้

2.5.2.1 ละลายสารอุดตันหรือทำให้สารอุดตันแยกตัวกันน้อบลงคัวยก ไกทาง กายภาพหรือทางเคมี

2.5.2.2 รักษาสภาพการกระจายตัวของสารอุดตันไม่ให้กลับไปสะสมอีก

2.5.2.3 ไม่เป็นสารที่อาจก่อให้เกิดการอุดตันเสียเอง

2.5.2.4 ไม่ทำให้เมมเบรนเสื่อมสภาพ

2.5.3 สารเคมีที่ใช้ทำความสะอาด แบ่งเป็นกลุ่มใหญ่ๆ ดังนี้

2.5.3.1 กรด ใช้ได้ทั้งกรดอินทรีย์และอนินทรีย์ เช่น กรดเกลือ (hydrochloric acid) กรดซัลฟูริก กรดฟอสฟอริก เป็นต้น ใช้ได้ผลดีในการละลายตะกรันที่เป็นโลหะออกไซด์ เกลือการ์บอนเนต ซึ่งเป็นสารอุดตันที่พบในกระบวนการอสโนมิชิสข้อนกลับและนาโนฟิลเตอร์ชั้น แต่ ใช้ไม่ได้ผลกับสารอุดตันที่เป็นชิลิกา ซิลิกา และจุลินทรีย์

2.5.3.2 ด่าง ที่ใช้กันแพร่หลาย คือ โซเดียมไฮดรอกไซด์ คาร์บอเนต และฟอสเฟต ใช้ได้ผลดีกับสารอุดตันที่เป็นสารอินทรีย์ เช่น โปรตีน เพคติน เซลลูโลส ดังนั้น จึงนิยมใช้ล้าง เมมเบรนที่ใช้ในอุตสาหกรรมอาหารและน้ำผลไม้

2.5.3.3 เอ็นไซม์ (enzyme) ใช้สำหรับทำความสะอาดสารอินทรีย์ เช่น โปรตีน โดยทำให้เกิดการแตกตัว ทำลายพื้นที่ เป็นโมเลกุลที่เล็กลง โดยต้องเลือกเอ็นไซม์ที่เหมาะสม เช่น

ถ้าสารอุดตันเป็นโปรตีน ควรใช้อีนไซม์โปรตีอส (protease) ถ้าเป็นแป้งควรใช้อัมบิเลส (amylase) หรือ ควรใช้ไลเปส (lipase) อีนไซม์จัดเป็นสารทำความสะอาดที่อ่อนไม่เป็นขันรายต่อ เมมเบรนแต่มีราคาแพง

2.5.3.4 สารลดแรงตึงผิว (surfactants) เป็นสารโนมเลกุลใหญ่ที่ประกอบด้วยส่วนที่ไม่ชอบน้ำ และส่วนชอบน้ำ ซึ่งเป็นส่วนที่เมื่อยู่ในน้ำจะแสดงประจุบวกหรือประจุลบ หรือเป็นกลาง ซึ่งอยู่กับชนิดของสารลดแรงตึงผิว สารลดแรงตึงผิวสามารถเข้าถึงส่วนต่างๆ ของเมมเบรนได้ดี (เกิดการเปียก หรือ wetting) จึงสัมผัสนับสารอุดตันได้ดี ถ้างอกได้ง่าย แต่ควรเลือกอย่างระมัดระวัง เพราะสารลดแรงตึงผิวอาจถูกดูดซับได้โดยเมมเบรนบางชนิด จึงอาจกล่าวเป็นสารอุดตันเสียเอง

2.5.3.5 สารฆ่าเชื้อ (disinfectant) การฆ่าเชื้อ หมายถึง การทำลายหรือกำจัดจุลินทรีย์ ที่เป็นพิษ ซึ่งอาจเจือปนอยู่ในสารละลายหรือติดค้างอยู่ในระบบท่อ การใช้กระบวนการเมมเบรนในอุตสาหกรรมอาหารและเครื่องดื่ม จึงอาจมีความจำเป็นที่ต้องทำความสะอาดด้วยสารฆ่าเชื้อทุกวัน สารฆ่าเชื้อส่วนมากเป็นตัวออกซิเดนท์ (oxidant) เช่น คลอริน ไฮโดรเจนเปอร์ออกไซด์ สารพากไฮโปคลอไรท์ (คณินทร์ บุญศรัตร, 2546) เป็นสารที่ออกฤทธิ์แรง จึงควรใช้ด้วยความระมัดระวัง เพราะอาจมีผลเสียต่อเมมเบรนและส่วนอื่นๆ ของหน่วยอุปกรณ์

2.5.3.6 สารทำความสะอาดกำหนดสูตร (formulated cleaner) เป็นสารที่ผู้ชำนาญกำหนดส่วนประกอบขึ้นโดยอาจใช้สารละลายชนิดผสมกันให้มีความเหมาะสมกับชนิดของสารอุดตัน และเมมเบรน ก่อนขึ้นมาใช้

จากที่กล่าวมาข้างต้นจะเห็นได้ว่าการเลือกสารทำความสะอาดจะต้องทราบข้อมูลของเมมเบรนว่ามีความคงทนต่อสารเคมีที่จะเลือกใช้เพียงใด

## 2.6 งานวิจัยที่เกี่ยวข้อง

การศึกษาถึงประสิทธิภาพและผลกระทบจากการอุดตันในกระบวนการเมมเบรนแบบไมโครฟิลเตอร์ชัน และօโซโนซิซึ่งอนกับ มีผู้สนใจและทำการศึกษาวิจัยดังนี้

รัตนฯ จิระวัฒนานนท์ และคุณฐี อุตภาพ (2536) ได้ทำการศึกษา fouling และความต้านทานต่อการไหลในระบบ Cross-flow microfiltration (CFMF) พบว่าสารละลายที่มีโนมเลกุลเล็ก (Blood serum albumin, BSA) จะเกิดการอุดตันเฉพาะภายในหรือมีกัลไกคตาม standard blocking model (SBM) ส่วนสารละลายที่มีโนมเลกุลใหญ่ขึ้น ( $BaSO_4$ ) จะเกิดการ transition จากกลไกตาม SBM ไปเป็นตาม CFM (Cake Filtration Model) ที่ความเข้มข้นและความดันสูงขึ้น

A.A. Karimi and et al. (1999) ได้ทำการศึกษาทางประสีทชิภาพ กระบวนการกรองผ่านเมมเบรน แบบในโตรฟิลเตอร์ชั้น ในการนำบดหัวในอ่างเก็บน้ำที่ Holly wood พบร่วมกับกระบวนการ MF สามารถลดความชื้นของน้ำในอ่างเก็บน้ำจาก 1 NTU เป็นน้อยกว่า 0.4 NTU และลดปริมาณสารอินทรีย์ carbon ทั้งหมดได้มากกว่า ร้อยละ 10

Lin, J., and Marcel, M. (1996) พบร่วมกับการอุดตันสามารถแบ่งออกเป็น 2 ชนิด ได้แก่ การอุดตันภายในซึ่งจะมีการสะสมของวัสดุอินทรีย์ภายในรูโตรฟิลเตอร์ชั้นของเมมเบรนและการอุดตันภายนอก ซึ่งจะมีการสะสมของชั้นเค็กที่ผิวน้ำของเมมเบรน

David Waite and et al. (1999) ได้ทำการศึกษาถึงผลผลกระทบจากการอุดตันของ Colloid ใน Ultrafiltration membrane พบร่วมกับการอุดตันที่เกิดขึ้นบน Ultrafiltration Membranes เป็นผลที่เกิดจากการสะสมของสารอินทรีย์จำพวก hematite ขณะที่ผลกระทบจากการรวมตัวของสารอินทรีย์อาจจะลดความแตกต่างบางอย่างลงได้ ทั้งนี้ขึ้นอยู่กับขนาดและคุณลักษณะของสารอินทรีย์

Wei Yuan and Andrew, L. (1999) ได้ทำการศึกษาถึงผลผลกระทบจากการอุดตันของ humic acid ในกระบวนการกรองแบบ Microfiltration พบร่วมกับการคุณค่าและขนาดไมโครกลุ่มของ humic acid เป็นปัจจัยที่ทำให้เกิดการอุดตันบนรูพรุนของเมมเบรน ซึ่งขั้นตอนเริ่มต้นของการอุดตันจาก humic acid คือ การเกาะเนื่องจากการพนาของอนุภาคหรือกลุ่มของ humic acid บนผิวเมมเบรน ซึ่งการเกาะเริ่มต้นนี้จะเร่งให้เกิดการเกาะของ humic acid ที่มีไมโครกลุ่มขนาดใหญ่ต่อไป

## บทที่ 3

### วิธีดำเนินงานวิจัย

#### 3.1 สารเคมีที่ใช้ในการทดลอง

3.1.1 Sodium hydroxide (NaOH) ใช้ในการปรับสภาพค่า pH ของสารละลายน้ำเสีย

แมมเบรน

3.1.2 Hydrochloric acid (HCl) ใช้ในการปรับสภาพค่า pH ของสารละลายน้ำเสีย

แมมเบรน

3.1.3 Sodium chloride (NaCl) ใช้ในการปรับสภาพแมมเบรน

3.1.4 เกาลิน (kaolin) ใช้ในการสร้างน้ำสังเคราะห์ให้มีความขุ่นเท่ากับน้ำผิวดิน

#### 3.2 อุปกรณ์และเครื่องมือ

3.2.1 ถังบรรจุก๊าซ ใน โทรเรน พร้อมอุปกรณ์ (มาตรฐานแรงดัน วาล์ว สายยาง) เพื่อใช้แรงดันของก๊าซขับน้ำตัวอย่างจากถังเก็บไปยังชุดทดลอง

3.2.2 ชุดทดลองสำหรับกระบวนการกรองแบบไมโครฟลเตอร์ชั้น ใช้ชุดทดลอง Dead-end unit cell รุ่น SM 16510/11 บริษัท Sartorius ประเทศเยอรมัน แบบไอลตรอง ขนาดความจุ 250 มิลลิลิตร พื้นที่ในการกรอง 17.35 ตารางเซนติเมตร ความดันไม่เกิน 2 บาร์

3.2.3 ชุดทดลองสำหรับกระบวนการกรองแบบօสโนซิสข้อนกลับ ใช้ชุดทดลอง Cross-flow bench scale test cell บริษัท Osmonic ประเทศสหรัฐอเมริกา

3.2.4 แมมเบรน ที่ใช้การศึกษาครั้งนี้ใช้ใน ไมโครฟลเตอร์ชั้นแมมเบรน Sartorius membrane filter ชนิด Cellulose Nitrate ขนาดเส้นผ่านศูนย์กลาง 4.7 เซ็นติเมตร. Pore size 5  $\mu\text{m}$ , 1.2  $\mu\text{m}$ , 0.45 $\mu\text{m}$  และօสโนซิสข้อนกลับแมมเบรน รุ่น AG 2540 F 1328 ชนิด Polyamide

3.2.5 เครื่องมือวิเคราะห์ ในการศึกษาครั้งนี้จะใช้เครื่องมือวิเคราะห์หาค่าต่างๆ ดังนี้

3.2.5.1 เครื่องมือวิเคราะห์ปริมาณคาร์บอนทั้งหมดของสารอินทรีย์ (Total Organic Carbon, TOC) รุ่น TOC-VCPh ของบริษัท Shimadzu Corporation ประเทศญี่ปุ่น เพื่อวิเคราะห์หาปริมาณสารอินทรีย์carbon

3.2.5.2 เครื่องมือวิเคราะห์ค่าการนำไฟฟ้า (Conductivity meter) รุ่น inoLab Cond Level 2 ของบริษัท Wissenschaftlich-Technische Werkstatten (WTW) ประเทศไทยมัน ใช้วัดสภาพนำไฟฟ้า

3.2.5.3 เครื่องมือวิเคราะห์ความชุ่น(Turbidimeter) รุ่น Ratio/Xn บริษัท HACH ประเทศไทยรัฐอเมริกา ใช้วัดความชุ่นของน้ำตัวอย่าง

3.2.5.4 เครื่องมือวิเคราะห์ค่าความเป็นกรดเป็น鹼 (pH meter) รุ่น inolab pH level 1 บริษัท Wissenschaftlich-Technische Werkstatten (WTW) ประเทศไทยมัน ใช้ในการวัดค่า pH ของสารละลายน้ำตัวอย่าง

3.2.5.5 เครื่องซึ่งน้ำหนัก รุ่น PB3002-S บริษัท Mettler Toledo ประเทศไทย สวิตเซอร์แลนด์ ใช้สำหรับซึ่งน้ำหนักของสารเคมีเพื่อเติมในสารละลายน้ำตัวอย่าง

3.2.6 ขุปกรณ์ในการศึกษาครั้งนี้จะใช้ขุปกรณ์ต่างๆ ดังนี้

3.2.6.1 บีกเกอร์ ขนาด 100, 400, 1000 และ 5000 มิลลิลิตร เพื่อบรรจุสารละลายน้ำตัวอย่างในการทดลอง

3.2.6.2 แท่งแก้วสำหรับคนสาร

3.2.6.3 ช้อนตักสารเคมี

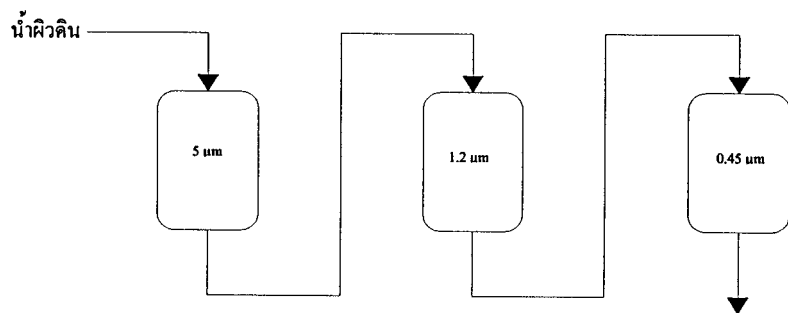
### 3.3 ขั้นตอนการทดลอง

3.3.1 การศึกษาน้ำผิวดินตัวอย่างจากแหล่งน้ำหนอนอีเจนส์ จังหวัดอุบลราชธานี โดยศึกษาปัจจัยที่มีผลต่อการดำเนินระบบได้แก่ ขนาดครูพรุนของแผ่นเมมเบรน ความดัน เปรียบเทียบประสิทธิภาพในการดำเนินระบบแบบเมมเบรน และแบบกะ ตลอดจน เปรียบเทียบประสิทธิภาพของเมมเบรนก่อนและหลังการดำเนินระบบ โดยมีลักษณะในการดำเนินระบบดังภาพที่ 3.1 และ 3.2 และมีขั้นตอนในการทดลองดังภาพที่ 3.3 ตลอดจนมีรายละเอียดดังนี้

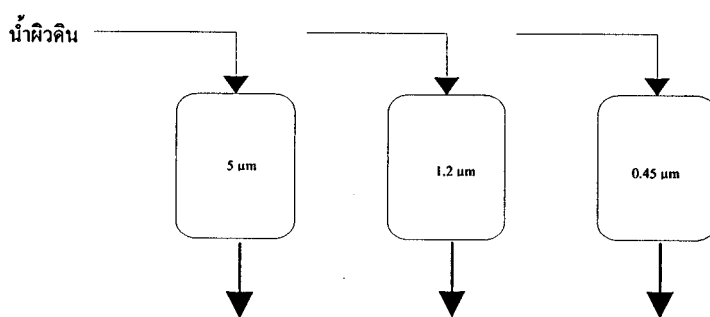
3.3.1.1 การเตรียมเมมเบรน ก่อนการทดลองด้องทำความสะอาดเมมเบรนทุกครั้ง โดยนำเมมเบรนที่เตรียมไว้มาแช่ในสารละลายโซเดียมไฮดรอกไซด์ pH 10 เป็นเวลา 30 นาที จากนั้นนำมาแช่ในสารละลายไฮโคลอโริก pH4 เป็นเวลา 30 นาที แล้วจึงล้างด้วยน้ำที่ปราศจากไอออน จากนั้นนำเมมเบรนวางในชุดทดลอง Dead-end unit cell และเชื่อมต่อเข้ากับระบบดำเนินการ ดังแสดงในภาพที่ 3.4

3.3.1.2 ดำเนินการวัดอัตราการไหลที่ความดัน 68.93, 103.39, 137.86 และ 172.32 kPa (10,15,20 และ 25 psi) ด้วยน้ำปราศจากไอออนเป็นเวลา 30 นาที นำน้ำผิวดินที่เตรียมไว้บรรจุลงในถังเก็บ ขนาด 10 ลิตร และดำเนินระบบด้วยความดัน 68.93, 103.39, 137.86 และ 172.32 kPa

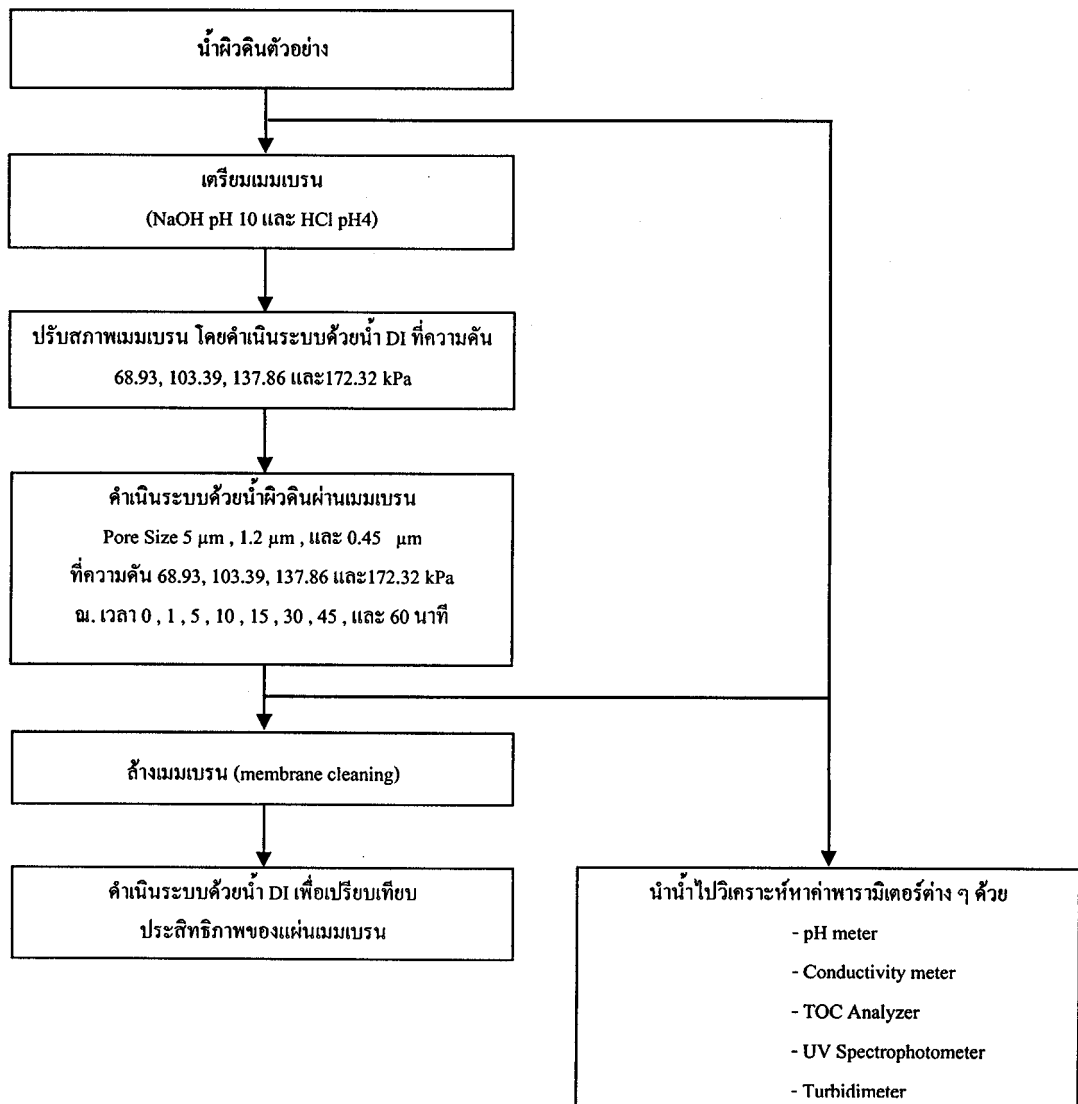
ตามลำดับ เริ่มจับเวลาตั้งแต่ตัวอย่างเข้าสู่ระบบ โดยใช้บีกเกอร์ ขนาด 5,000, 2,000 และ 1,000 มิลลิลิตร รองรับน้ำที่ผ่าน membran ออกมา (เพอร์มิเอท) เพื่อคำนวณหาอัตราการไหลของเพอร์มิเอท โดยคำนวณระบบแบบ membran ผ่าน membran ขนาด 5  $\mu\text{m}$ , 1.2  $\mu\text{m}$  และ 0.45  $\mu\text{m}$



ภาพที่ 3.1 ลักษณะการดำเนินระบบแบบอนุกรม



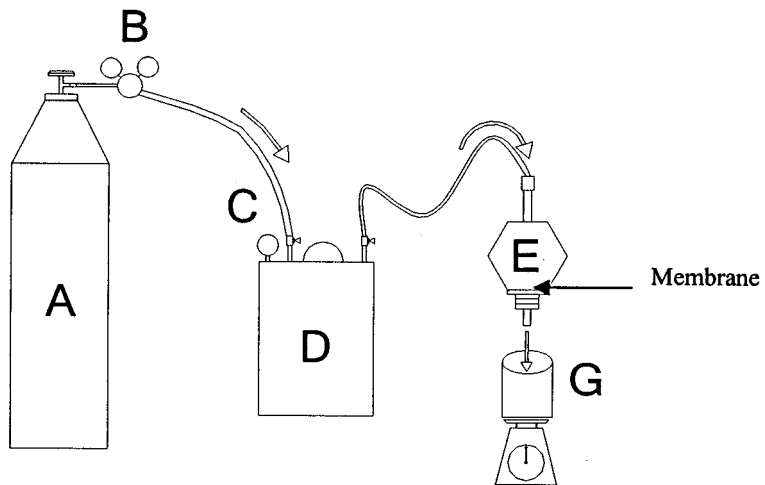
ภาพที่ 3.2 ลักษณะการดำเนินระบบแบบวง



**ภาพที่ 3.3 แผนภาพแสดงขั้นตอนการดำเนินระบบของน้ำผิวดินผ่านกระบวนการกรองแบบไมโครฟิลเตอร์ชั้น**

### 3.3.1.3 เก็บตัวอย่างน้ำไปวิเคราะห์หาค่าพารามิเตอร์ต่างๆ เพื่อหาค่าประสิทธิภาพในการเก็บกัก

3.3.1.4 นำเมมเบรนหลังจากขั้นตอนที่ 3.3.1.2 เมื่อค่าเดินระบบผ่านน้ำผิวดินตัวอย่างแล้ว ทำการล้างเมมเบรน ด้วยน้ำปราศจากไฮอนและสารเคมี โดยสารเคมีที่ใช้ในการล้างเมมเบรน คือ โซเดียมไฮดรอกไซด์ pH10 และ ไฮdroคลอโริก pH4 เพื่อเปรียบเทียบประสิทธิภาพของแผ่นเมมเบรนก่อนและหลังการดำเนินระบบ



ภาพที่ 3.4 แผนภาพแสดงการดำเนินระบบการไอลตามแนวคิ่งของกระบวนการกรองเมนเบรนแบบไมโครฟิลเตอร์ชั้น

A = ถังก๊าซในไตรเจน

B = regulator ปรับความดันจากถังก๊าซเข้าถัง reservoir

C = เกจวัดความดันในถัง reservoir

D = ถัง reservoir ขนาด 10 ลิตรทำจากสแตนเลส

E = dead – end unit cell ขนาด 250 มิลลิลิตร

G = ส่วนที่รองรับน้ำ (permeate)

3.3.2 การศึกษาน้ำตัวอย่างสังเคราะห์ที่มีความชุ่นจากการพสมระหว่างน้ำปราศจากไอออนและสารสร้างความชุ่นเกลิน โดยศึกษาปัจจัยที่มีผลต่อการดำเนินระบบได้แก่ขนาดครูพรุนของแผ่นเมนเบรน ซึ่งในการศึกษาระบบนี้จะใช้ระบบการกรองในการดำเนินระบบแบบเมนเบรนโดยกรองน้ำสังเคราะห์ความชุ่นผ่านเมนเบรนขนาดครูพรุน  $5 \mu\text{m}$ ,  $1.2 \mu\text{m}$  และ  $0.45 \mu\text{m}$  ตามลำดับ ที่ความดัน  $172.32 \text{ kPa}$  ซึ่งขึ้นตอนในการทดลองจะคล้ายกับการทดลองของน้ำผิวดินในขั้นตอนที่

### 3.3.1.1 ถึง 3.3.1.3

3.3.3 ศึกษาน้ำผิวดินตัวอย่างผ่านกระบวนการกรองแบบօอสโนซิสขั้นกลับโดยศึกษา น้ำผิวดินที่ผ่านและไม่ผ่านการนำบัดเบี้งต้นจากการกรองแบบไมโครฟิลเตอร์ชั้น โดยมีขั้นตอนการทดลองดังแสดงในภาพที่ 3.5 และรายละเอียดดังนี้

3.3.3.1 จัดเตรียมเมมเบรนจากน้ำหนึ่งน้ำหนึ่งเมมเบรนวางในทุกการทดลอง Cross-flow bench scale test cell ดังแสดงในภาพที่ 3.3 และทำการทดสอบค่าข้น้ำที่ปราศจากไออกอนสารละลายน้ำเดิม ไฮดรอกไซด์ที่ pH 10 และสารละลายน้ำไดรคลอริกที่ pH 4

3.3.3.2 หลังจากทำการทดสอบค่าความสะอาดแผ่นเมมเบรน ดำเนินการปรับสภาพเมมเบรนโดยคำนึงระบบค่าข้น้ำที่ปราศจากไออกอน เป็นเวลา 1 ชั่วโมง ที่ความดัน 482.51 kPa พร้อมวัดอัตราการไหลของน้ำผ่านเมมเบรน (Pure water permeability)

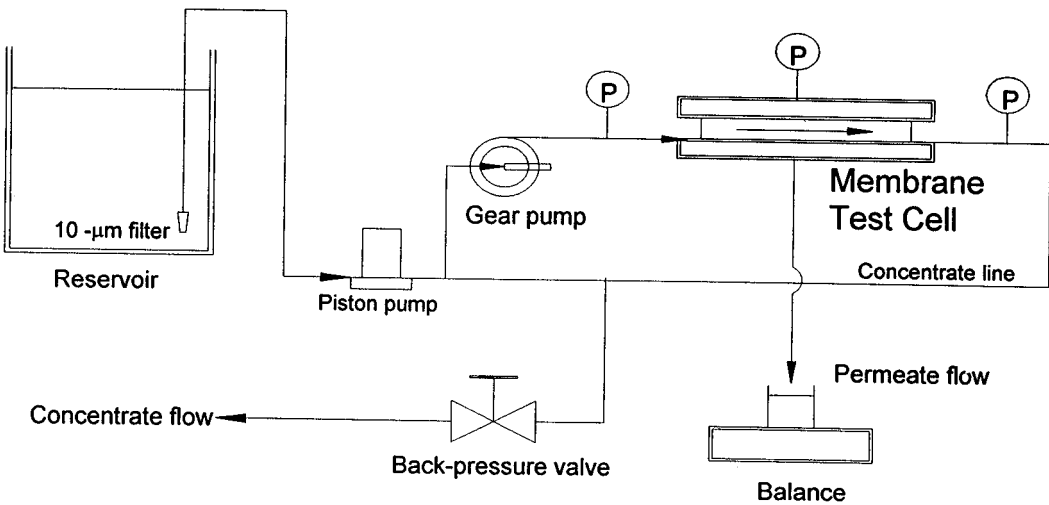
3.3.3.3 ดำเนินระบบค่าข้น้ำผิวคินตัวอย่างก่อนและหลังการนำบัดจากกระบวนการกรองแบบไมโครฟิลเตอร์ชั้นที่ความดัน 482.51 kPa เป็นระยะเวลา 240 นาที แล้ววัดอัตราการไหลทุก 10 นาที โดยรองรับน้ำที่ผ่านเมมเบรนออกมาทางเพอร์มิเอท และรองรับน้ำที่ผ่านออกมาทางรีเทนเทท เป็นระยะเวลา 1 นาที พร้อมกัน แล้วนำไปซั่งน้ำหนัก เพื่อคำนวณหาอัตราการไหลของเพอร์มิเอทและเปอร์เซ็นต์การไหลย้อนกลับ (Recovery) ตามลำดับ

3.3.3.4 เก็บน้ำตัวอย่างน้ำไปวิเคราะห์หาค่าพารามิเตอร์ต่างๆ เพื่อหาประสิทธิภาพในการเก็บกัก

3.3.3.5 ถ่ายทำการทดสอบค่าข้น้ำที่ปราศจากไออกอน จำนวน 2 ครั้ง โดยครั้งที่ 1 นำน้ำปราศจากไออกอน ปริมาตร 200 มิลลิลิตร มาดำเนินการถ่ายผ่านระบบเป็น 20 นาที และในครั้งที่ 2 นำน้ำปราศจากไออกอน ปริมาตร 1,000 มิลลิลิตร มาดำเนินการถ่ายผ่านระบบเป็นเวลา 20 นาที เช่นเดียวกัน หลังจากนั้นนำน้ำปราศจากไออกอน มาดำเนินระบบผ่านเมมเบรน และวัดอัตราการไหลหลังจากการถ่ายทำการทดสอบค่าข้น้ำปราศจากไออกอน

3.3.2.6 ถ่ายทำการทดสอบค่าความสะอาดเมมเบรนในระบบค่าข้น้ำสารละลายน้ำเดิม ไฮดรอกไซด์ที่ pH 10 ผ่านระบบเป็นเวลา 20 นาที เพื่อทำการทดสอบสารแขวนลอยตลอดจนสารอินทรีย์ คาร์บอนทั้งหมดที่คุณชั้บและอุดตันบนผิวเมมเบรนที่ยังเหลืออยู่หลังจากทำการทดสอบค่าข้น้ำปราศจากไออกอน (จากที่ 3.3.2.5) หลังจากนั้นนำน้ำปราศจากไออกอนมาดำเนินระบบผ่านเมมเบรน และวัดอัตราการไหล

3.3.2.7 ถ่ายทำการทดสอบค่าความสะอาดเมมเบรนในระบบค่าข้น้ำสารละลายน้ำไดรคลอริกที่ pH 4 ผ่านระบบเป็นเวลา 20 นาที เพื่อทำการทดสอบสารแขวนลอยตลอดจนสารอินทรีย์ คาร์บอนทั้งหมดที่คุณชั้บและ อุดตันบนผิวเมมเบรน จากนั้นนำน้ำปราศจากไออกอนมาดำเนินระบบผ่านเมมเบรน และวัดอัตราการไหล



ภาพที่ 3.5 แผนภาพแสดงการทำงานของระบบเมมเบรนแบบอสโนซิสข้อนอกลับ

### 3.4 การวิเคราะห์ข้อมูล

ข้อมูลที่ได้จากการทดลองนำมาวิเคราะห์ด้วยสมการสำหรับการกรองของเมมเบรน เพื่อนำมาคิดเป็นค่าประสิทธิภาพในการดำเนินระบบ ซึ่งดัชนีที่บ่งบอกประสิทธิภาพของระบบเป็นค่าการกำจัด

## บทที่ 4

### ผลการทดลองและวิจารณ์ผลการทดลอง

การวิจัยครั้งนี้เป็นการศึกษาถึงประสิทธิภาพของกระบวนการกรองผ่านเมมเบรนแบบในโกรฟิลเตอร์ชันและօสโนซิสขึ้นกลับ โดยการนำน้ำผิวดินที่มีความชุ่นต่ำ จากแหล่งน้ำธรรมชาติหนองอีเจนส์ จังหวัดอุบลราชธานี มาผ่านการบำบัดน้ำเบื้องต้นด้วยกระบวนการกรองผ่านเมมเบรนแบบในโกรฟิลเตอร์ชัน จากนั้นนำน้ำผิวดินที่ผ่านการบำบัดเบื้องต้นไปผ่านกระบวนการกรองเมมเบรน แบบօสโนซิสขึ้นกลับ โดยทำการศึกษาผลกระทบต่อการลดลงของฟลักซ์และค่าการกำจัด

#### 4.1 คุณลักษณะของน้ำตัวอย่าง

ในการศึกษาหาค่าคุณลักษณะเบื้องต้นของแหล่งน้ำผิวดิน หนองอีเจนส์ จังหวัดอุบลราชธานี ได้นำขั้นตอนและวิธีการศึกษาจากคู่มือวิเคราะห์คุณภาพน้ำ (มั่นสิน ตันตูลเวศน์, 2546) มาใช้เป็นแนวทางในการปฏิบัติเพื่อทราบถึงคุณลักษณะเบื้องต้นตลอดจนพิจารณาดูว่ามีค่าใดที่เกินระดับค่ามาตรฐานที่ได้กำหนดไว้ซึ่งจำเป็นต้องวิเคราะห์คุณภาพน้ำผิวดินในแหล่งน้ำดังกล่าว ทั้งทางด้านกายภาพและทางเคมี จากผลการศึกษาในตารางที่ 4.1 แสดงคุณลักษณะทางกายภาพและทางเคมีของแหล่งน้ำผิวดิน จะเห็นได้ว่า ค่าจากพารามิเตอร์ของน้ำตัวอย่าง มีค่าคุณสมบัติทั้งทางกายภาพและคุณสมบัติทางเคมีอยู่ในเกณฑ์มาตรฐานน้ำดิบผิวดินทั่วไป (เกรียงศักดิ์ อุดมสิน ใจดี, 2550) ที่สามารถนำมาใช้ในกระบวนการอุตสาหกรรม ได้อย่างเหมาะสม และค่าความชุ่นของตัวอย่างน้ำผิวดินที่วัดได้มีค่าเท่ากับ  $4.85 \text{ NTU}$  ซึ่งอยู่ในเกณฑ์ของน้ำผิวดินที่มีความชุ่นต่ำ ส่วนค่าของสารอินทรีย์คาร์บอนทั้งหมดของน้ำผิวดินมีค่าเท่ากับ  $4.42 \text{ mg.L}^{-1}$

#### ตารางที่ 4.1 คุณลักษณะทางกายภาพและทางเคมีของแหล่งน้ำผิวดิน

พารามิเตอร์	ค่าที่วัดได้
พีเอช	7.05
สารอินทรีย์คาร์บอนทั้งหมด (Total Organic Carbon) , mg.L <sup>-1</sup>	4.42
การดูดกลืนแสง UV <sub>254nm</sub> (UV Absorbance) , cm <sup>-1</sup>	0.148
การดูดกลืนแสงจำเพาะ (Specific UVA (UV <sub>254nm</sub> /TOC)) , L. mg <sup>-1</sup> . m <sup>-1</sup>	3.35
การนำไฟฟ้า (Conductivity) ที่อุณหภูมิ 25°C , $\mu\text{S.cm}^{-1}$	44
ความขุ่น (Turbidity) , NTU	4.85
ความกระด้าง (Hardness) , mg as CaCO <sub>3</sub> /L	60
ความเป็นด่าง (Alkalinity) i.e. HCO <sub>3</sub> <sup>-</sup> , mg as CaCO <sub>3</sub> /L	80
ปริมาณแคลเซียม (Ca <sup>2+</sup> ) , mg as CaCO <sub>3</sub> /L	40
ปริมาณแมกนีเซียม (Mg <sup>2+</sup> ) , mg as CaCO <sub>3</sub> /L	20
ปริมาณคลอไรด์ (Cl <sup>-</sup> ) , mg Cl <sup>-</sup> /L	30
ปริมาณซัลเฟต (SO <sub>4</sub> <sup>2-</sup> ) , mg SO <sub>4</sub> <sup>2-</sup> /L	0.01

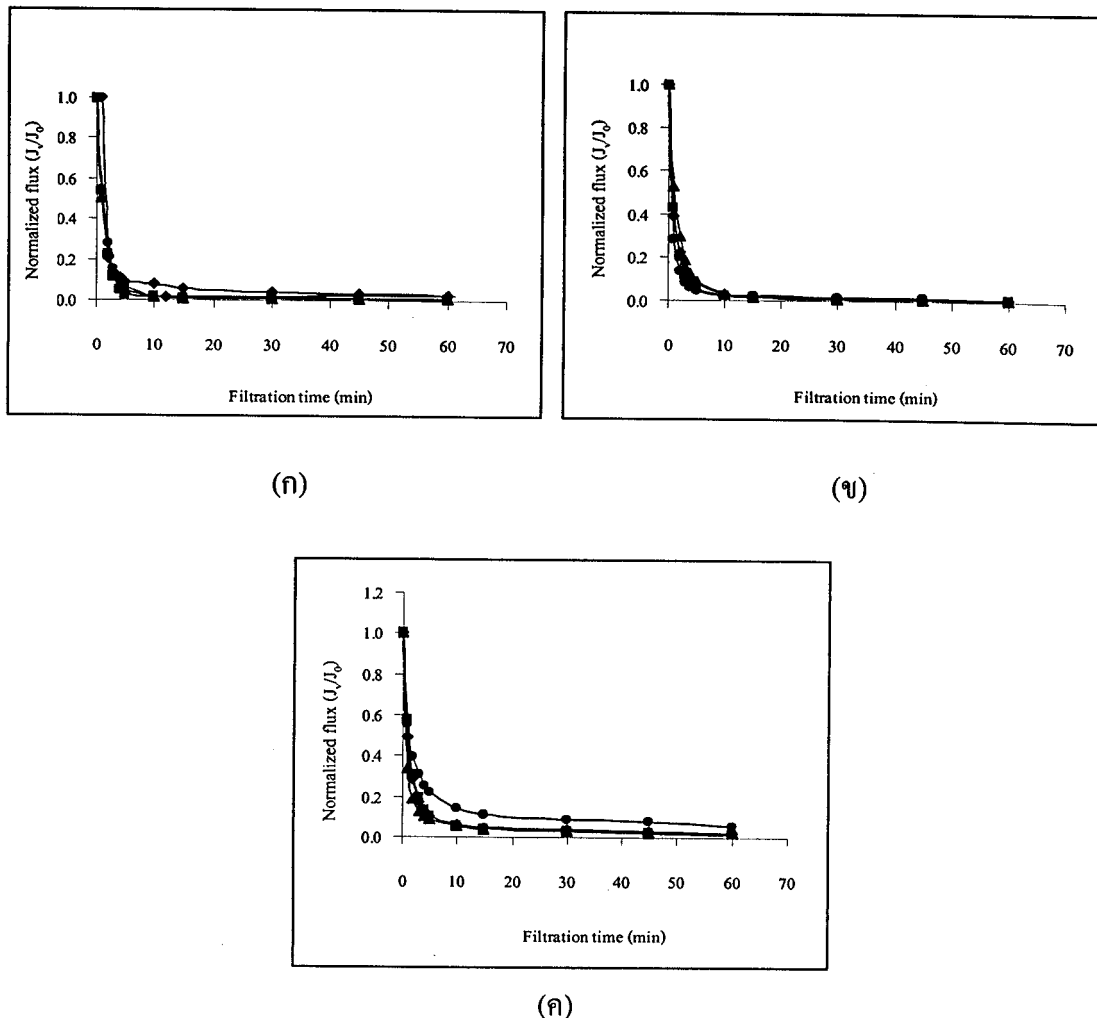
#### 4.2 ผลจากการดำเนินระบบบำบัดน้ำผิวดินเบื้องต้นผ่านกระบวนการกรองแบบไมโครฟิลเตอร์ชั้น

เมื่อนำน้ำผิวดินตัวอย่างที่มีส่วนผสมของสารแขวนลอย คอลลอยด์และสารอินทรีย์ คาร์บอนทั้งหมด ซึ่งมีความขุ่นเท่ากับ 4.85 NTU และปริมาณสารอินทรีย์คาร์บอนทั้งหมด เท่ากับ 4.42 mg.L<sup>-1</sup> มาผ่านกระบวนการกรองเมมเบรนแบบไมโครฟิลเตอร์ชั้น โดยมีวิธีการดำเนินระบบแบบไอลตรอง ศักยภาพและใช้แรงขับดันในการดำเนินระบบที่ 68.93 kPa, 103.39 kPa, 137.86 kPa และ 172.32 kPa ส่วนเมมเบรนทำมาจากวัสดุชนิด Cellulose nitrate แบบแผ่น (plate) มีขนาดรูพรุน 5 μm, 1.2 μm และ 0.45 μm และวัดอัตราการไอลทุก 10 นาที โดยรองรับน้ำที่ผ่านเมมเบรนออกมานาเพอร์เมิล็อก จึงนำไปปั่งเพื่อคำนวณหาอัตราการไอล และนำมาคิดเป็นค่าประสิทธิภาพ ซึ่งดังนี้ที่บอกประสิทธิภาพของระบบเป็นค่าอัตราการซึมผ่านเมมเบรน และค่าการกำจัด ดังสมการ 2.2 และ 2.3 ในการศึกษารังนี้จะใช้ระบบการกรองในการดำเนินระบบแบบอนุกรม โดยกรองน้ำผิวดินผ่านเมมเบรนขนาดรูพรุน 5 μm, 1.2 μm และ 0.45 μm ตามลำดับ และดำเนินระบบการกรองแบบกะโดยกรองน้ำผิวดินผ่านเมมเบรนแต่ละขนาดรูพรุน ซึ่งเลือกใช้ เมมเบรนขนาดรูพรุน 5 μm, 1.2 μm และ 0.45 μm เพื่อเปรียบเทียบประสิทธิภาพของระบบการกรองแบบอนุกรมและแบบกะ ซึ่งมีผลจากการศึกษาดังนี้

#### 4.2.1 ผลจากการดำเนินระบบแบบอนุกรม

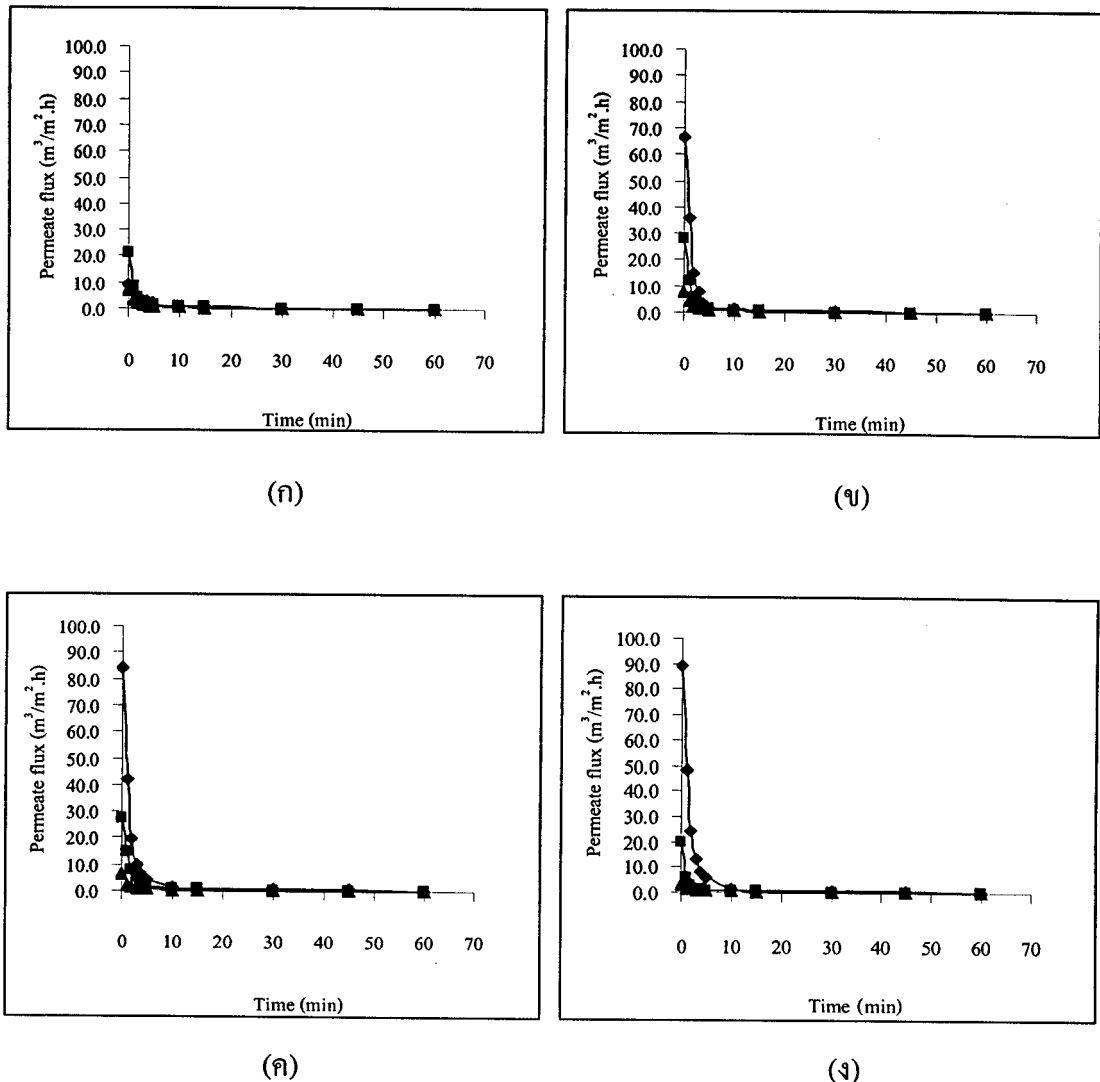
เมื่อนำน้ำผิวดินตัวอย่างมาผ่านกระบวนการกรองเมมเบรนขนาดรูพุน  $5 \text{ } \mu\text{m}$  พบว่าที่ทุกความดันค่าฟลักซ์จะมีค่าลดลงอย่างรวดเร็วในช่วงระยะเวลา 10 นาทีแรกโดยค่าฟลักซ์จะลดลงเหลือประมาณต่ำกว่า 10% ของฟลักซ์เริ่มต้น ดังแสดงในภาพที่ 4.1 (ก) ดำเนินระบบผ่านเมมเบรน  $5 \text{ } \mu\text{m}$  หลังจากนั้นค่าฟลักซ์มีแนวโน้มลดลงอย่างต่อเนื่องจนเมื่อเวลาผ่านไปประมาณ 30 นาที ค่าฟลักซ์ลดลงต่ำมาก สาเหตุที่ทำให้ค่าฟลักซ์ของน้ำผิวดินตัวอย่างลดลงอย่างรวดเร็วนี้เนื่องจากมีการสะสมแขวนลอย และคอลลอกอิคซ์ที่มีอนุภาคขนาดใหญ่ที่บริเวณผิวน้ำเมมเบรนทำให้เกิดการอุดตันบนแผ่นเมมเบรน ซึ่งสอดคล้องกับการศึกษาของ รัตนานา (2543) ที่พบว่าถ้าอนุภาคมีขนาดใหญ่กว่ารูพุน อนุภาคจะสะสมและเกิดเป็นเค็ก (Cakes) ที่ผิวน้ำเยื่อแผ่น แต่ถ้าอนุภาคมีขนาดเล็กและใหญ่พอสมกัน อนุภาคขนาดเล็กจะถูกสะสมในรูพุนและต่อมาก็จะเกิดการสะสมของอนุภาคขนาดใหญ่ เกิดเป็นชั้นเค็กที่ผิวน้ำเยื่อแผ่น ส่วน Defrise and Gekas (1988) ได้อธิบายกลไกการเกิด Fouling ไว้ว่า การดูดซับ (adsorption) อนุภาคในรูพุนและ/หรือบนพื้นผิวน้ำของเยื่อแผ่น เป็นขั้นตอนแรกของการเกิด fouling และก่อให้เกิดการอุดตันของรูพุนหรือเป็นตัวเริ่มในการก่อให้เกิดชั้นเค็กบนผิวของเยื่อแผ่น ส่วน Feuillat and Bernard (1985) ได้ศึกษาพบว่า คอลลอกอิคสามารถที่จะฟอร์มตัวเป็นพิล์ม ทึบภายในและภายนอกเยื่อแผ่นซึ่งเป็นเหตุผลเบื้องต้นในการทำให้เยื่อแผ่นเกิดการอุดตัน จากภาพที่ 4.1 (ข) น้ำผิวดินตัวอย่างที่กรองผ่านเมมเบรนขนาดรูพุน  $5 \text{ } \mu\text{m}$  เมื่อนำมาผ่านกระบวนการกรองเมมเบรนที่รูพุน  $1.2 \text{ } \mu\text{m}$  ก็ยังพบว่าค่าฟลักซ์จะลดลงอย่างรวดเร็วในช่วงระยะเวลา 10 นาทีแรกแสดงว่าสารแขวนลอยและคอลลอกอิคที่มีอนุภาคขนาดเล็กลงมาที่ไอล์ฟ์ผ่านเมมเบรนขนาดรูพุน  $5 \text{ } \mu\text{m}$  มีปริมาณมากทำให้การเกิดสะสมบนพื้นผิวน้ำของเมมเบรน ที่ระยะเวลาใกล้เคียงกัน จากนั้นนำน้ำผิวดินตัวอย่างที่กรองผ่านเมมเบรนขนาดรูพุน  $1.2 \text{ } \mu\text{m}$  แล้วนำกรองผ่านเยื่อแผ่นขนาด  $0.45 \text{ } \mu\text{m}$  พบว่าที่ความดัน  $172.32 \text{ kPa}$  จะเกิดอุดตันที่เมมเบรนช้ากว่าความดันที่  $137.86, 103.34$  และ  $68.93 \text{ kPa}$  ดังแสดงในภาพ 4.1 (ค) อันเป็นผลมาจากการดันที่เพิ่มขึ้น ซึ่งการเพิ่มแรงขันระหง่านผิวเยื่อแผ่นจะเป็นการเพิ่มการถ่ายเทmvะระหว่างผิวเยื่อแผ่นทำให้ค่าฟลักซ์ของเพอร์มิเอทธสูงขึ้น การนำบัดน้ำจากการดำเนินระบบผ่านกระบวนการกรองแบบอนุกรมโดยนำน้ำผิวดินตัวอย่างมาผ่านกระบวนการกรองผ่านเมมเบรนขนาดรูพุน  $5 \mu\text{m}, 1.2 \mu\text{m}$  และ  $0.45 \mu\text{m}$  ตามลำดับซึ่งผลจากการดำเนินระบบแสดงไว้ดังภาพที่ 4.2 แสดงค่าเพอร์มิเอทธฟลักซ์กับเวลาในการดำเนินระบบแบบอนุกรมที่ความดันต่างๆซึ่งจากการดำเนินระบบความดัน  $68.93 \text{ kPa}$  พบว่าน้ำผิวดินตัวอย่างกรองผ่านเมมเบรนขนาดรูพุน  $5 \text{ } \mu\text{m}$  ค่าเพอร์มิเอทธฟลักซ์เริ่มต้นเท่ากับ  $9.27 \text{ m}^3/\text{m}^2 \cdot \text{h}$  และเพอร์มิเอทธฟลักซ์เมื่อดำเนินระบบเป็นเวลา 60 นาที เท่ากับ  $0.17 \text{ m}^3/\text{m}^2 \cdot \text{h}$  จากนั้นนำน้ำเพอร์มิเอทนาดำเนินระบบผ่านกระบวนการกรองเมมเบรนขนาดรูพุน  $1.2 \mu\text{m}$  พบว่าค่าเพอร์-

มิเอกฟลักซ์เริ่มต้นเท่ากับ  $20.76 \text{ m}^3/\text{m}^2 \cdot \text{h}$  และเพอร์มิเอกฟลักซ์สุดท้ายเท่ากับ  $0.15 \text{ m}^3/\text{m}^2 \cdot \text{h}$  และนำน้ำเพอร์มิเอกที่ไปผ่านกระบวนการกรองเมมเบรนขนาดรูปrun  $0.45 \mu\text{m}$  ค่าเพอร์มิเอกฟลักซ์เริ่มต้นเท่ากับ  $7 \text{ m}^3/\text{m}^2 \cdot \text{h}$  และค่าเพอร์มิเอกฟลักซ์สุดท้ายเท่ากับ  $0.18 \text{ m}^3/\text{m}^2 \cdot \text{h}$  ดังภาพที่ 4.2 (ก) จากนั้นเพิ่มความดันในการดำเนินระบบการกรองสูงขึ้นเท่ากับ 103.34, 137.86 และ 172.32 kPa พบว่าค่าเพอร์มิเอกฟลักซ์มีแนวโน้มที่เพิ่มสูงขึ้น ซึ่งเป็นผลมาจากการเพิ่มความดันระหว่างผิวเมมเบรน จะเป็นการเพิ่มการถ่ายเทน้ำระหว่างผิวเมมเบรนทำให้ค่าเพอร์มิเอกฟลักซ์สูงขึ้นซึ่งสอดคล้องกับการศึกษาของ Jui-Fang (1996) ที่พบว่าความดันเพิ่มขึ้นมีผลทำให้อัตราการซึมผ่านเมมเบรนสูงขึ้น ดังภาพที่ 4.2 (ข-จ) ทั้งนี้ผลของขนาดรูปrun ที่มีต่อค่าฟลักซ์พบว่ารูปrunขนาด  $0.45 \mu\text{m}$  จะมีค่าฟลักซ์ต่ำกว่าเมมเบรนขนาด  $5 \mu\text{m}$  และ  $1.2 \mu\text{m}$  เนื่องจากในน้ำพิวดินมีอนุภาคของสารแขวนลอยและกออลลอยด์ ทั้งขนาดเด็กและขนาดใหญ่ปะปนกัน ไปซึ่งถ้านำเมมเบรนที่มีรูปrunขนาดเล็กมาดำเนินระบบการกรอง ก็จะเกิดการอุดตันได้ง่ายกว่า จึงทำให้ค่าฟลักซ์ต่ำกว่าเมมเบรนที่มีขนาดรูปrunใหญ่ได้



ภาพที่ 4.1 ค่าฟลักซ์กับเวลาในการดำเนินระบบแบบอนุกรมผ่านเมมเบรนขนาดรูพรุนต่างๆ

- (ก) เมมเบรนขนาดรูพรุน 5  $\mu\text{m}$
- (ง) เมมเบรนขนาดรูพรุน 1.2  $\mu\text{m}$
- (ค) เมมเบรนขนาดรูพรุน 0.45  $\mu\text{m}$ 
  - ◆ แทนความดัน 68.93 kPa
  - แทนความดัน 103.39 kPa
  - ▲ แทนความดัน 137.86 kPa
  - แทนความดัน 172.32 kPa



ภาพที่ 4.2 ค่าเพอร์เมอฟลักซ์กับเวลาในการดำเนินระบบแบบอนุกรรณ์ที่ความดันต่างๆ

(ก) ความดัน 68.93 kPa (ก') ความดัน 103.39 kPa

(ค) ความดัน 137.86 kPa (ค') ความดัน 172.32 kPa

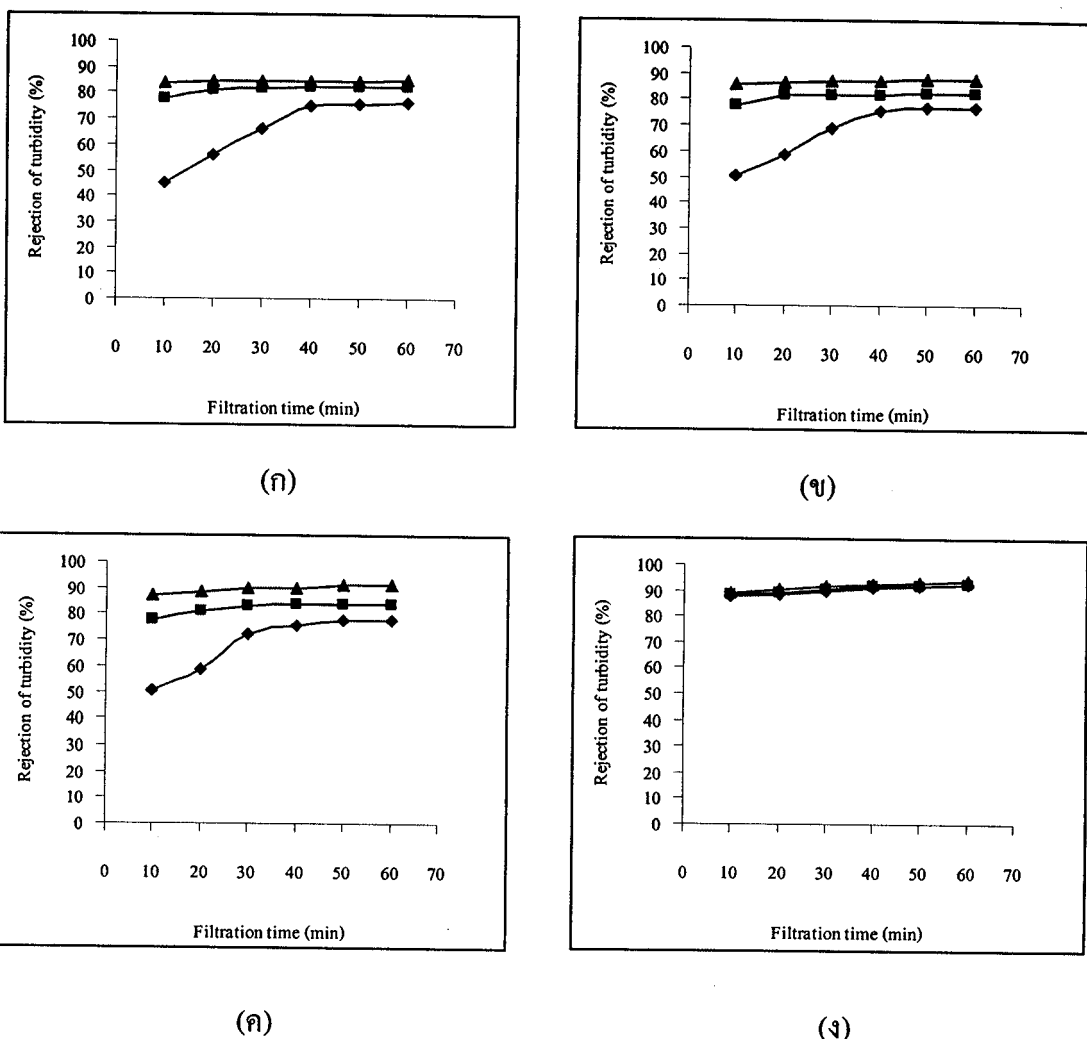
◆ แผ่นเมมเบรนขนาดรูปะน 5  $\mu\text{m}$

■ แผ่นเมมเบรนขนาดรูปะน 1.2  $\mu\text{m}$

▲ แผ่นเมมเบรนขนาดรูปะน 0.45  $\mu\text{m}$

จากการที่ 4.3 (ก) พบว่าการนำน้ำผิวดินที่มีความชุ่นเท่ากับ 4.85 NTU มาผ่านการค่านิรบบเป็นเวลา 60 นาที ผ่านเมมเบรนขนาดรูพรุน 5  $\mu\text{m}$ , 1.2  $\mu\text{m}$  และ 0.45  $\mu\text{m}$  ตามลำดับ ค่าความชุ่นลดลงมาที่ 1.164 NTU เมื่อกรองผ่านเมมเบรน ขนาดรูพรุน 5  $\mu\text{m}$ , 0.850 NTU เมื่อกรองผ่าน เมมเบรน ขนาดรูพรุน 1.2  $\mu\text{m}$  และ 0.742 NTU เมื่อกรองผ่านเมมเบรนขนาดรูพรุน 0.45 $\mu\text{m}$  (ผลแสดงในภาคพนวก ข, ข.1 , ข.2 และ ข.3) สามารถคำนวณเป็นค่าการกำจัดความชุ่นได้เท่ากับ ร้อยละ 84.70 เมื่อเปรียบเทียบกับความชุ่นเริ่มต้น จากนั้นเพิ่มแรงขับดันขึ้นเป็น 103.39 kPa พบว่า เมื่อค่านิรบบผ่านเมมเบรนขนาดรูพรุน 5  $\mu\text{m}$  เป็นเวลา 60 นาที ตรวจวัดค่าความชุ่นได้เท่ากับ 0.121 NTU และ 0.847, 0.582 NTU (ผลแสดงในภาคพนวก ข,ข.4, ข.5 และ ข.6) เมื่อค่านิรบบผ่านเมมเบรนขนาดรูพรุน 1.2 และ 0.45  $\mu\text{m}$  ตามลำดับ สามารถคำนวณเป็นค่าการกำจัดความชุ่นได้เท่ากับร้อยละ 88 เมื่อเปรียบเทียบกับความชุ่นเริ่มต้น ดังแสดงในภาพที่ 4.3 (ข) จากนั้นเพิ่มแรงขับดันขึ้นเป็น 137.86 kPa และ 172.32 kPa ใช้ระยะเวลาในการค่านิรบบท่ากับ 60 นาที พบว่า ประสิทธิภาพในการกำจัดความชุ่นของเมมเบรน MF ขนาดรูพรุน 0.45 $\mu\text{m}$  เท่ากับร้อยละ 91.11 (ผลแสดงในภาคพนวก ข.9) และร้อยละ 93.57 ตามลำดับ (ผลแสดงในภาคพนวก ข.12) ดังแสดงในภาพที่ 4.3 (ง)

จากผลดังกล่าวข้างต้นแสดงให้เห็นว่าเมมเบรนขนาดรูพรุน 5  $\mu\text{m}$  ได้กำจัดอนุภาคออกไปเป็นส่วนใหญ่ทำให้ค่าการกำจัดเมื่อค่านิรบบผ่านเมมเบรนขนาดรูพรุน 1.2  $\mu\text{m}$  และ 0.45  $\mu\text{m}$  มีอัตราเพิ่มสูงขึ้น ประกอบกับการเพิ่มแรงขับดันและระยะเวลาในระบบมากขึ้นพบว่าอัตราการกำจัดความชุ่นมีแนวโน้มเพิ่มสูงขึ้นทั้งนี้อาจเกิดจากแรงขับดันที่เพิ่มสูงขึ้นจะช่วยเร่งการอัดตัวของอนุภาคให้จับตัวกัน ประกอบกับการเพิ่มระยะเวลาในการค่านิรบบการกรองอนุภาคจะเกิดการสะสมที่บริเวณผิวน้ำแผ่นเมมเบรนและในรูพรุน ซึ่งสอดคล้องกับงานวิจัยของนลินี, ปฏิรูปและชาลิต (2545) พบว่ากระบวนการ MF สามารถกำจัดสารปนเปื้อนในน้ำดิบจากคลองประปาได้อย่างมีประสิทธิภาพ โดยสามารถกำจัดความชุ่นได้มากกว่าร้อยละ 90 กล่าวคือ สามารถกำจัดความชุ่นได้ค่อนข้างสมบูรณ์และอนุภาคเหล่านั้นจะติดค้างที่ผิวน้ำและในช่องของเมมเบรน



ภาพที่ 4.3 ประสิทธิภาพในการกำจัดความ浑浊จากการดำเนินระบบแบบอนุกรมที่ความดันต่างๆ

(ก) ความดัน 68.93 kPa (ก') ความดัน 103.39 kPa

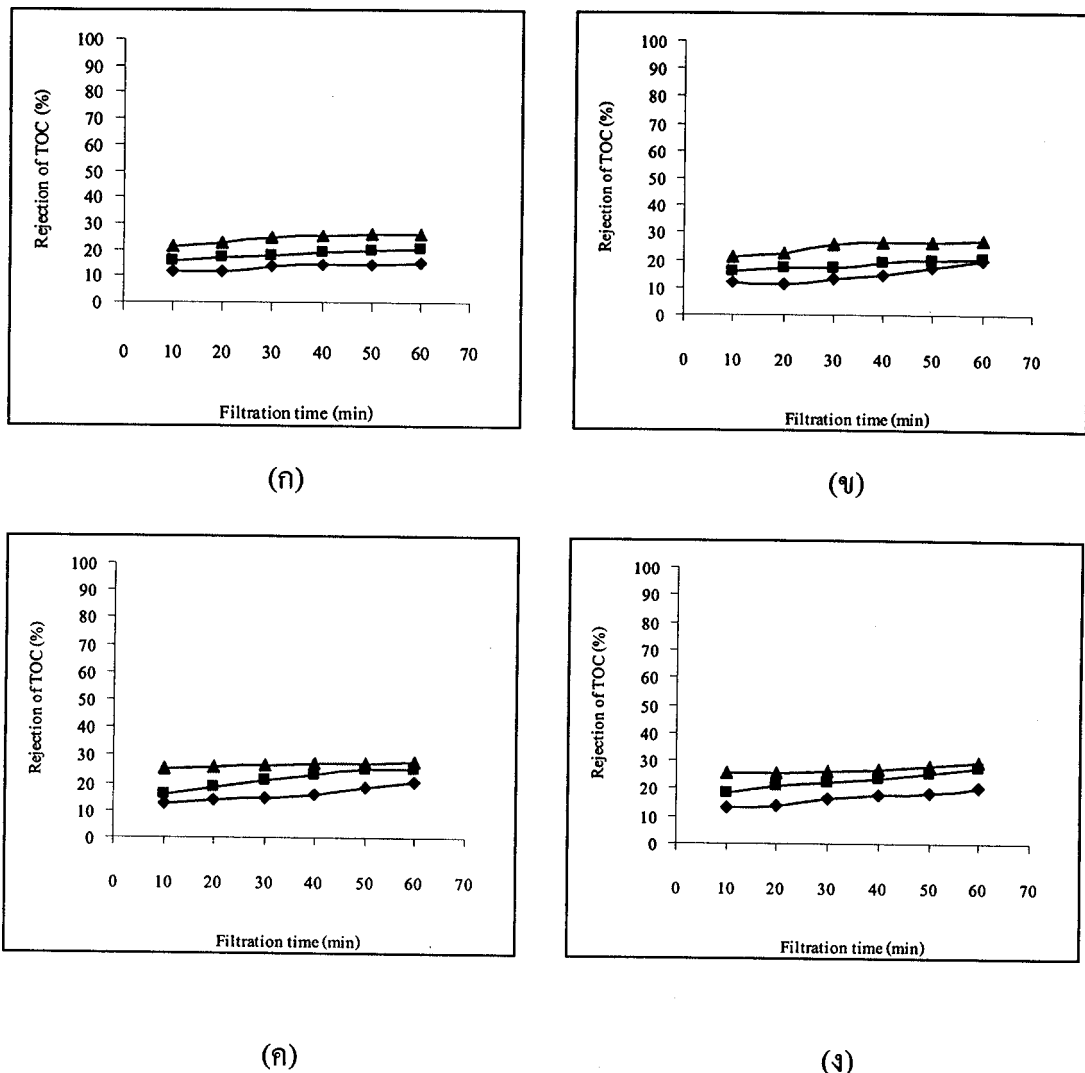
(ค) ความดัน 137.86 kPa (ง) ความดัน 172.32 kPa

◆ แทนเมมเบรนขนาดครูพรุน 5  $\mu\text{m}$

■ แทนเมมเบรนขนาดครูพรุน 1.2  $\mu\text{m}$

▲ แทนเมมเบรนขนาดครูพรุน 0.45  $\mu\text{m}$

การลดปริมาณสารอินทรีย์carbонทั้งหมดจากการดำเนินระบบผ่านกระบวนการกรอง MFแบบอนุกรม โดยนำน้ำผิวดินตัวอย่างมาผ่านกระบวนการกรองผ่านเมมเบรนขนาดรูพรุน  $5 \mu\text{m}$ ,  $1.2 \mu\text{m}$  และ  $0.45\mu\text{m}$  ตามลำดับ แล้วนำน้ำเพอร์มิเอทมาตรวจวัดปริมาณของสารอินทรีย์carbонทั้งหมดซึ่งผลจากการดำเนินระบบแสดงไว้ดังภาพที่ 4.4 และจากภาพที่ 4.4 (ก) แสดงประสิทธิภาพการกำจัดสารอินทรีย์จากการดำเนินระบบแบบ MF ที่ความดัน  $68.93 \text{ kPa}$  พบว่าจากการนำน้ำผิวดินที่มีปริมาณสารcarbонทั้งหมดของสารอินทรีย์เท่ากับ  $4.42 \text{ mg.L}^{-1}$  มาผ่านการดำเนินระบบเป็นระยะเวลา 60 นาที ผ่านเมมเบรน ขนาดรูพรุน  $5 \mu\text{m}$ ,  $1.2\mu\text{m}$  และ  $0.45\mu\text{m}$  ตามลำดับ ค่าปริมาณสารอินทรีย์carbонทั้งหมดลดลงมาที่  $3.76 \text{ mg.L}^{-1}$  เมื่อกรองผ่านเมมเบรน ขนาดรูพรุน  $5 \mu\text{m}$ ,  $3.52 \text{ mg.L}^{-1}$  เมื่อกรองผ่านเมมเบรน ขนาดรูพรุน  $1.2 \mu\text{m}$  และ  $3.27 \text{ mg.L}^{-1}$  เมื่อกรองผ่านเมมเบรน ขนาดรูพรุน  $0.45\mu\text{m}$  (ผลแสดงในภาคผนวก ข.1,ข.2,ข.3) สามารถคำนวณเป็นร้อยละต่อการกำจัดสารอินทรีย์ได้เท่ากับร้อยละ  $14.93$  เมื่อกรองผ่านเมมเบรน ขนาดรูพรุน  $5 \mu\text{m}$ ,  $9.01$  เมื่อกรองผ่านเมมเบรน ขนาดรูพรุน  $1.2\mu\text{m}$  และร้อยละ  $26.01$  เมื่อกรองผ่านเมมเบรน ขนาดรูพรุน  $0.45\mu\text{m}$  ตามลำดับ จากนั้นเพิ่มแรงขับดันขึ้นเป็น  $103.39 \text{ kPa}$  พบว่าเมื่อดำเนินระบบผ่านเมมเบรน ขนาดรูพรุน  $5 \mu\text{m}$  เป็นเวลา 60 นาที ตรวจพบปริมาณสารcarbонทั้งหมดของสารอินทรีย์ได้เท่ากับ  $19.91 \text{ mg.L}^{-1}$  และ  $3.52 \text{ mg.L}^{-1}$  และ  $3.24 \text{ mg.L}^{-1}$  (ผลแสดงในภาคผนวก ข,ข.4,ข.5 และ ข.6) เมื่อดำเนินระบบผ่านเมมเบรน ขนาดรูพรุน  $1.2\mu\text{m}$  และ  $0.45\mu\text{m}$  ตามลำดับ สามารถคำนวณเป็นร้อยละต่อการกำจัดสารอินทรีย์ทั้งหมดได้เท่ากับ  $9.01$  ร้อยละ  $26.69$  เมื่อเปรียบเทียบกับปริมาณcarbонทั้งหมดของสารอินทรีย์เริ่มต้น ดังแสดงในภาพที่ 4.4 (ข) แสดงประสิทธิภาพในการกำจัดcarbонทั้งหมดของสารอินทรีย์จากการดำเนินระบบแบบ MF ที่ความดัน  $103.39 \text{ kPa}$  จากนั้นเพิ่มแรงขับดันขึ้นเป็น  $137.80 \text{ kPa}$  และ  $172.32 \text{ kPa}$  ใช้ระยะเวลาในการดำเนินระบบ 60 นาที พนว่าประสิทธิภาพของเมมเบรนในการลดปริมาณสารcarbонทั้งหมดสารอินทรีย์เท่ากับร้อยละ  $27.82$  (ผลแสดงในภาคผนวก ข.9) และ  $9.01$  (ผลแสดงในภาคผนวก ข.12) ตามลำดับ ดังแสดงในภาพที่ 4.4 (ก) แสดงประสิทธิภาพในการกำจัดสารอินทรีย์จากการดำเนินระบบแบบ MF ที่ความดัน  $137.86 \text{ kPa}$  และแสดงในภาพที่ 4.4 (ง) แสดงประสิทธิภาพในการกำจัดสารอินทรีย์จากการดำเนินระบบการกรองแบบ MF ที่ความดัน  $172.32 \text{ kPa}$



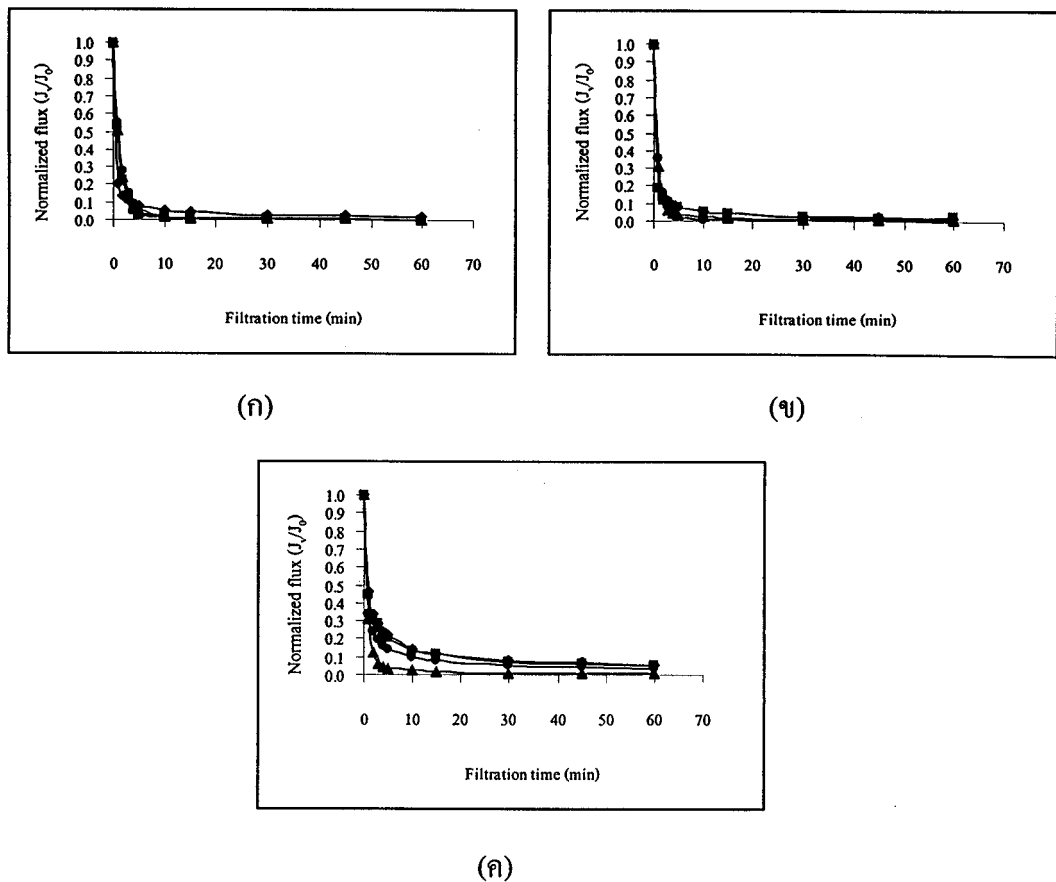
ภาพที่ 4.4 ประสิทธิภาพในการกำจัดสารอินทรีย์การรับน้ำทั้งหมดจากการดำเนินระบบแบบ MF ที่ความดันต่างๆ

- (ก) ความดัน 68.93 kPa (ข) ความดัน 103.39 kPa
- (ค) ความดัน 137.86 kPa (ง) ความดัน 172.32 kPa
- ◆ แท่นแม่เบรนขนาดรูพรุน 5  $\mu\text{m}$
- แท่นแม่เบรนขนาดรูพรุน 1.2  $\mu\text{m}$
- ▲ แท่นแม่เบรนขนาดรูพรุน 0.45  $\mu\text{m}$

จากผลประสิทธิภาพในการกำจัดสารอินทรีย์かるบอนทั้งหมดจากการดำเนินระบบแบบ MF แบบอนุกรม พบว่าการเพิ่มแรงขับดันสูงขึ้น อัตราการกำจัดมีแนวโน้มเพิ่มสูงขึ้น ซึ่งสอดคล้องกับงานวิจัยของ Schaefer et al., (2000) ที่ได้ทำการศึกษาถึงผลกระทบการอุดตันต่อการกำจัดในกระบวนการกรองด้วยเมมเบรนของเหลวน้ำธรรมชาติ พบว่าการอุดตันของสารอินทรีย์かるบอนทั้งหมดในเมมเบรน กระทบต่อพฤติกรรมการกำจัดของเมมเบรนเป็นอย่างมาก การลดลงของขนาดของรูพรุนจากการอุดตันภายใน และการสะสมในรูพรุนก็ทำให้ค่าการกำจัดเพิ่มขึ้น นอกจากนี้จากการเพิ่มแรงขับดัน

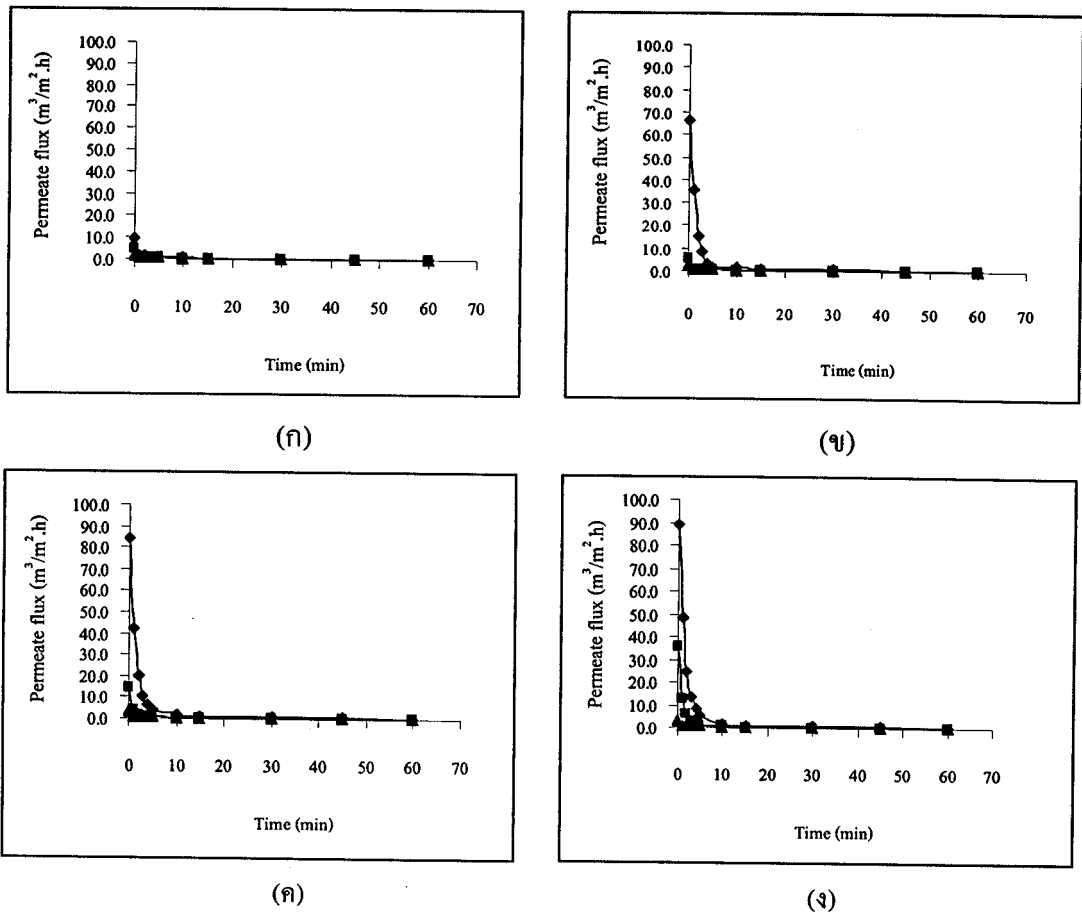
#### 4.2.2 ผลจากการดำเนินระบบแบบกะ

เมื่อนำน้ำผิวดินตัวอย่างมาผ่านกระบวนการกรองเมมเบรนแต่ละขนาดรูพรุนซึ่งเลือกใช้ขนาดรูพรุน  $5 \mu\text{m}$ ,  $1.2 \mu\text{m}$  และ  $0.45 \mu\text{m}$  พบว่าที่ทุกความดันค่าฟลักซ์จะมีลดลงอย่างรวดเร็วในช่วงเวลา 5 นาทีแรก โดยค่าฟลักซ์จะลดลงเหลือต่ำกว่า ร้อยละ 10 ของค่าฟลักซ์เริ่มต้นหลังจากนั้นค่าฟลักซ์ก็มีแนวโน้มลดลงอย่างต่อเนื่อง จนกระทั่งเวลาผ่านไป 30 นาที ค่าฟลักซ์จะลดลงต่ำมากเมื่อเปรียบเทียบกับค่าฟลักซ์เริ่มต้น ดังแสดงในภาพที่ 4.5 (ก) แสดงการดำเนินระบบแบบกะผ่านเมมเบรนขนาดรูพรุน  $5 \mu\text{m}$  และ ภาพที่ 4.5 (ข) แสดงผลการดำเนินระบบแบบผ่านเมมเบรนขนาดรูพรุน  $1.2 \mu\text{m}$  สาเหตุที่ทำให้ค่าฟลักซ์ของน้ำผิวดินตัวอย่างลดลงอย่างรวดเร็วนี้เนื่องจากมีการอุดตันของสารแขวนลอยและคอลลอกอิค ซึ่งมีอนุภาคขนาดใหญ่ที่บริเวณรูพรุนของเยื่อแผ่นเมมเบรนส่วนน้ำผิวดินที่นำมากรองผ่านกระบวนการเมมเบรน ขนาดรูพรุน  $0.45 \mu\text{m}$  ค่าฟลักซ์จะลดลงต่ำกว่าร้อยละ 10 เมื่อเวลาผ่านไปประมาณ 20 นาที หลังจากนั้นค่าฟลักซ์มีแนวโน้มลดลงอย่างอนุกรม จนกระทั่งเวลาในการดำเนินระบบผ่านไป 60 นาที ค่าฟลักซ์ลดลงต่ำมากเมื่อเปรียบเทียบกับค่าฟลักซ์เริ่มต้นและจากภาพที่ 4.6 แสดงค่าเพอร์มิเอทฟลักซ์กับเวลาในการดำเนินระบบแบบกะที่ความดันต่างๆ ซึ่งจากผลการดำเนินระบบความดัน  $68.93 \text{ kPa}$  พบว่าน้ำผิวดินตัวอย่างกรองผ่านเมมเบรนขนาดรูพรุน  $5 \mu\text{m}$  ค่าเพอร์มิเอทฟลักซ์เริ่มต้นเท่ากับ  $9.27 \text{ m}^3/\text{m}^2 \cdot \text{h}$  และเพอร์มิเอทฟลักซ์เมื่อดำเนินระบบเป็นเวลา 60 นาที เท่ากับ  $0.17 \text{ m}^3/\text{m}^2 \cdot \text{h}$  และเมื่อนำน้ำผิวดินมาดำเนินระบบผ่านเมมเบรนขนาดรูพรุน  $1.2 \mu\text{m}$  เพอร์มิเอทฟลักซ์เริ่มต้นเท่ากับ  $4.87 \text{ m}^3/\text{m}^2 \cdot \text{h}$  และค่าเพอร์มิเอทฟลักซ์สุดท้ายเท่ากับ  $0.094 \text{ m}^3/\text{m}^2 \cdot \text{h}$  ส่วนค่าเพอร์มิเอทฟลักซ์เริ่มต้นของน้ำผิวดิน เมื่อกรองผ่านเมมเบรนขนาดรูพรุน  $0.45 \mu\text{m}$  เท่ากับ  $1.84 \text{ m}^3/\text{m}^2 \cdot \text{h}$  และเพอร์มิเอทฟลักซ์สุดท้ายเท่ากับ  $0.11 \text{ m}^3/\text{m}^2 \cdot \text{h}$  ดังภาพที่ 4.6 (ก) จากนั้นเพิ่มความดันในการดำเนินระบบสูงขึ้นเท่ากับ 103.34, 137.86 และ  $172.32 \text{ kPa}$  พบว่าค่าเพอร์มิเอทฟลักซ์มีแนวโน้มที่เพิ่มสูงขึ้นดังภาพที่ 4.6 (ข-ง)



ภาพที่ 4.5 ผลการดำเนินระบบผ่าน MF แบบกะที่ความดันต่างๆ

- (ก) เมมเบรนขนาดรูพรุน  $5 \mu\text{m}$
- (ข) เมมเบรนขนาดรูพรุน  $1.2 \mu\text{m}$
- (ค) เมมเบรนขนาดรูพรุน  $0.45 \mu\text{m}$ 
  - ◆ แทนความดัน  $68.93 \text{ kPa}$
  - แทนความดัน  $103.39 \text{ kPa}$
  - ▲ แทนความดัน  $137.86 \text{ kPa}$
  - แทนความดัน  $172.32 \text{ kPa}$



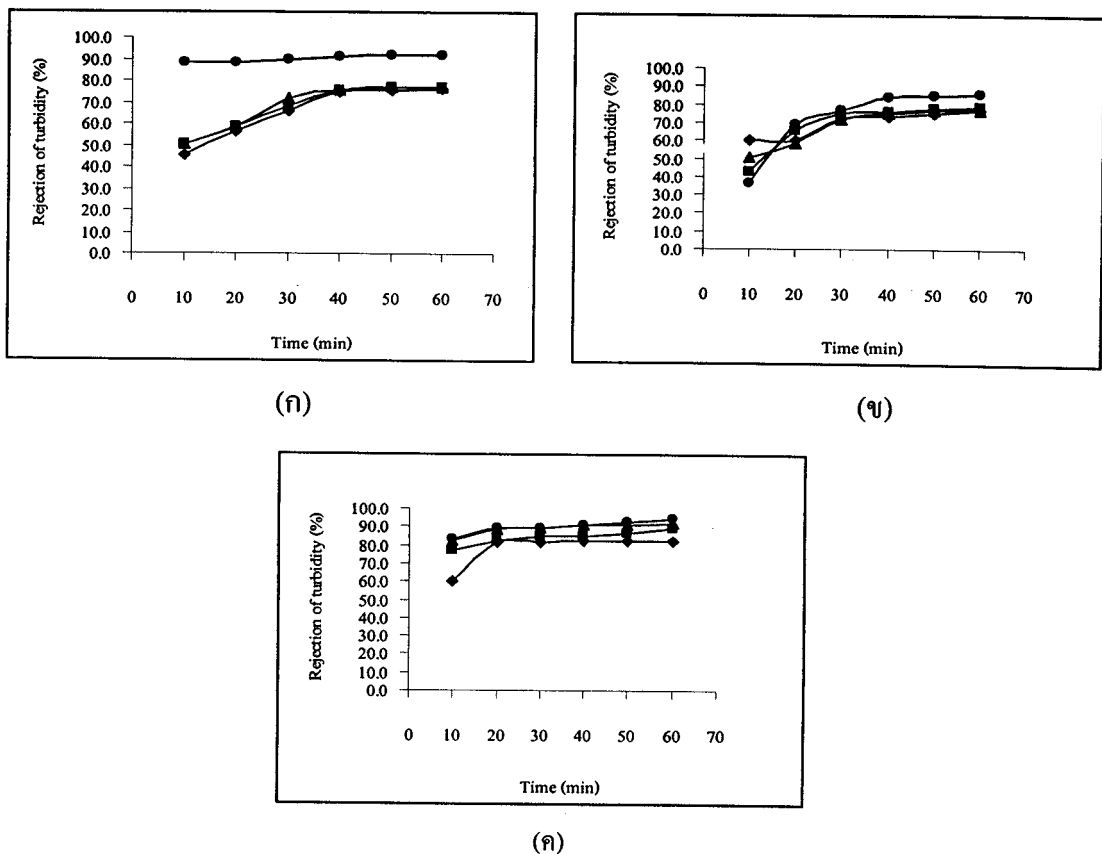
ภาพที่ 4.6 ค่าเพอร์เมอฟลักซ์กับเวลาในการดำเนินระบบแบบที่ความดันต่างๆ

(ก) ความดัน 68.93 kPa (ง) ความดัน 103.39 kPa

(ค) ความดัน 137.86 kPa (จ) ความดัน 172.32 kPa

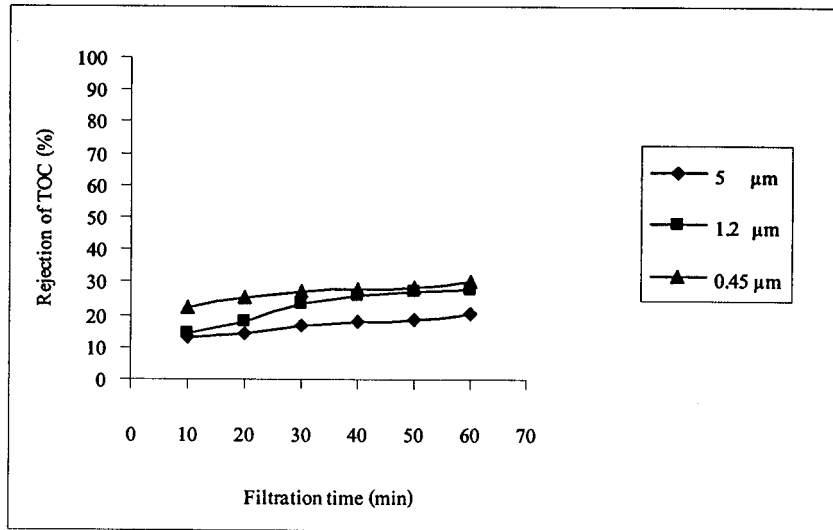
- ◆ แทนเมมเบรนขนาดครูพรุน  $5 \mu\text{m}$
- แทนเมมเบรนขนาดครูพรุน  $1.2 \mu\text{m}$
- ▲ แทนเมมเบรนขนาดครูพรุน  $0.45 \mu\text{m}$

จากการศึกษาการลดความชุ่นจากการคำนวณระบบผ่านกระบวนการกรองแบบโดยนำน้ำผิวดินตัวอย่างมาผ่านกระบวนการกรองผ่านแมมนเบรนแต่ละขนาดครูพรุน ซึ่งเลือกใช้มนเบรนขนาดครูพรุน  $5 \mu\text{m}$ ,  $1.2 \mu\text{m}$  และ  $0.45 \mu\text{m}$  โดยประสิทธิภาพของการคำนวณเป็นค่าการกำจัดจากสมการ 2.3 ในการศึกษาระบวนการกรองน้ำผิวดินผ่านมนเบรนขนาดครูพรุน  $5 \mu\text{m}$  ที่แรงดัน  $68.93 \text{ kPa}$ ,  $103.34 \text{ kPa}$ ,  $137.86 \text{ kPa}$  และ  $172.32 \text{ kPa}$  พบว่าที่ความดัน  $172.32 \text{ kPa}$  มีประสิทธิภาพในการกำจัดความชุ่นสูงสุด โดยมีค่ากำจัดความชุ่นเท่ากับร้อยละ  $92.12$  ซึ่งความชุ่นเริ่มต้นมีค่าเท่ากับ  $4.85 \text{ NTU}$  เมื่อคำนวณการผ่านมนเบรนดังกล่าวข้างต้นเป็นระยะเวลา  $60 \text{นาที}$  และนำน้ำตัวอย่างมาตรวจวัดค่าความชุ่น อ่านค่าได้เท่ากับ  $0.32 \text{ NTU}$  ส่วนที่ความดัน  $137.86 \text{ kPa}$ ,  $103.34 \text{ kPa}$  และ  $68.93 \text{ kPa}$  สามารถคำนวณเป็นร้อยละต่อการกำจัดความชุ่นได้เท่ากับร้อยละ  $77.3$  ร้อยละ  $77.13$  และร้อยละ  $76$  ตามลำดับ ดังภาพที่ 4.7 (ก) ในขณะที่การกรองน้ำผิวดินผ่านมนเบรนขนาดครูพรุน  $1.2 \mu\text{m}$  และ  $0.45 \mu\text{m}$  ดังแสดงในภาพ 4.7(ข) และ 4.7(ค) พบว่าที่แรงดัน  $172.32 \text{ kPa}$  ประสิทธิภาพในการกำจัดความชุ่นก็ยังสูงกว่าแรงดันที่ระดับ  $137.86 \text{ kPa}$ ,  $103.34 \text{ kPa}$  และ  $68.93 \text{ kPa}$  สามารถคำนวณเป็นค่าการกำจัดความชุ่นได้เท่ากับร้อยละ  $85.77$  และร้อยละ  $95$  ตามลำดับ ส่วนประสิทธิภาพในการกำจัดสารอินทรีย์คาร์บอนทั้งหมด จากการศึกษาพบว่าเมื่อคำนวณระบบผ่านกระบวนการกรองผ่านมนเบรนขนาดครูพรุน  $5 \mu\text{m}$ ,  $1.2 \mu\text{m}$  และ  $0.45 \mu\text{m}$  ซึ่งเลือกศึกษาที่สภาวะความดันในการคำนวณเท่ากับ  $172.32 \text{ kPa}$  เนื่องจากสภาวะดังกล่าวประสิทธิภาพในการกำจัดจะสูงสุด โดยค่าการกำจัดสารอินทรีย์คาร์บอนทั้งหมดเท่ากับร้อยละ  $20.36$  เมื่อคำนวณผ่านมนเบรนขนาดครูพรุน  $5 \mu\text{m}$  ส่วนมนเบรนขนาดครูพรุน  $1.2 \mu\text{m}$  และ  $0.45 \mu\text{m}$  มีค่าการกำจัดสารอินทรีย์คาร์บอนทั้งหมดเท่ากับร้อยละ  $27.80$  และ  $30.32$  ตามลำดับ ดังแสดงในภาพที่ 4.8



ภาพที่ 4.7 ประสิทธิภาพในการกำจัดความชุ่นจากการดำเนินระบบแบบผ่านเมมเบรน MF ขนาดต่างๆ

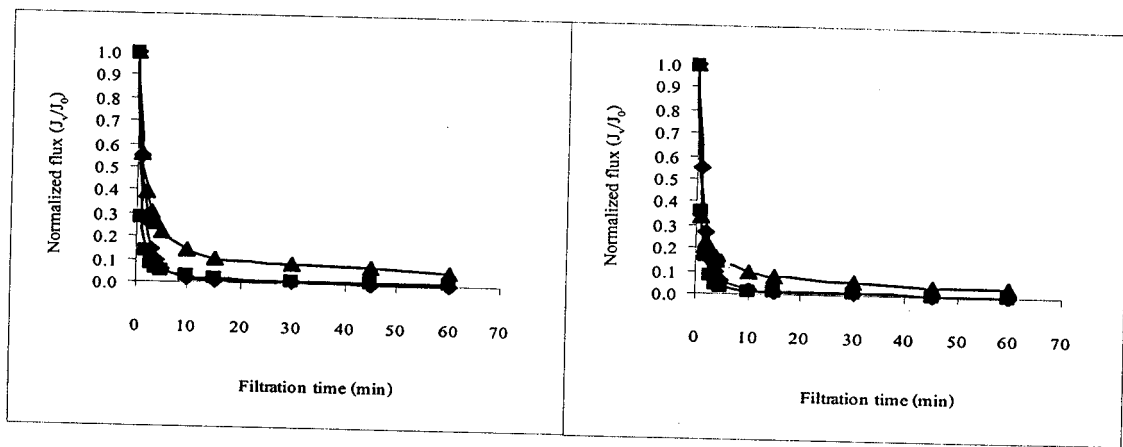
- (ก) เมมเบรนขนาดรูพรุน  $5 \mu\text{m}$
- (ข) เมมเบรนขนาดรูพรุน  $1.2 \mu\text{m}$
- (ค) เมมเบรนขนาดรูพรุน  $0.45 \mu\text{m}$ 
  - ◆ แทนความดัน  $68.93 \text{ kPa}$
  - แทนความดัน  $103.39 \text{ kPa}$
  - ▲ แทนความดัน  $137.86 \text{ kPa}$
  - แทนความดัน  $172.32 \text{ kPa}$



ภาพที่ 4.8 ประสิทธิภาพในการกำจัดสารอินทรีย์คาร์บอนทั้งหมดจากการดำเนินระบบแบบ M ผ่านกระบวนการกรองแบบกะที่ความดัน 172.32 kPa

เมื่อนำผลจากการศึกษาในการดำเนินระบบการกรองแบบอนุกรมและแบบกะมาเปรียบเทียบผลการดำเนินระบบ โดยเปรียบเทียบที่สภาวะแรงที่ขับดัน 172.32 kPa เนื่องจากที่สภาวะดังกล่าว ค่าเพอร์เมตอฟลักซ์ค่าการกำจัดของความชื้นและสารอินทรีย์คาร์บอนทั้งหมดมีค่าสูง ซึ่งจากการศึกษาพบว่า ค่าฟลักซ์จากการดำเนินระบบแบบเมื่อกรองน้ำผิวดินตัวอย่างผ่าน เมมเบรน ขนาดรูปะนุ 5  $\mu\text{m}$  เมื่อเวลาผ่านไปประมาณ 10 นาที ค่าฟลักซ์ลดลงมากกว่าร้อยละ 99 เมื่อเปรียบเทียบกับค่าฟลักซ์เริ่มต้น และเมื่อนำน้ำผิวดินมากรองผ่านเมมเบรน ขนาดรูปะนุ 1.2  $\mu\text{m}$  ซึ่งเมื่อเวลาผ่านไป 10 นาที ค่าฟลักซ์ก็จะลดลงมากกว่าร้อยละ 99 เช่นกัน ส่วนเมมเบรนขนาดรูปะนุ 0.45  $\mu\text{m}$  ค่าฟลักซ์จะเริ่มลดลงต่ำกว่าร้อยละ 10 ของฟลักซ์เริ่มต้นเมื่อเวลาผ่านไปประมาณ 10 นาที จากนั้นค่าฟลักซ์มีแนวโน้มลดลงอย่างช้าๆ จนกระทั่งเวลาผ่านไปประมาณ 60 นาที ค่าฟลักซ์จะลดลงมากกว่าร้อยละ 99 ดังภาพที่ 4.9 ส่วนค่าการกำจัดความชื้นและสารอินทรีย์คาร์บอนทั้งหมดแบบกะจากภาพที่ 4.7 และภาพที่ 4.8 พบว่าการดำเนินระบบแบบมีค่าการกำจัดความชื้นเท่ากับร้อยละ 95 และค่าการกำจัดสารอินทรีย์คาร์บอนทั้งหมดเท่ากับร้อยละ 30 เมื่อเปรียบเทียบกับน้ำผิวดินเริ่มต้น จากการดำเนินระบบการกรองแบบอนุกรม เมื่อกรองน้ำผิวดินตัวอย่างผ่านเมมเบรน ขนาดรูปะนุ 5  $\mu\text{m}$  ค่าฟลักซ์จากการดำเนินระบบจะมีค่าใกล้เคียงกับการดำเนินระบบแบบกะ จากนั้นนำน้ำตัวอย่างจากการกรองผ่านเมมเบรนขนาดรูปะนุ 5  $\mu\text{m}$  มากรองผ่านเมมเบรนขนาดรูปะนุ 1.2  $\mu\text{m}$  ค่าฟลักซ์จะลดลงมากกว่าร้อยละ 99 เมื่อเวลาผ่านไปประมาณ 15 นาที จากนั้นนำน้ำตัวอย่างมาดำเนินระบบผ่านเมมเบรนขนาดรูปะนุ 0.45  $\mu\text{m}$  ค่าฟลักซ์จะเริ่มลดลงต่ำกว่าร้อยละ 10 เมื่อเวลาผ่านไปประมาณ 30 นาที และมีแนวโน้มลดลงอย่างต่อเนื่อง ส่วนค่าการกำจัดความชื้นเมื่อดำเนินระบบแบบอนุกรมที่ความดัน 172.32 kPa. พบร่วมกับการกำจัดมากกว่าร้อยละ 80 เมื่อ

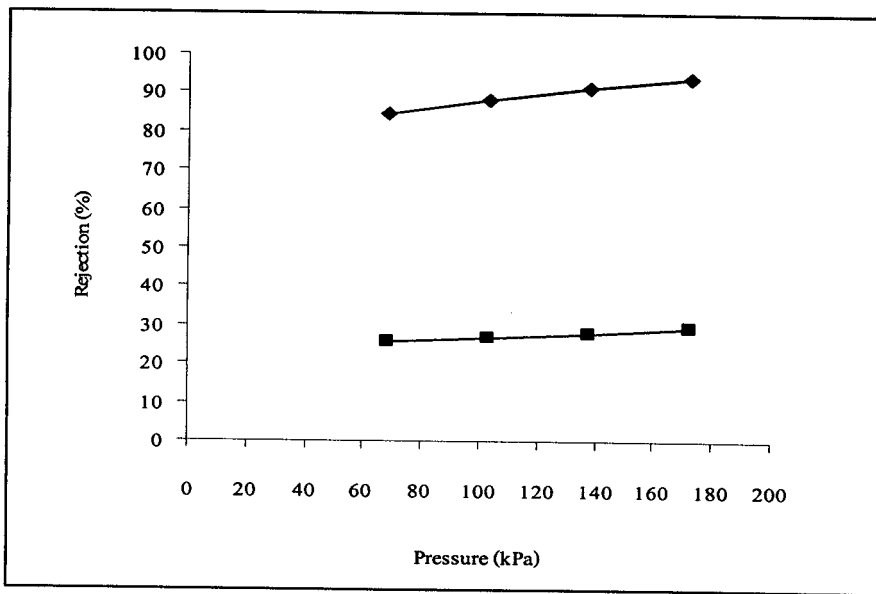
ดำเนินระบบการกรองผ่านเมมเบรนขนาดรูพรุน  $5 \mu\text{m}$  และ  $1.2\mu\text{m}$  เมื่อนำมาตัวอย่างไปกรองผ่านเมมเบรนขนาด รูพรุน  $0.45 \mu\text{m}$  พบว่าสามารถกำจัดความชื้นออกจากน้ำผิวดินได้ถึงร้อยละ 93 เมื่อเปรียบเทียบกับน้ำผิวดินเริ่มต้น ดังแสดงในภาพที่ 4.2 (ก-ก) ส่วนประสิทธิภาพในการกำจัดสารอินทรีย์คาร์บอนทั้งหมด เมื่อดำเนินระบบการกรองแบบอนุกรมที่ความดัน  $172.32 \text{ kPa}$  พบว่าสามารถกำจัดสารอินทรีย์คาร์บอนทั้งหมดของจากน้ำผิวดินได้ร้อยละ 29 ซึ่งจากการศึกษาแสดงให้เห็นว่าประสิทธิภาพของการกำจัดแบบจะใกล้เคียงกับแบบอนุกรมและค่าฟลักซ์จากการดำเนินระบบการกรองแบบจะลดลงเร็วกว่าการดำเนินระบบแบบอนุกรมอันเนื่องมาจากการของสารแขวนลอยและคอลloidที่อนุภาคใหญ่กว่าหรือเท่ากับขนาดรูพรุนจะตกค้างบนเยื่อแผ่นเมมเบรนหรือผ่านเข้าไปค้างในเมมเบรนอาจส่งผลทำให้ขนาดรูพรุนของเยื่อแผ่นเริ่มเลิกลงและที่ผิวเยื่อแผ่นเกิดเริ่มมีการสะสมของอนุภาคที่มีขนาดใหญ่กว่าขนาดรูพรุนและตัวถูกละลายอื่นๆที่ไม่สามารถผ่านรูพรุนไปได้ ประกอบกับการเพิ่มแรงขัดดันจะทำให้เกิดการอุดตัวของชั้นตัวถูกละลายที่ผิวของเยื่อแผ่นและภายในรูพรุนให้แน่นมากขึ้นขนาดรูพรุนก็จะยิ่งมีขนาดเล็กลงสารละลายจึงผ่านไปได้น้อยลงนอกจากนี้ยังพบว่าเมมเบรนที่มีรูพรุนขนาดใหญ่มีอัตราการอุดตันมากกว่าเมมเบรนที่มีรูพรุนขนาดเล็ก Paudel (1991) ดังภาพที่ 4.9 และภาพที่ 4.10



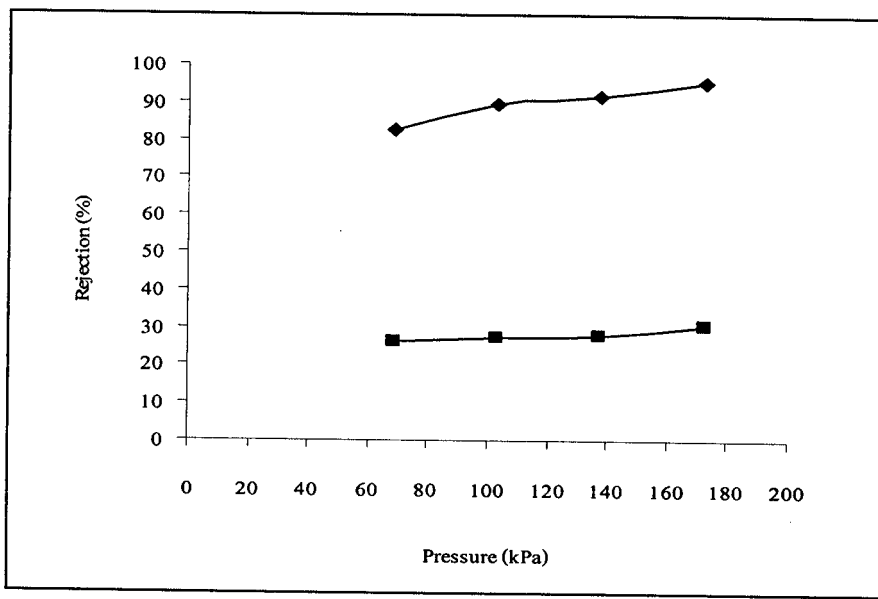
ภาพที่ 4.9 ค่าฟลักซ์กับเวลาในการดำเนินระบบผ่านเมมเบรนขนาดต่างๆ ที่ความดัน  $172.32 \text{ kPa}$

(ก) แสดง การดำเนินระบบแบบอนุกรม      (ข) แสดงการดำเนินระบบแบบจะ

- ◆ แทนเมมเบรนขนาดรูพรุน  $5 \mu\text{m}$
- แทนเมมเบรนขนาดรูพรุน  $1.2 \mu\text{m}$
- ▲ แทนเมมเบรนขนาดรูพรุน  $0.45 \mu\text{m}$



(η)



(ψ)

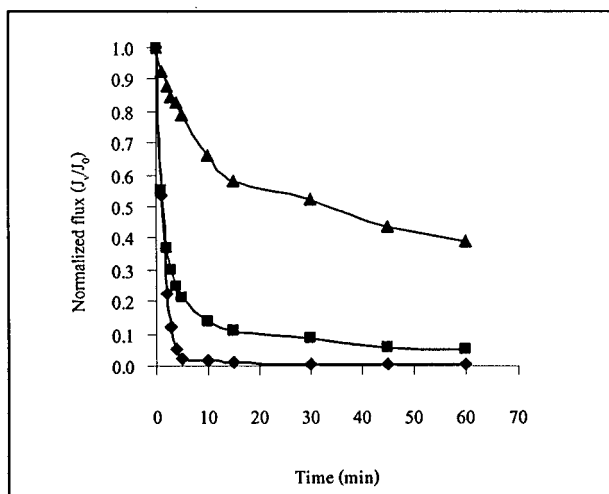
ภาพที่ 4.10 ประสิทธิภาพในการกำจัดความชื้นและสารอินทรีย์carbонทั้งหมดของระบบMF

(ก) ดำเนินระบบแบบอนุกรม (ข) ดำเนินระบบแบบคง

- ◆ แทนความชื้น
- แทนสารอินทรีย์carbонทั้งหมด

#### 4.2.3 ผลเปรียบเทียบจากการดำเนินระบบแบบอนุกรมของน้ำผิวดินตัวอย่างและน้ำสังเคราะห์ความชื้น

จากการศึกษาถึงประสิทธิภาพของกระบวนการกรองเมมเบรนแบบไมโครฟิลเตอร์ในการดำเนินระบบการกรองจากน้ำสังเคราะห์ที่มีส่วนผสมของสารสร้างความชื้นเคลิน (kaolin) ให้มีความชื้นเท่ากับน้ำผิวดิน แล้วนำมาดำเนินระบบการไหลตามแนวคิ่งในการเปรียบเทียบครั้งนี้ จะเปรียบเทียบที่สภาวะแรงขับดัน 172.32 kPa ซึ่งจากผลการศึกษาการกรองน้ำสังเคราะห์ความชื้นพบว่า เมื่อดำเนินระบบการกรองผ่านเมมเบรนขนาดครูพรุน 5  $\mu\text{m}$  และ 1.2  $\mu\text{m}$  เมื่อเวลาผ่านไป 30 นาที ค่า พลักซ์จะลดลงต่ำกว่าร้อยละ 10 ของพลักซ์เริ่มต้น จากนั้นค่าพลักซ์มีแนวโน้มลดลงอย่างต่อเนื่องจากนั้นนำตัวอย่างสังเคราะห์มาดำเนินระบบผ่านเมมเบรนขนาดครูพรุน 0.45  $\mu\text{m}$  ค่า พลักซ์จะลดลงต่ำกว่าร้อยละ 50 ของพลักซ์เริ่มต้นเมื่อเวลาผ่านไป 40 นาที ดังภาพที่ 4.11 และเมื่อ拿来ผลมาเปรียบเทียบกับผลการดำเนินระบบของน้ำผิวดินตัวอย่างจากภาพที่ 4.9 พบว่าน้ำสังเคราะห์ความชื้นเกิดการอุดตันบนแผ่นเมมเบรนช้ากว่าน้ำผิวดินทั้งนี้เกิดจากในน้ำผิวดินมีสิ่งต่างๆปะปนอยู่ เช่นสารอินทรีย์ธรรมชาติและกรดต่างๆเป็นต้น โดยสังเกตได้จากค่าพลักซ์ซึ่งค่าพลักซ์ของน้ำสังเคราะห์ความชื้นมีดำเนินระบบผ่านเมมเบรนขนาดครูพรุน 0.45  $\mu\text{m}$  จะมีค่าคงข้างสูงเนื่องจากเมมเบรนขนาดครูพรุน 5  $\mu\text{m}$  และ 1.2  $\mu\text{m}$  ได้กำจัดสารสร้างความชื้นเคลินออกจากสารละลายได้มากกว่าร้อยละ 90



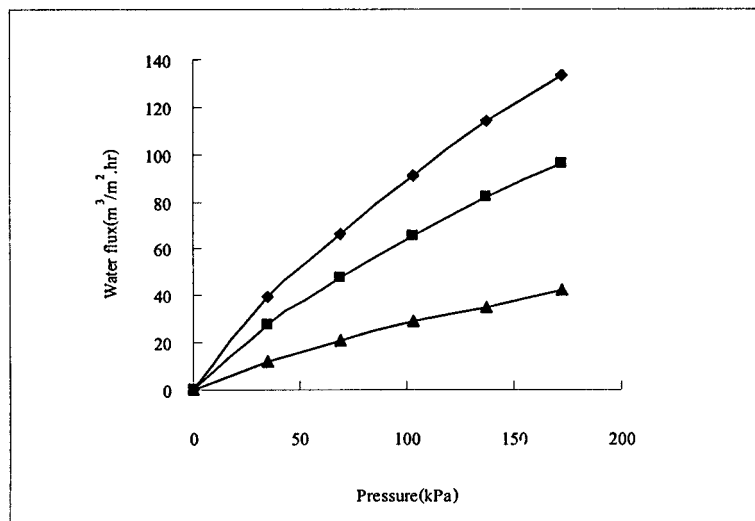
ภาพที่ 4.11 ประสิทธิภาพการดำเนินระบบแบบอนุกรมผ่านกระบวนการกรองแบบ MF ของน้ำสังเคราะห์ความชื้น ที่ความดัน 172.32 kPa

- ◆ แทนเมมเบรนขนาดครูพรุน 5  $\mu\text{m}$
- แทนเมมเบรนขนาดครูพรุน 1.2  $\mu\text{m}$
- ▲ แทนเมมเบรนขนาดครูพรุน 0.45  $\mu\text{m}$

#### 4.2.4 ผลจากการทำความสะอาดเมมเบรนหลังจากการดำเนินระบบการกรองแบบในโครงสร้างชั้น

การนำเมมเบรนไปใช้งานในการแยกสารละลายน้ำที่เป็นของเหลว ถึงแม้ว่ามีการนำบัดสารละลายน้ำที่มีการแยกออกแบบโมดูลของเมมเบรน ตลอดจนมีการเลือกสภาวะดำเนินระบบที่ทำให้ลดการเกิด Concentration polarization ก็ยังพบว่ามีการเกิดการอุดตัน เป็นผลทำให้ค่าฟลักซ์สารละลายน้ำในการดำเนินระบบลดต่ำลง ดังนั้นเพื่อเป็นการเพิ่มค่าฟลักซ์สารละลายน้ำให้กับระบบ ตลอดจนยืดอายุการใช้งาน จึงมีความจำเป็นต้องทำการเพิ่มความสะอาดเมมเบรนด้วยวิธีที่เหมาะสมเป็นระยะๆ เพื่อให้เมมเบรนมีสภาพใกล้เคียงเขื่อนแห่นใหม่มากที่สุด ซึ่งการทำความสะอาดเมมเบรนสามารถแบ่งออกเป็น 2 วิธีหลักได้แก่ วิธีเคมี และวิธี物理 ซึ่งการทำความสะอาดวิธีเคมีเป็นการเปลี่ยนแปลง สภาวะการทำงานเป็นหลัก เพื่อกำจัดอนุภาคที่อยู่บนผิว เมมเบรนให้หลุดไปกับสารละลายน้ำ แต่ก็ลดการอุดตันได้ระดับหนึ่งเท่านั้น ส่วนการทำความสะอาดแบบวิธี物理เป็นการทำความสะอาดที่ใช้การเปลี่ยนแปลง ทางกายภาพ ทำให้สารอุดตันพองตัว หดตัวละลายเกิดการหลุดออก ส่วนสารเคมีที่ใช้ในการทำความสะอาดเมมเบรนแบ่งออกเป็น 2 ชนิด คือ สารทำความสะอาดที่มีสภาพเป็นกรด ซึ่งสารทำความสะอาดที่มีสภาพเป็นกรดจะทำความสะอาดข้าพกกรดจะทำความสะอาดตะกอนที่เป็นสารอินทรีย์ได้ดี และสารทำความสะอาดที่มีสภาพเป็นเบส โดยสารทำความสะอาดที่มีสภาพเป็นเบส ซึ่งจะทำความสะอาดตะกอนที่เป็นสารอินทรีย์ได้ดี (Lindau, J. and Jonsson, A-S., 1993) ดังนั้นการทำความสะอาดให้มีประสิทธิภาพ จึงจำเป็นต้องทำความสะอาดด้วยสารทำความสะอาดที่มีสภาพทั้งกรดและเบส การคำนวณหาค่าความต้านทานของเมมเบรนอันนี้องมาจากระบบ สามารถคำนวณได้จากสมการที่ 2.9

ค่าความต้านทานเริ่มต้นของเมมเบรนในโครงสร้างชั้น จากการดำเนินระบบสามารถหาได้จากการดำเนินระบบด้วยน้ำปราศจากไออกอน จากการศึกษาพบว่าค่าแรงดันและปริมาณของน้ำปราศจากไออกอนผ่านเมมเบรนได้ ความสัมพันธ์ดังแสดงในภาพที่ 4.12 จะเห็นได้ว่า ค่า ฟลักซ์และปริมาณตามความดันผ่านเมมเบรน และค่าความต้านทานเริ่มต้นของเมมเบรนขนาดรูพรุน  $5 \mu\text{m}$  มีค่าเท่ากับ  $5.38 \times 10^9 \text{ m}^{-1}$  ที่อุณหภูมิ  $26.2$  องศาเซลเซียส ส่วนเมมเบรนขนาดรูพรุน  $1.2 \mu\text{m}$  และ  $0.45 \mu\text{m}$  มีความต้านทานเริ่มต้นเท่ากับ  $7.46 \times 10^9 \text{ m}^{-1}$  และ  $1.71 \times 10^{10} \text{ m}^{-1}$  ตามลำดับ ค่าความต้านทานเมมเบรนจะมีคุณลักษณะเฉพาะของเขื่อนแห่นแต่ละชนิดทั้งนี้ขึ้นอยู่กับชนิดของเขื่อนแห่น ความหนาแน่นของรูพรุน ขนาดรูพรุนและความหนาของเขื่อนแห่น



ภาพที่ 4.12 ผลของความดันต่อค่าฟลักซ์ของระบบเมมเบรนไมโครพิลเตอร์ชั้นแต่ละขั้นตอนค่าครูพูน

- ◆ แทนเมมเบรนขนาดครูพูน 5  $\mu\text{m}$
- แทนเมมเบรนขนาดครูพูน 1.2  $\mu\text{m}$
- ▲ แทนเมมเบรนขนาดครูพูน 0.45  $\mu\text{m}$

การนำแผ่นเมมเบรนมาทำความสะอาดภายหลังจากการดำเนินระบบผ่านน้ำผิวดินด้วยวิธีกายภาพและวิธีเคมี เพื่อให้แผ่นเมมเบรนมีประสิทธิภาพการซึมผ่านของน้ำมีสภาพใกล้เคียงกับแผ่นเมมเบรนใหม่มากที่สุด จากการทดลองใช้วิธีทำความสะอาดเมมเบรนด้วย water cleaning ด้วยสารละลายน้ำสะอาด ได้แก่ น้ำประปาจากไอก้อน สำหรับวิธีกายภาพ ส่วนวิธีเคมี จะใช้สารละลายน้ำสีขาวเป็นกรด โดยมีส่วนผสมของ Hydrochloric acid (Zhang, G. and Liu, Z., 1996) ที่มีพีเอชเท่ากับ 4 และสารละลายน้ำสีขาวเป็นベース โดยมีส่วนผสมของ Sodium hydroxide ที่มีพีเอชเท่ากับ 10 จากผลการทดลองพบว่าที่ความดัน 172.33 kPa ค่า Water flux of new membrane สำหรับเมมเบรนขนาดครูพูน 5  $\mu\text{m}$  มีค่าฟลักซ์เท่ากับ  $133282 \text{ L.m}^{-2} \cdot \text{h}^{-1}$  ส่วนเมมเบรนขนาดครูพูน 1.2  $\mu\text{m}$  และ 0.45  $\mu\text{m}$  มีค่าฟลักซ์เท่ากับ  $96120 \text{ L.m}^{-2} \cdot \text{h}^{-1}$  และ  $42143 \text{ L.m}^{-2} \cdot \text{h}^{-1}$  ตามลำดับและจากการศึกษาขึ้นพบว่าการทำความสะอาดเมมเบรนด้วยวิธีเคมีจะมีประสิทธิภาพการซึมผ่านของน้ำสูงกว่าวิธีกายภาพ (พินิตา ศรีกิตติพงษ์ และคณะ, 2545) water flux หลังการทำความสะอาดเมมเบรนจะเพิ่มขึ้นเล็กน้อยย้อนเป็นผลมาจากการสะสมอนุภาคของสารแขวนลอย คอลลอยด์บริเวณผิวน้ำเมมเบรนเป็นจำนวนมาก ผลแสดงดังตารางที่ 4.2, 4.3 และภาพที่ 4.13, 4.14

**ตารางที่ 4.2 การเปรียบเทียบค่าการซึมผ่านของเมมเบรนหลังการทำความสะอาดเมมเบรน  
แบบ Water cleaning และ Chemical ของน้ำผิวดินเมื่อผ่านการคำนีนระบบ  
แบบอนุกรม ที่ความดัน 172.33 kPa**

ขนาดรูพรุนของเมมเบรน μm	$\frac{L_{Pn}}{L_{Po}}$	$\frac{L_{Pc}}{L_{Po}}$
5 μm	0.008	0.013
1.2 μm	0.005	0.022
0.45 μm	0.013	0.018

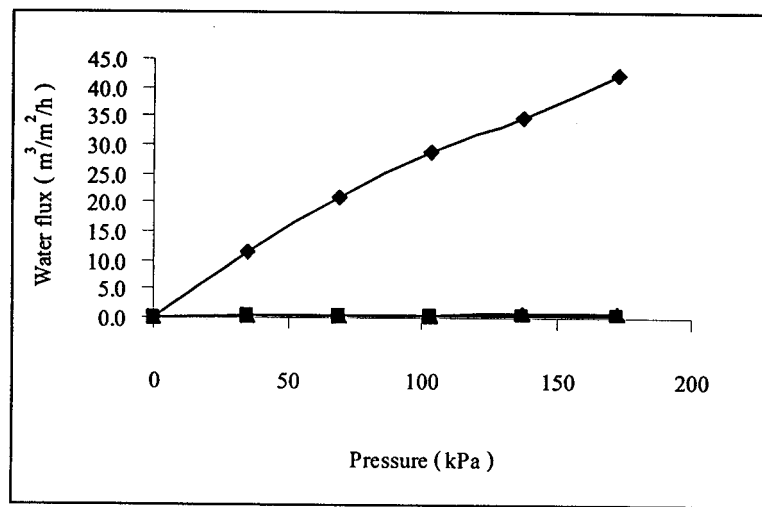
**ตารางที่ 4.3 การเปรียบเทียบร้อยละค่าการซึมผ่านของเมมเบรนหลังการทำความสะอาดเมมเบรน  
แบบ Water cleaning และ Chemical ของน้ำผิวดินเมื่อผ่านการคำนีนระบบ  
แบบ กะ ที่ความดัน 172.33 kPa**

ขนาดรูพรุนของเมมเบรน μm	$\frac{L_{Pn}}{L_{Po}}$	$\frac{L_{Pc}}{L_{Po}}$
5 μm	0.008	0.013
1.2 μm	0.005	0.050
0.45 μm	0.011	0.023

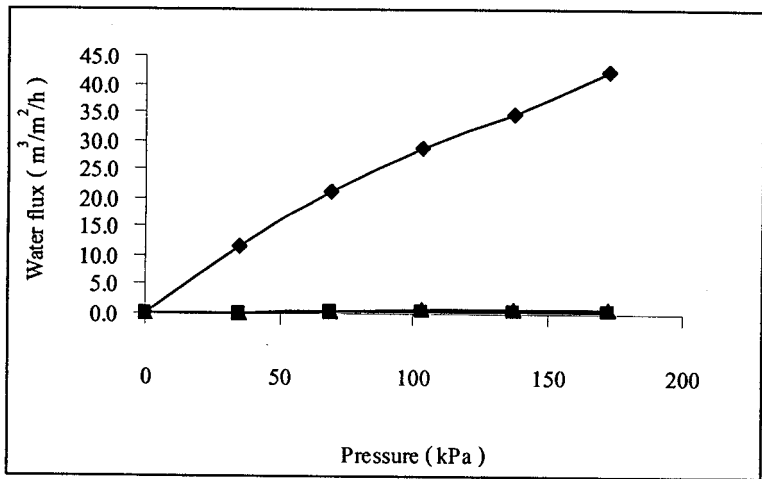
$L_{Po}$  คือ การซึมผ่านของเมมเบรนก่อนคำนีนระบบด้วยน้ำผิวดิน ( $L \cdot m^{-2} \cdot h^{-1}$ )

$L_{Pn}$  คือ ค่าการซึมผ่านของเมมเบรนหลังการทำความสะอาดแบบ Water cleaning ( $L \cdot m^{-2} \cdot h^{-1}$ )

$L_{Pc}$  คือ ค่าการซึมผ่านของเมมเบรนหลังการทำความสะอาดแบบ Chemical ( $L \cdot m^{-2} \cdot h^{-1}$ )



(ก)



(ง)

ภาพที่ 4.13 ความสัมพันธ์ระหว่างเพอร์มิเอทธลักซ์กับความดันของเมมเบรนขนาดพุ่น 0.45  $\mu\text{m}$

(ก) คำเนินระบบแบบอนุกรม

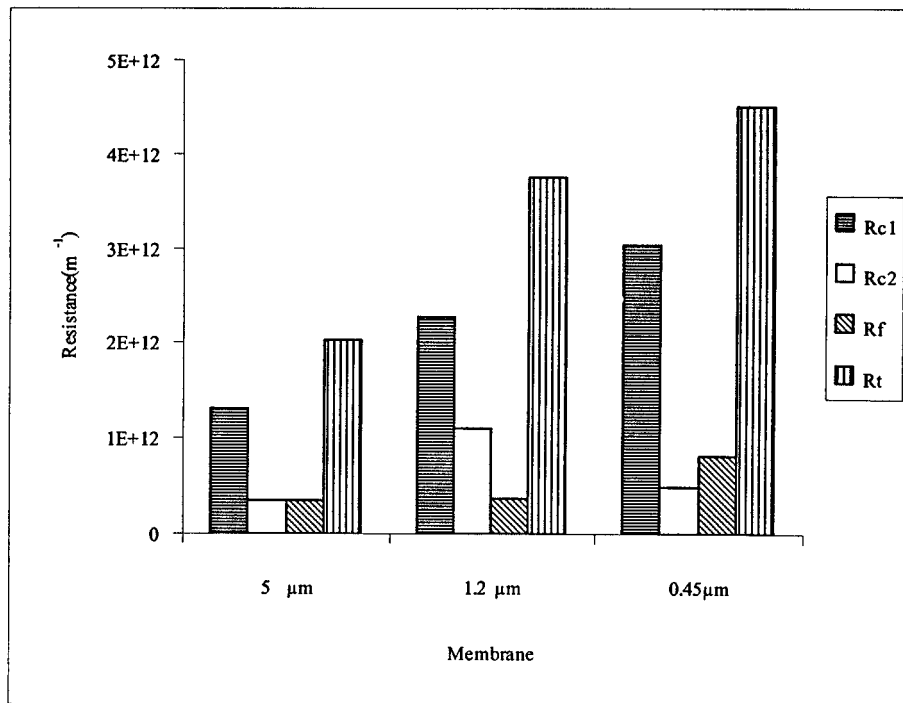
(ง) คำเนินระบบแบบกะ

◆ after compaction

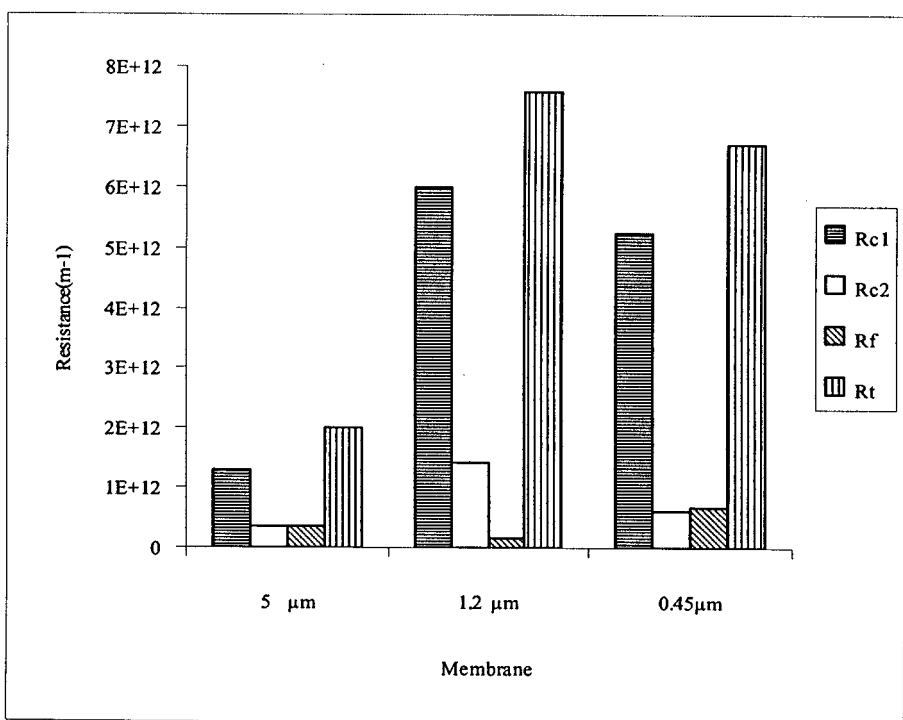
■ after water cleaning

▲ after chemical cleaning

การคำนวณหาค่าความด้านท่านของการอุดตันแบบอนุกรม สำหรับการคำนีนระบบ  
น้ำผิวดินแบบอนุกรมและแบบกะ แสดงผลไว้ ดังตารางที่ ก.2 แสดงผลค่าความด้านท่าน สำหรับ  
การคำนีนระบบน้ำผิวดินแบบอนุกรม พ布ว่า เมมเบรนขนาดรูปุน  $0.45 \mu\text{m}$  มีค่าความด้านท่านของ  
การอุดตันหลังจากการล้างด้วยน้ำประจุจากไอโอดิน ( $R_{c_1}$ ) โดยเป็นความด้านท่านที่อาจเกิดจากชั้น  
เด็กที่สูง ซึ่งเกิดจากอนุภาคของสารแ徊วนโดย คอลลอยด์ตลอดจนสารอินทรีย์คาร์บอนทั้งหมดที่มี  
ขนาดของอนุภาคใหญ่กว่าหรือเท่ากับขนาดรูปุนของเมมเบรน จึงเกิดการสะสมตัวในรูปุน หรือ  
เคลือบติดแน่นบริเวณผิวน้ำในลักษณะการเกิดเจลซึ่งความด้านท่านที่เกิดจากชั้นเด็ก มีความสำคัญ  
และมีอิทธิพลต่อการเกิดการอุดตันบนเยื่อเมมเบรนไมโครฟิลเตอร์ชั้นอย่างมากและความด้านที่  
เกิดขึ้นจากชั้นเด็กนี้ ยังมีความสัมพันธ์ต่อการลดลงของค่าฟลักซ์ ส่วนความด้านท่านที่เกิดจากการ  
อุดตันอย่างถาวรห้าไม่สามารถล้างออกได้ ( $R_p$ ) ก็มีปริมาณที่สูง เนื่องจากอนุภาคเกิดการสะสมตัว  
และติดแน่นในรูปุน ตลอดจนมีบางส่วนที่เกิดการอุดตันบนผิวน้ำเยื่อแผ่นเมมเบรนมากเกินไป  
จนไม่สามารถล้างออกได้ ทั้งนี้ยังพบว่าขนาดรูปุนของเมมเบรนที่มีขนาดเล็กจะมีค่า  $R_p$  สูงกว่า  
เมมเบรนที่มีรูปุนขนาดใหญ่ ซึ่งแสดงให้เห็นว่าเมื่อผ่านการล้างด้วยน้ำผิวดินเบื้องต้นมาแล้วที่ยังคงมี  
อนุภาคขนาดเล็กผ่านการกรองมาด้วย จึงเกิดการสะสมตัวและติดแน่นในรูปุนขนาด  $0.45 \mu\text{m}$   
ส่วนการคำนีนระบบน้ำผิวดินแบบกะ แสดงผลไว้ ดังตารางที่ ก.3 พ布ว่า ค่าความด้านท่านของการ  
อุดตันที่เกิดขึ้นมีแนวโน้มสอดคล้องกับการคำนีนระบบน้ำผิวดินแบบอนุกรม และจากผลในการศึกษาพบว่า ค่าความด้านท่านรวม ( $R_T$ ) จะมีค่าเพิ่มสูงขึ้น เมื่อนำน้ำผิวดินมาคำนีนระบบผ่าน  
เมมเบรนที่มีขนาดรูปุนของเมมเบรนเล็กลงมา อาจเป็นผลมาจากการณ์ค่อนเร้นต่อชั้น  
โพลาไโรเซลล์ คือ การสะสมอนุภาคของสารแ徊วนโดย คอลลอยด์ ตลอดจนสารอินทรีย์คาร์บอน  
ทั้งหมดบริเวณผิวดินของเยื่อกรองภายในชั้น Boundary Layer ซึ่งเป็นชั้นที่ใกล้ผิวน้ำของเยื่อกรอง  
จะอยู่เป็นอิสระและทำการขัดขวางการไหลผ่านเยื่อกรอง ดังภาพที่ 4.14 และ 4.15



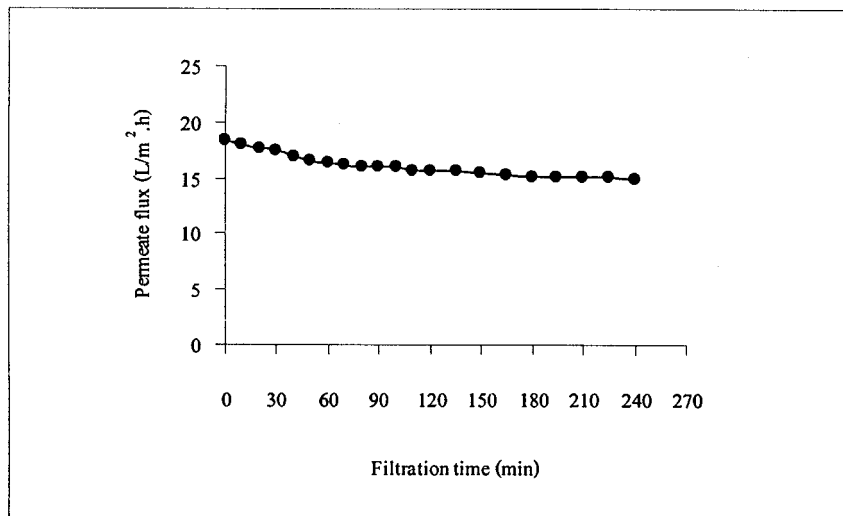
ภาพที่ 4.14 ความต้านทานการอุดตันของเมมเบรนแต่ละขนาดพูนเมื่อคำนวณระบบแบบอนุกรมที่ความดัน 172.32 kPa



ภาพที่ 4.15 ความต้านทานการอุดตันของเมมเบรนแต่ละขนาดพูนเมื่อคำนวณระบบแบบวงกลมที่ความดัน 172.32 kPa

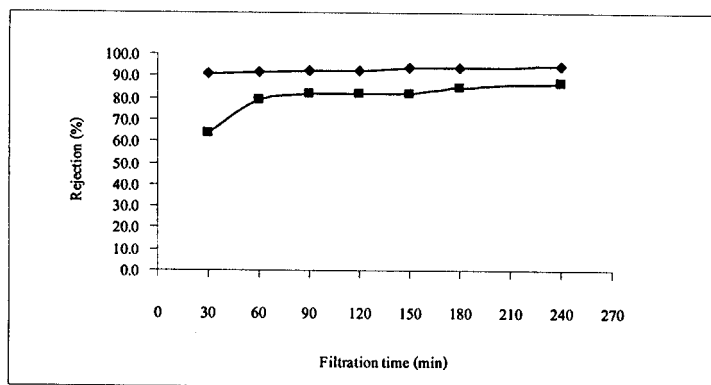
### 4.3 ผลจากการดำเนินระบบของน้ำผิวดินผ่านกระบวนการกรองแบบօสโนซิสข้อนกลับ

เมื่อนำตัวอย่างน้ำผิวดินที่มีส่วนผสมของสารแขวนลอย คอลลอกอิค และสารอินทรีย์ คาร์บอนทั้งหมด ซึ่งมีความชุ่นเท่ากับ 4.85 NTU มาผ่านกระบวนการกรองเมมเบรนแบบօสโนซิส ข้อนกลับ โดยมีวิธีการดำเนินระบบแบบไอลขวา และมีช่วงระยะเวลาในการดำเนินระบบของน้ำผิวดินผ่านกระบวนการดังกล่าวเท่ากับ 240 นาที ที่ความดัน 482.51 kPa หรือ 70 psi วัดอัตราการไอลทุก 10 นาที ในช่วงเวลา 1-120 นาทีและวัดอัตราการไอลทุก 15 นาทีในช่วงเวลา 121-240 นาที โดยรองรับน้ำที่ผ่านเมมเบรนออกมาทางเพอร์มิเอทและรองรับน้ำที่ผ่านออกมาทางรีเทนท์เป็นระยะเวลา 1 นาที พร้อมกัน จากนั้นนำไปชั่งเพื่อคำนวณหาอัตราการไอลของเพอร์มิเอทและเพอร์เซ็นต์การไอลข้อนกลับ โดยอัตราการไอลข้อนกลับถูกกำหนดให้อยู่ที่ช่วงประมาณร้อยละ 85 ซึ่งผลจากการดำเนินระบบพบว่า ช่วงแรกเริ่มต้น เพอร์มิเอทฟลักซ์มีค่าเท่ากับ  $18.3 \text{ L.M}^{-2}.\text{H}^{-1}$  และเมื่อดำเนินระบบผ่านไปเป็นเวลา 120 นาที เพอร์มิเอทฟลักซ์ลดลงมาที่  $15.68 \text{ L.M}^{-2}.\text{h}^{-1}$  จากนั้นดำเนินระบบต่อไปถึงระยะเวลา 240 นาที ค่าเพอร์มิเอทฟลักซ์ลดลงมาที่  $15.10 \text{ L.M}^{-2}.\text{h}^{-1}$  แสดงให้เห็นว่า น้ำผิวดินตัวอย่างเมื่อนำมาดำเนินระบบօสโนซิสข้อนกลับ เป็นระยะเวลา 240 นาที ค่าเพอร์มิเอทฟลักซ์มีแนวโน้มลดลงมากกว่าร้อยละ 18 อันเป็นผลมาจากการแขวนลอย คอลลอกอิค ตลอดจนสารอินทรีย์ คาร์บอนทั้งหมด เป็นต้น ดังภาพที่ 4.16 แสดงผลการดำเนินระบบของน้ำผิวดินผ่านกระบวนการกรองแบบօสโนซิสข้อนกลับ



ภาพที่ 4.16 ผลการดำเนินระบบของน้ำผิวดินผ่านกระบวนการกรองแบบօสโนซิสข้อนกลับ ที่ ความดัน 482.51 kPa

จากการศึกษา พบว่าถ้าใช้ระยะเวลาในการดำเนินระบบเพิ่มขึ้น ค่าเพอร์เมอฟลักซ์มีแนวโน้มลดลงอย่างต่อเนื่อง ซึ่งเมื่อนำน้ำเพอร์เมอทามาตรวจวิเคราะห์หาปริมาณความชุ่นและสารอินทรีย์คาร์บอนทั้งหมด พบร่วมกับกระบวนการกรองเมมเบรนแบบօสโนซิสข้อกลับ สามารถกำจัดความชุ่นออกจากร่องน้ำผิวดินดังกล่าวมากกว่าร้อยละ 90 ดังแสดงในภาพที่ 4.17 แสดงประสิทธิภาพการกำจัดความชุ่นของน้ำผิวดิน กล่าวคือ น้ำผิวดินมีความชุ่นเท่ากับ 4.85 NTU จากนั้นนำไปดำเนินระบบผ่านกระบวนการกรองดังกล่าวพบว่าเมื่อดำเนินระบบผ่านไปเป็นเวลา 30 นาทีนำน้ำเพอร์เมอท มาตรวจวัดค่าความชุ่นพบว่าน้ำเพอร์เมอท ณ เวลา 30 นาที มีค่าความชุ่นเท่ากับ 0.436 NTU และเมื่อดำเนินระบบต่อไปจนกระทั่วเวลาผ่านไป 240 นาที นำน้ำเพอร์เมอทามาตรวจวัดค่าความชุ่น พบร่วมน้ำเพอร์เมอท ณ เวลา 240 นาที มีค่าความชุ่นเท่ากับ 0.256 NTU และในกระบวนการกรองแบบօสโนซิสข้อกลับ สามารถกำจัดปริมาณสารอินทรีย์คาร์บอนทั้งหมดได้มากกว่าร้อยละ 80 ดังแสดงในภาพที่ 4.17 นำน้ำผิวดินเริ่มต้นได้ตรวจพบปริมาณสารอินทรีย์ คาร์บอนทั้งหมดเท่ากับ  $4.42 \text{ mg.L}^{-1}$  จากนั้นนำน้ำผิวดินไปดำเนินระบบผ่านกระบวนการกรอง ดังกล่าว เมื่อเวลาผ่านไป 30 นาที ได้ตรวจพบปริมาณสารอินทรีย์คาร์บอนทั้งหมดของน้ำเพอร์เมอท เท่ากับ  $1.615 \text{ mg.L}^{-1}$  จากนั้นนำน้ำเพอร์เมอทจากกระบวนการดำเนินระบบ ณ เวลา 60, 90, 120, 150, 180 และ 240 นาที มาตรวจวัดค่าปริมาณสารอินทรีย์คาร์บอนทั้งหมด พบร่วมน้ำมีปริมาณสารอินทรีย์ คาร์บอนทั้งหมดในน้ำเพอร์เมอทเท่ากับ  $0.92 \text{ mg.L}^{-1}$ ,  $0.81 \text{ mg.L}^{-1}$ ,  $0.802 \text{ mg.L}^{-1}$ ,  $0.799 \text{ mg.L}^{-1}$ ,  $0.676 \text{ mg.L}^{-1}$  และ  $0.583 \text{ mg.L}^{-1}$  จากผลดังกล่าวข้างต้นแสดงให้เห็นว่าเมื่อระยะเวลาในการดำเนินระบบเพิ่มขึ้นประสิทธิภาพในการกำจัดความชุ่นและสารอินทรีย์คาร์บอนทั้งหมดมีแนวโน้มเพิ่มสูงขึ้น

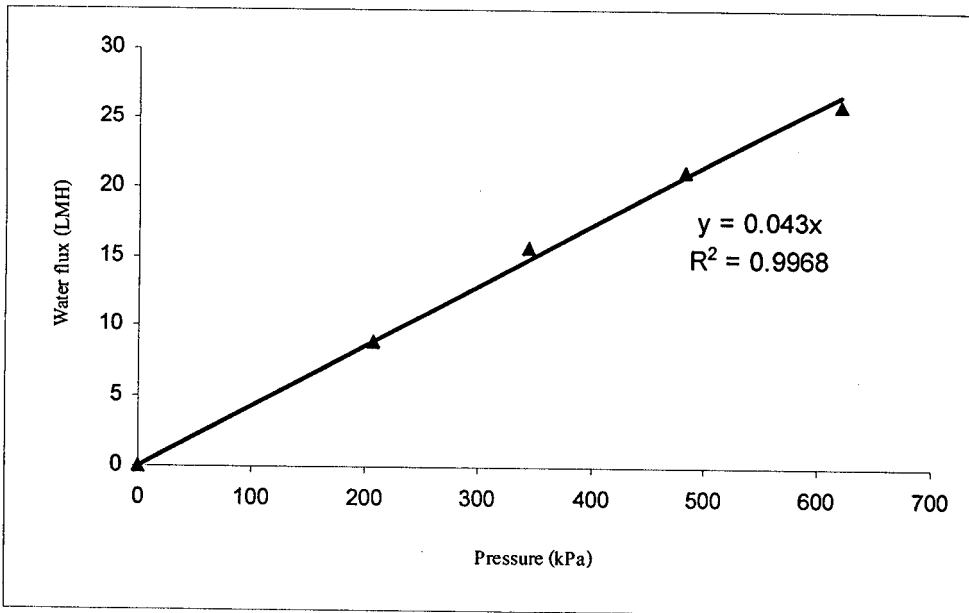


ภาพที่ 4.17 ประสิทธิภาพการกำจัดความชุ่นและสารอินทรีย์คาร์บอนทั้งหมดจากการดำเนินระบบการกรองแบบօสโนซิสข้อกลับที่ความดัน  $482.51 \text{ kPa}$

- ◆ แทนความชุ่น
- แทนสารอินทรีย์คาร์บอนทั้งหมด

#### 4.4 ผลจากการดำเนินระบบผ่านกระบวนการกรองแบบօสโนมิซิสขั้นกลับของน้ำผิวดินที่ผ่านการบำบัดเบื้องต้นจากกระบวนการไมโครฟิลเตอร์ชั้น

ผลการทดสอบเมมเบรนแบบօสโนมิซิสขั้นกลับ โดยการใช้น้ำประปาจากไออกอนเป็นน้ำตัวอย่างในการทดสอบ ทำการวัดอัตราการไหลของน้ำเพอร์มิเอทที่ผ่านมาเพื่อนำไปคำนวณค่า water flux (ฟลักซ์ของน้ำ) ที่ความดัน 206.79 kPa, 344.65 kPa, 482.51 kPa และ 620.37 kPa ตามลำดับ พบว่า ค่า water flux จะมีความสัมพันธ์กับค่าของความดัน ดังแสดงในภาพที่ 4.18

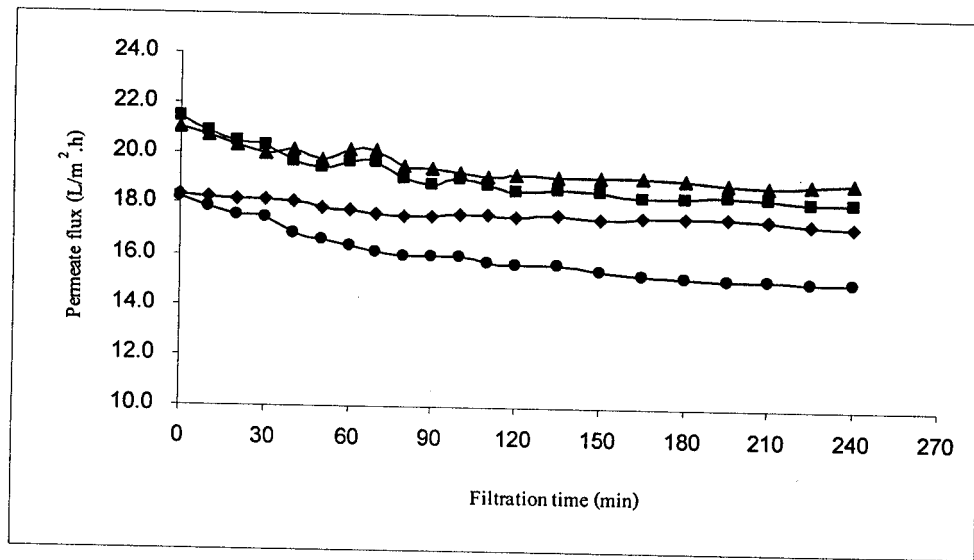


ภาพที่ 4.18 ผลของความดันต่อค่าฟลักซ์ ของระบบเมมเบรนแบบօสโนมิซิสขั้นกลับ

จากการทดสอบพบว่า ค่า water flux เป็นสัดส่วนโดยตรงกับค่าของความดันที่เพิ่มขึ้น โดยมีค่าความสัมพันธ์ ( $R^2$ ) เท่ากับ 0.9968 ค่าการซึมผ่านของน้ำเพอร์มิเอท หาได้จากสมการที่ 2.6 สามารถคำนวณหาค่าการซึมผ่านของน้ำเพอร์มิเอทได้เท่ากับ  $0.043 \text{ L.M}^{-2}.\text{h}^{-1}.\text{kPa}^{-1}$

เมื่อนำตัวอย่างน้ำผิวดินที่ผ่านการบำบัดเบื้องต้นจากกระบวนการกรองผ่านเมมเบรนแบบไมโครฟิลเตอร์ชั้น โดยมีวิธีการดำเนินระบบการไหลตามแนวตั้งผ่านเมมเบรนขนาดรูปrun 5  $\mu\text{m}$ , 1.2  $\mu\text{m}$  และ 0.45  $\mu\text{m}$  มาผ่านกระบวนการกรองเมมเบรนแบบօสโนมิซิสขั้นกลับ โดยมีวิธีการดำเนินระบบแบบไหลขวางและใช้ระยะเวลาในการดำเนินระบบผ่านกระบวนการดังกล่าวเท่ากับ 240 นาที จากการศึกษาพบว่า เมื่อนำน้ำผิวดินตัวอย่างที่ยังไม่ได้ผ่านการบำบัดมาดำเนินระบบผ่านกระบวนการกรองดังกล่าวพบว่า ค่าเพอร์มิเอทฟลักซ์เริ่มต้นมีค่าเท่ากับ  $18.3 \text{ L.m}^{-2}.\text{h}^{-1}$  และเมื่อดำเนินระบบผ่านไป 240 นาที พบว่าเพอร์มิเอทฟลักซ์มีค่าเท่ากับ  $15 \text{ L.m}^{-2}.\text{h}^{-1}$  แสดงให้เห็น

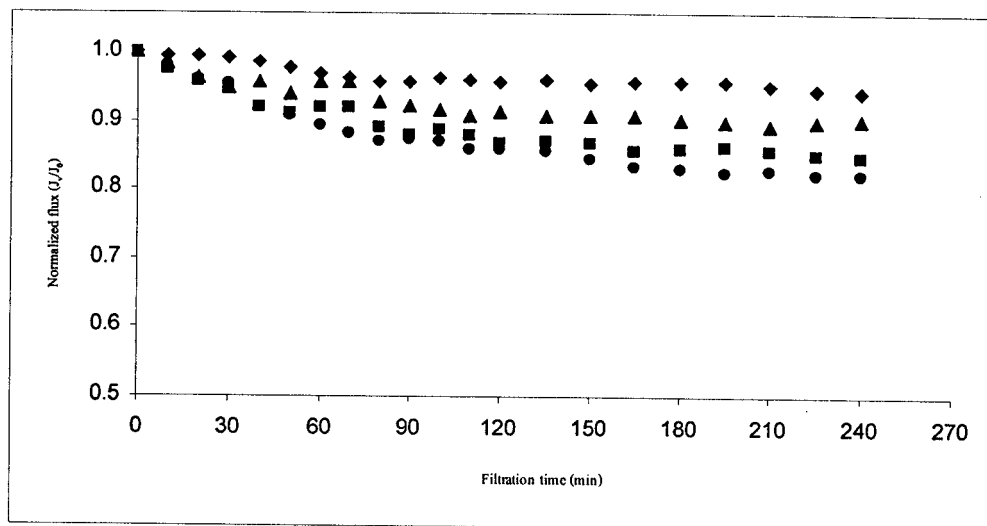
ว่าเมื่อนำน้ำผิวดินตัวอย่างมาผ่านกระบวนการค่าเพอร์มิเออฟลักซ์ จะลดลงกว่าร้อยละ 18 ของค่าเพอร์มิเออฟลักซ์เริ่มต้น จากนั้นนำน้ำตัวอย่างที่กรองผ่านกระบวนการในโครพีลเตอร์ชัน ขนาดรูป/run 5  $\mu\text{m}$  มาดำเนินระบบผ่านกระบวนการอสโนซิสข่อนกลับ เพอร์มิเออฟลักซ์เริ่มต้นมีค่าเท่ากับ  $18.3 \text{ L.m}^{-2}.\text{h}^{-1}$  และค่าเพอร์มิเออฟลักซ์มีแนวโน้มลดลงอย่างต่อเนื่องจนถึงระยะเวลา 240 นาที ค่าเพอร์มิเออฟลักซ์ลดลงเท่ากับ  $17.27 \text{ L.m}^{-2}.\text{h}^{-1}$  และเมื่อนำน้ำตัวอย่างจากการบำบัดผ่านแมมนเบรนขนาดรูป/run 1.2  $\mu\text{m}$  มาผ่านกระบวนการอสโนซิสข่อนกลับ เพอร์มิเออฟลักซ์เริ่มต้นมีค่าเท่ากับ  $21.43 \text{ L.m}^{-2}.\text{h}^{-1}$  และเพอร์มิเออฟลักซ์สุดท้ายมีค่าเท่ากับ  $18.17 \text{ L.m}^{-2}.\text{h}^{-1}$  ส่วนค่าเพอร์มิเออฟลักซ์เริ่มต้นของน้ำตัวอย่างที่ผ่านการบำบัดจากแมมนเบรนขนาดรูป/run 0.45  $\mu\text{m}$ เท่ากับ  $21.08 \text{ L.m}^{-2}.\text{h}^{-1}$  และเพอร์มิเออฟลักซ์สุดท้ายเท่ากับ  $18.99 \text{ L.m}^{-2}.\text{h}^{-1}$  ดังภาพที่ 4.19 แสดงผลเพอร์มิเออฟลักซ์ จากการดำเนินระบบการกรองแบบอสโนซิสข่อนกลับของน้ำผิวดินที่ผ่านการบำบัดเบื้องต้นจากการกระบวนการ MF



ภาพที่ 4.19 ผลเพอร์มิเออฟลักซ์ จากการ ดำเนินระบบการกรองแบบอสโนซิสข่อนกลับ ของน้ำผิวดินที่ผ่านการบำบัดเบื้องต้นจากการกระบวนการ MF

- แทนการดำเนินระบบของน้ำผิวดิน
- ◆ แทนการดำเนินระบบของน้ำผิวดินผ่านแมมนเบรนขนาดรูป/run 5  $\mu\text{m}$
- แทนการดำเนินระบบของน้ำผิวดินผ่านแมมนเบรนขนาดรูป/run 1.2  $\mu\text{m}$
- ▲ แทนการดำเนินระบบของน้ำผิวดินผ่านแมมนเบรนขนาดรูป/run 0.45  $\mu\text{m}$

จากผลการศึกษาพบว่าการนำน้ำผิวดินมาผ่านกระบวนการกรองแบบ MF ผ่านเมมเบรนขนาดรูพรุน  $5 \text{ }\mu\text{m}$ ,  $1.2 \text{ }\mu\text{m}$  และ  $0.45 \text{ }\mu\text{m}$  เป็นต้นก่อนจากนั้นนำมาดำเนินระบบแบบօอสโนซิสขึ้นกลับ ค่าเพอร์เมอฟลักซ์ มีแนวเพิ่มสูงขึ้น อันเป็นผลมาจากการกรองแบบ MF ได้กำจัดสารแบบแขวนลอย ตลอดอยู่ด้วยค่าของสารอินทรีย์ที่รับอนุญาตทั้งหมดออกไปจำนวนหนึ่งและอีกจำนวนหนึ่งจะถูกกำจัดโดยกระบวนการกรองแบบօอสโนซิสขึ้นกลับ ซึ่งมีผลทำให้ลดการลดลงของ Normalized flux ซึ่งสำคัญส่วนในการลดลงของค่าฟลักซ์จะไม่ค่อยสูงมากนักดังแสดงในภาพที่ 4.20



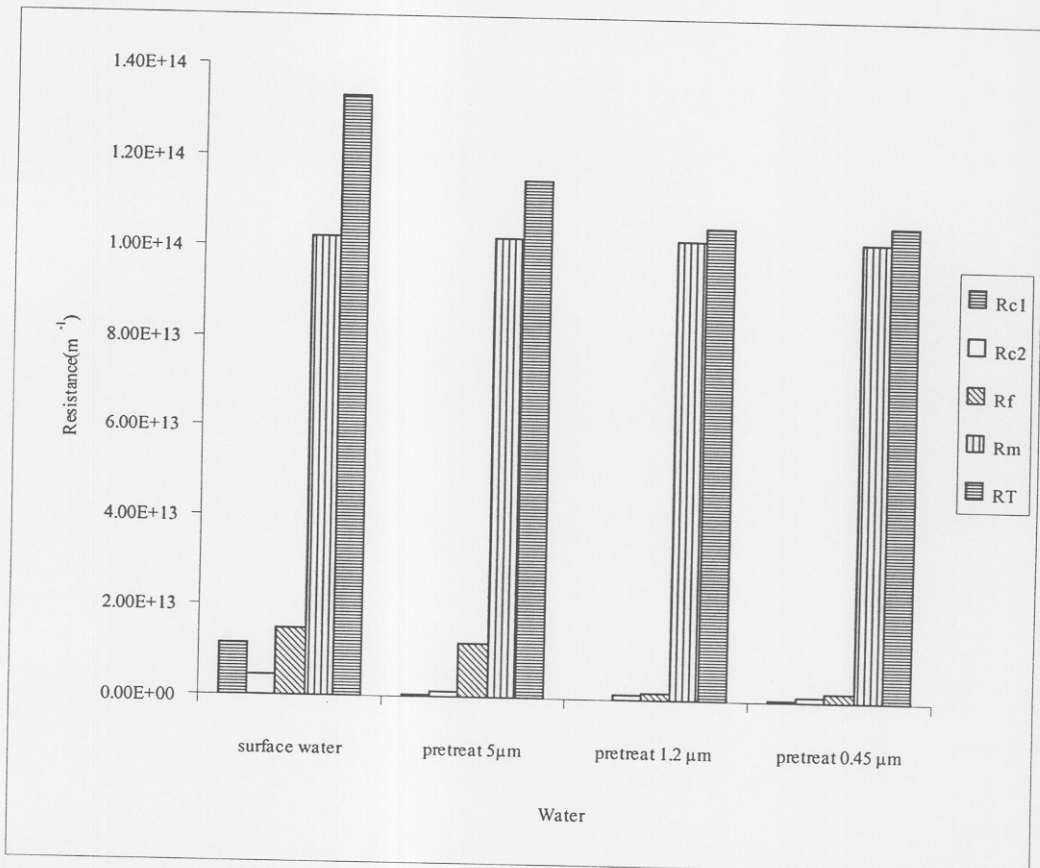
ภาพที่ 4.20 ผลค่าฟลักซ์กับเวลาในการดำเนินระบบօอสโนซิสขึ้นกลับของน้ำผิวดินที่ความดัน  $482.51 \text{ kPa}$

- แทนการดำเนินระบบของน้ำผิวดิน
- ◆ แทนการดำเนินระบบของน้ำผิวดินผ่านเมมเบรนขนาดรูพรุน  $5 \text{ }\mu\text{m}$
- แทนการดำเนินระบบของน้ำผิวดินผ่านเมมเบรนขนาดรูพรุน  $1.2 \text{ }\mu\text{m}$
- ▲ แทนการดำเนินระบบของน้ำผิวดินผ่านเมมเบรนขนาดรูพรุน  $0.45 \text{ }\mu\text{m}$

#### 4.5 ผลจากการทำความสะอาดเมมเบรนหลังจากการดำเนินระบบการกรองแบบօอสโนซิสขึ้นกลับ

ผลการวิเคราะห์ความต้านทานของการดำเนินระบบการกรองน้ำผิวดินผ่านเมมเบรนแบบօอสโนซิสขึ้นกลับที่ความดัน  $482.51 \text{ kPa}$  พบว่าความต้านทานถาวรมีอัตราเมื่อดำเนินระบบค่อนข้างต่ำ ผิวดินจะมีค่าสูงสุด เนื่องจากอนุภาคเกิดการสะสมที่บริเวณผิวเมมเบรนมากขึ้นและมีการอัดตัวกัน

ແນ່ນຂຶ້ນ ຮວມถึงສ່າງພລທຳໃຫ້ເກີດກາເກະຕົວຂອງອນຸກາກໃນຮູ່ພຽນຈຶ່ງທຳໃຫ້ຄ່າຄວາມຕ້ານທານຄາວສູງຂຶ້ນສ່າງພລໃຫ້ຄ່າ  $R_s$  ສູງມາກຂຶ້ນດ້ວຍ ສ່ວນຄ່າຄວາມຕ້ານທານຂອງເມນເບຣນຈາກກາຣດໍາເນີນຮະບບນໍ້າຜິວຄືນທີ່ຜ່ານການນຳບັດຈາກຮະບວນກາຣ MF ອັນເປັນພລນາຈາກອນຸກາກໄດ້ລູກກຳຈົດອອກໄປປາງສ່ວນຈາກກາຣນຳບັດເບື້ອງຕົ້ນດ້ວຍຮະບວນກາຣ MF ດັ່ງແສດງໃນກາພທີ 4.21



ກາພທີ 4.21 ຄວາມຕ້ານທານກາຣອຸດຕັນຂອງເມນເບຣນແບນອອສ ໂໂນຊີສຢ້ອນກລັບທີ່ຜ່ານກາຣນຳບັດເບື້ອງຕົ້ນດ້ວຍຮະບວນກາຣ ໄມ ໂໂຣຟິລເຕຣ້ອ້ນທີ່ຄວາມດັ່ນ 482.51 kPa.

## บทที่ 5

### สรุปผลการทดลองและข้อเสนอแนะ

จากการศึกษาถึงประสิทธิภาพของกระบวนการกรองเมมเบรนแบบไมโครฟิลเตอร์ชั้นในการบำบัดน้ำผิวดินเบื้องต้นและเปรียบเทียบประสิทธิภาพของระบบการกรองในการดำเนินระบบแบบอนุกรมและการดำเนินระบบแบบ กะ ตลอดจนศึกษาถึงประสิทธิภาพของกระบวนการกรองเมมเบรนแบบօสโมซิสขั้นตอนลับ เพื่อเปรียบเทียบนำ้ำผิวดินตามธรรมชาติที่ผ่านและไม่ผ่านการบำบัดเบื้องต้น โดยสามารถสรุปผลการวิจัยและข้อเสนอแนะได้ดังนี้

#### 5.1 สรุปผลการวิจัย

##### 5.1.1 ผลจากการดำเนินระบบบำบัดน้ำผิวดินเบื้องต้นผ่านกระบวนการกรองแบบไมโครฟิลเตอร์ชั้น

###### 5.1.1.1 ผลของการดำเนินระบบแบบอนุกรม

พบว่า ค่าฟลักซ์จะมีค่าลดลงอย่างรวดเร็วในช่วงระยะเวลา 10 นาทีแรก โดยค่าฟลักซ์จะลดลงน้อยกว่าร้อยละ 10 เมื่อเปรียบเทียบกับค่าฟลักซ์เริ่มต้น หลังจากนั้นค่าฟลักซ์ก็มีแนวโน้มลดลงอย่างต่อเนื่อง จนกระทั่งเวลาผ่านไป 60 นาที ค่าฟลักซ์ลดลงเหลือน้อยมากเมื่อเปรียบเทียบกับฟลักซ์เริ่มต้น สาเหตุที่ทำให้ค่าฟลักซ์ของนำ้ำผิวดินมีค่าลดลงอย่างรวดเร็วนี้เนื่องจากเกิดการสะสมสารแขวนลอย และคอลลอกอิค์ ซึ่งมีอนุภาคขนาดใหญ่ที่บดบังพิวหน้าเยื่อแผ่นเมมเบรนทำให้เกิดการอุดตัน ทั้งนี้ยังพบว่าการเพิ่มความดันสูงขึ้นเป็นอีกปัจจัยหนึ่งในการเพิ่มประสิทธิภาพในการกำจัด ซึ่งที่ระดับความดัน 172.32 kPa มีค่าการกำจัดความชุ่มน้ำสูงกว่าร้อยละ 93 และมีค่าการกำจัดสารอินทรีย์คาร์บอนทั้งหมดเท่ากับร้อยละ 29

###### 5.1.1.2 ผลของการดำเนินระบบแบบกะ

พบว่า ค่าฟลักซ์จะมีค่าลดลงอย่างรวดเร็วในช่วงเวลา 5 นาทีแรก โดยค่าฟลักซ์จะลดลงน้อยกว่าร้อยละ 10 เมื่อเปรียบเทียบกับค่าฟลักซ์เริ่มต้น หลังจากนั้นค่าฟลักซ์ก็มีแนวโน้มลดลงอย่างต่อเนื่องจนกระทั่งเวลาผ่านไป 30 นาที ค่าฟลักซ์ลดลง เหลือน้อยมากเมื่อเปรียบเทียบกับฟลักซ์เริ่มต้นเนื่องจากอนุภาคของสารแขวนลอยและคอลลอกอิค์ที่อ่อนภาคใหญ่กว่าหรือเท่ากับขนาดรูพรุนจะตกค้างบนเมมเบรนหรือผ่านเข้าไปค้างในเมมเบรนอาจส่งผลทำให้

ขนาดรูปหุนของเยื่อแผ่นเริ่มเล็กลงและที่ผิวเยื่อแผ่นก็เริ่มนีการสะสมของอนุภาคที่มีขนาดใหญ่กว่าขนาดรูปหุนและตัวถูกคลายอื่นๆที่ไม่สามารถผ่านรูปหุนไปได้ประกอบกับการเพิ่มแรงขับดันจะทำให้เกิดการอัดตัวของชั้นตัวถูกคลายที่ผิวของเยื่อแผ่นและภายในรูปหุนให้แน่นมากขึ้นขนาดรูปหุนก็จะยิ่งมีขนาดเล็กลงสารละลายจึงผ่านไปได้น้อยลง ทำให้ประสิทธิภาพในการกำจัดเพิ่มสูงขึ้นกว่าร้อยละ 95 และมีประสิทธิภาพในการกำจัดสารอินทรีย์เท่ากับร้อยละ 30

### 5.1.2 ผลจากการดำเนินระบบของน้ำผิวดินผ่านกระบวนการกรองเมนเบรนแบบอสโนซิสขั้นกลับ

จากผลการศึกษาพบว่า สารแخวนลดอย คอลลอยด์และสารอินทรีย์carbอนทึ้งหมดเป็นปัจจัยหลักที่ก่อให้เกิดการอุดตันบนแผ่นเมนเบรนแบบอสโนซิสขั้นกลับ เมื่อนำน้ำผิวดินมาดำเนินผ่านระบบ เพอร์มิเออฟลักซ์เริ่มต้นมีค่าเท่ากับ  $18.3 \text{ L.m}^{-2}.\text{h}^{-1}$  จากนั้นดำเนินระบบต่อไป เพอร์มิเออฟลักซ์มีแนวโน้มลดลง ซึ่งที่ระยะเวลา 240 นาที ค่าเพอร์มิเออฟลักซ์ลดลงมา มีค่าเท่ากับ  $15 \text{ L.m}^{-2}.\text{h}^{-1}$  เมื่อเปรียบเทียบเป็นร้อยละพบว่า ค่าเพอร์มิเออฟลักซ์ลดลงกว่าร้อยละ 18 เมื่อเปรียบเทียบกับเพอร์มิเออฟลักซ์เริ่มต้น เมื่อนำน้ำผิวดินที่บำบัดเบื้องต้นด้วยกระบวนการ MF ผ่านกระบวนการกรองแบบอนุกรมด้วยเมนเบรนขนาดรูปหุน  $5 \mu\text{m}$ ,  $1.2 \mu\text{m}$  และ  $0.45 \mu\text{m}$  ตามลำดับมาดำเนินผ่านระบบพบว่าเพอร์มิเออฟลักซ์มีแนวโน้มเพิ่มสูงขึ้น โดยค่าเพอร์มิเออฟลักซ์ของน้ำผิวดินที่ผ่านการบำบัดเบื้องต้นด้วยเมนเบรนขนาดรูปหุน  $0.45 \mu\text{m}$  เท่ากับ  $21.08 \text{ L.m}^{-2}.\text{h}^{-1}$  เมื่อเปรียบเทียบ เป็นร้อยละพบว่า ค่าเพอร์มิเออฟลักซ์เพิ่มขึ้นมากกว่าร้อยละ 15 เมื่อเปรียบเทียบกับเพอร์มิเออฟลักซ์เริ่มต้น ซึ่งแสดงให้เห็นว่าการนำน้ำผิวดินมาผ่านการบำบัดด้วยกระบวนการ MF จะช่วยเพิ่มค่าเพอร์มิเออฟลักซ์ และช่วยลดการเกิดการอุดตันบนผิวเมนเบรนแบบอสโนซิสขั้นกลับได้ด้วย

## 5.2 ข้อเสนอแนะ

- 5.2.1 ควรศึกษาเพิ่มเติมกับแหล่งน้ำผิวดินอื่นๆ
- 5.2.2 ควรศึกษาเพิ่มเติมถึงประสิทธิภาพในการกำจัดปัจจัยอื่นๆ เช่น สี แบคทีเรียเป็นต้น
- 5.2.3 ควรศึกษาเพิ่มเติมถึงลักษณะการอุดตันของเมนเบรนเพื่อนำไปวิเคราะห์กับโนเดล จำลองการอุดตัน

เอกสารอ้างอิง

## เอกสารอ้างอิง

- เกรียงศักดิ์ อุดมสิน ใจนน. 2550. วิศวกรรมสิ่งแวดล้อม. พิมพ์ครั้งที่ 4. กรุงเทพฯ : หจก.สยามสเดชั้นเนอร์รีชัพพลาญส์.
- ขันทอง ถุนทรากา. 2545. เทคโนโลยีการแยกด้วยเมมเบรน. กรุงเทพฯ : จุฬาลงกรณ์มหาวิทยาลัย.
- คณินทร์ บุญญาศาสตร์. 2546. ผลของโซเดียมไฮโปคลอไรต์และโซเดียมไฮดรอกไซด์ต่อการล้างไมโครฟิลเตอร์ชั้นเมมเบรนในกระบวนการแยกด้วยเมมเบรน. วิทยานิพนธ์ปริญญาโท วิศวกรรมศาสตร์ มหาวิทยาลัยธรรมศาสตร์.
- นลินี เหลืองรังรอง. 2544. กระบวนการไมโครฟิลเตอร์ชั้นในการผลิตน้ำประปา. วิทยานิพนธ์ปริญญาโท วิศวกรรมศาสตรบัณฑิต : จุฬาลงกรณ์มหาวิทยาลัย.
- นลินี เหลืองรังรอง, ปฏิรูป ผลจันทร์ และชาลิต รัตนธรรมสกุล. 2545. “กระบวนการเมมเบรนในการผลิตน้ำประปา”, เอกสารประกอบการประชุมวิชาการสิ่งแวดล้อม. 412-421.
- พินิตา ศรีกิตติพงษ์, บงกช ใจนนิรุ๊ฟ รัตนธรรมสกุล. 2545. การล้างเยื่อแผ่นชนิดนาโนฟิลเตอร์ชั้นที่เกิดฟาวลิ่งเนื่องจากสีย้อม. วิทยานิพนธ์ปริญญาโท วิศวกรรมศาสตรบัณฑิต : มหาวิทยาลัยเทคโนโลยีพระจอมเกล้าธนบุรี.
- มั่นสิน ตันตระเวศน์. 2539. วิศวกรรมประปา เล่ม 2. กรุงเทพฯ : จุฬาลงกรณ์มหาวิทยาลัย.
- มั่นสิน ตันตระเวศน์. 2546. คู่มือวิเคราะห์คุณภาพน้ำ. กรุงเทพฯ : จุฬาลงกรณ์มหาวิทยาลัย.
- รัตนา จิระวัฒนานนท์. 2543. กระบวนการแยกด้วยเยื่อแผ่นสังเคราะห์. พิมพ์ครั้งที่ 2. กรุงเทพฯ : ภาควิชาวิศวกรรมเคมี คณะวิศวกรรมศาสตร์ สถาบันเทคโนโลยีพระจอมเกล้าธนบุรี.
- รัตนา จิระวัฒนานนท์ และอุษณี อุตgap. 2536. “การศึกษา Fouling และ ความด้านทานต่อการไหลในระบบ Cross-flow microfiltration (CFMF)”, เอกสารการประชุมทางวิศวกรรมเคมีแห่งประเทศไทย ครั้งที่ 3. 286 – 305.
- สุพัฒน์พงษ์ มัตราช. 2548. “Water and Wastewater Treatment for environmental engineering semester”, เอกสารประกอบการบรรยาย. อุบลราชธานี : ภาควิชาวิศวกรรมเคมี คณะวิศวกรรมศาสตร์ มหาวิทยาลัยอุบลราชธานี.
- อุคร จากรัตน์และจากรัตน์ วนิสรากุล. 2537. วิศวกรรมการประปา. กรุงเทพฯ : เรือนแก้วการพิมพ์.
- Atkinson, S. 2002. US membrane Separation technology markets analyzed. Membrane Technology. Issue. 9: 10-12.

ເອກສາຣ້ອງ(ອົງ) ຕ່ອ)

- David Waite, T., and et al. 1999. Colloidal Fouling of Ultrafiltration Membranes : Impact of Aggregate Structure and Size.
- Defrise D. and Gekas V. 1988. Microfiltration Membranes and The Problem of Microbial Adhesion. A Literature Survey, Process Biochemistry. 23: 105-116,
- Feuillat, M. and Bernard, P. 1985. Influence de la filtration tangentielle des mouts et des vins sur leur composition en collides,; U.F. et Microfiltration tangentielle en Oenologic, Institute technique de la Vigne et du Vin. 225.
- Jui-Fang, L. 1996. Evaluation on the Factors Affecting Membrane Flux. Master's Thesis, Thailand: Asian Institute of Technology.
- Karimi, A.A., Vickers, J.C. and Harasick, R.F. 1999. Hollywood the Los Angleles experience Journal AWWA. 6: 90-103.
- Lin, J. 1996. Evaluation on the Factors Affecting Membrane Flux. Master's Thesis, Thailand: Asian Institute of Technology.
- Lindau, J. and Jonsson, A.S., 1994. Cleaning of ultrafiltration membranes after treatment of oily waste water. Journal of Membrane Science. 87: 71-78.
- Marcel, M. 1996. "Characterrisation of Membranes", in Basic Principle of Membrane Technology. Netherlands: University of Twente Enschede.
- Paudel, A. B. 1991. Influence of ionic strength and Cleaning of Membrane on crossflow microfiltration. Master's Thesis, Thailand: Asian Institute of Technoloogy.
- Schafer, A.I., Fane, A.G. and Waite, T.D. 2000. Fouling effect on rejection in the membrane filtration of natural waters. Desalination.
- Wei Yuan. and Andrew, L. 1999. Humic acid fouling during microfiltration, Journal of membrane science.
- Zhang, G. and Liu, Z. 2003. Membrane Fouling and Cleaning in ultrafiltration of Wastewater from Banknote Printing Works. Journal of Membrane and Science. 235-249.

**ภาคผนวก**

### ภาคผนวก ก

ผลการดำเนินระบบของน้ำผิวดินผ่านแมมน้ำบนแบบจำลองคอมพิวเตอร์ชั้น  
และออสโนมซิสย้อนกลับ

**ภาคผนวก ก**  
**ผลการดำเนินระบบของนำผ้าวัดินผ่านเมมเบรนแบบไมโครฟิลเตอร์ชั้น**  
**และออสโนซิสย้อนกลับ**

**ตารางที่ ก.1 ผลการดำเนินระบบของนำผ้าวัดินผ่านเมมเบรนMF แบบอนุกรมขนาดรูพรุน 5 μm  
ความดัน 68.93 kPa**

Time (min)	Time (hour)	Temp (°C)	Permeate x10 <sup>-4</sup> (m <sup>3</sup> )	Area of membrane x10 <sup>-3</sup> (m <sup>2</sup> )	Flux (J <sub>v</sub> ) (m <sup>3</sup> /m <sup>2</sup> .h)	J <sub>o</sub>	J <sub>v</sub> /J <sub>o</sub>
0	0.00	26.5	2.68	1.74	9.27	9.27	1.00
1	0.02	26.5	0.55	1.74	1.90	9.27	0.21
2	0.03	26.5	0.36	1.74	1.24	9.27	0.13
3	0.05	26.5	0.29	1.74	1.00	9.27	0.11
4	0.07	26.5	0.24	1.74	0.83	9.27	0.09
5	0.08	26.5	0.21	1.74	0.73	9.27	0.08
10	0.17	26.5	0.14	1.74	0.48	9.27	0.05
15	0.25	26.5	0.11	1.74	0.38	9.27	0.04
30	0.50	26.5	0.08	1.74	0.28	9.27	0.03
45	0.75	26.5	0.06	1.74	0.21	9.27	0.02
60	1.00	26.5	0.05	1.74	0.17	9.27	0.02

**ตารางที่ ก.2 ผลการดำเนินระบบแบบอนุกรมกรองผ่านเมมเบรนMF ขนาดรูพรุน 5 μm แล้วนำมาดำเนินระบบผ่านเมมเบรนMF ขนาดรูพรุน 1.2 μm ความดัน 68.93 kPa**

Time (min)	Time (hour)	Temp (°C)	Permeate x10 <sup>-4</sup> (m <sup>3</sup> )	Area of membrane x10 <sup>-3</sup> (m <sup>2</sup> )	Flux (J <sub>v</sub> ) (m <sup>3</sup> /m <sup>2</sup> .h)	J <sub>o</sub>	J <sub>v</sub> /J <sub>o</sub>
0	0.00	26.5	19.23	1.74	66.52	66.52	1.00
1	0.02	26.5	10.28	1.74	35.56	66.52	0.53
2	0.03	26.5	4.30	1.74	14.87	66.52	0.22
3	0.05	26.5	2.31	1.74	8.00	66.52	0.12
4	0.07	26.5	0.96	1.74	3.32	66.52	0.05
5	0.08	26.5	0.48	1.74	1.66	66.52	0.03
10	0.17	26.5	0.33	1.74	1.13	66.52	0.02
15	0.25	26.5	0.22	1.74	0.77	66.52	0.01
30	0.50	26.5	0.13	1.74	0.46	66.52	0.01
45	0.75	26.5	0.10	1.74	0.35	66.52	0.01
60	1.00	26.5	0.08	1.74	0.28	66.52	0.00

ตารางที่ ก.3 ผลการดำเนินระบบแบบอนุกรมกรองผ่านมемเบรนMF ขนาดรูพรุน  $1.2 \mu\text{m}$  แล้วนำมาดำเนินระบบผ่านมемเบรนMF ขนาดรูพรุน  $0.45 \mu\text{m}$  ความดัน  $68.93 \text{ kPa}$

Time (min)	Time (hour)	Temp (°C)	Permeate $\times 10^{-4} (\text{m}^3)$	Area of membrane $\times 10^{-3} (\text{m}^2)$	Flux ( $J_v$ ) $(\text{m}^3/\text{m}^2.\text{h})$	$J_o$	$J_v/J_o$
0	0.00	26.5	24.30	1.74	84.02	84.02	1.00
1	0.02	26.5	12.20	1.74	42.18	84.02	0.50
2	0.03	26.5	5.72	1.74	19.77	84.02	0.24
3	0.05	26.5	2.91	1.74	10.07	84.02	0.12
4	0.07	26.5	1.74	1.74	6.01	84.02	0.07
5	0.08	26.5	1.18	1.74	4.08	84.02	0.05
10	0.17	26.5	0.42	1.74	1.44	84.02	0.02
15	0.25	26.5	0.28	1.74	0.95	84.02	0.01
30	0.50	26.5	0.16	1.74	0.55	84.02	0.01
45	0.75	26.5	0.12	1.74	0.41	84.02	0.00
60	1.00	26.5	0.10	1.74	0.34	84.02	0.00

ตารางที่ ก.4 ผลการดำเนินระบบของน้ำผิวดินผ่านมемเบรนMF แบบอนุกรมขนาดรูพรุน  $5 \mu\text{m}$  ความดัน  $103.39 \text{ kPa}$

Time (min)	Time (hour)	Temp (°C)	Permeate $\times 10^{-4} (\text{m}^3)$	Area of membrane $\times 10^{-3} (\text{m}^2)$	Flux ( $J_v$ ) $(\text{m}^3/\text{m}^2.\text{h})$	$J_o$	$J_v/J_o$
0	0.00	26.5	25.69	1.74	88.83	88.83	1.00
1	0.02	26.5	14.01	1.74	48.45	88.83	0.55
2	0.03	26.5	7.00	1.74	24.19	88.83	0.27
3	0.05	26.5	3.81	1.74	13.17	88.83	0.15
4	0.07	26.5	2.36	1.74	8.16	88.83	0.09
5	0.08	26.5	1.59	1.74	5.51	88.83	0.06
10	0.17	26.5	0.45	1.74	1.57	88.83	0.02
15	0.25	26.5	0.28	1.74	0.98	88.83	0.01
30	0.50	26.5	0.16	1.74	0.55	88.83	0.01
45	0.75	26.5	0.12	1.74	0.41	88.83	0.00
60	1.00	26.5	0.10	1.74	0.35	88.83	0.00

ตารางที่ ก.5 ผลการดำเนินระบบแบบอนุกรมกรองผ่านเมมเบรนMF ขนาดรูพรุน 5 μm แล้วนำมาดำเนินระบบผ่านเมมเบรนMF ขนาดรูพรุน 1.2 μm ความดัน 103.39 kPa

Time (min)	Time (hour)	Temp (°C)	Permeate x10 <sup>-4</sup> (m <sup>3</sup> )	Area of membrane x10 <sup>-3</sup> (m <sup>2</sup> )	Flux (J <sub>v</sub> ) (m <sup>3</sup> /m <sup>2</sup> .h)	J <sub>o</sub>	J <sub>v</sub> /J <sub>o</sub>
0	0.00	26.5	6.00	1.74	20.76	20.76	1.00
1	0.02	26.5	2.33	1.74	8.07	20.76	0.39
2	0.03	26.5	1.30	1.74	4.51	20.76	0.22
3	0.05	26.5	0.84	1.74	2.91	20.76	0.14
4	0.07	26.5	0.59	1.74	2.06	20.76	0.10
5	0.08	26.5	0.44	1.74	1.51	20.76	0.07
10	0.17	26.5	0.17	1.74	0.58	20.76	0.03
15	0.25	26.5	0.11	1.74	0.37	20.76	0.02
30	0.50	26.5	0.07	1.74	0.23	20.76	0.01
45	0.75	26.5	0.05	1.74	0.18	20.76	0.01
60	1.00	26.5	0.04	1.74	0.15	20.76	0.01

ตารางที่ ก.6 ผลการดำเนินระบบแบบอนุกรมกรองผ่านเมมเบรนMF ขนาดรูพรุน 1.2 μm แล้วนำมาดำเนินระบบผ่านเมมเบรนMF ขนาดรูพรุน 0.45 μm ความดัน 103.39 kPa

Time (min)	Time (hour)	Temp (°C)	Permeate x10 <sup>-4</sup> (m <sup>3</sup> )	Area of membrane x10 <sup>-3</sup> (m <sup>2</sup> )	Flux (J <sub>v</sub> ) (m <sup>3</sup> /m <sup>2</sup> .h)	J <sub>o</sub>	J <sub>v</sub> /J <sub>o</sub>
0	0.00	26.5	8.02	1.74	27.75	27.75	1.00
1	0.02	26.5	3.41	1.74	11.79	27.75	0.42
2	0.03	26.5	1.57	1.74	5.42	27.75	0.20
3	0.05	26.5	0.87	1.74	3.00	27.75	0.11
4	0.07	26.5	0.55	1.74	1.91	27.75	0.07
5	0.08	26.5	0.39	1.74	1.34	27.75	0.05
10	0.17	26.5	0.17	1.74	0.58	27.75	0.02
15	0.25	26.5	0.11	1.74	0.39	27.75	0.01
30	0.50	26.5	0.08	1.74	0.26	27.75	0.01
45	0.75	26.5	0.06	1.74	0.21	27.75	0.01
60	1.00	26.5	0.06	1.74	0.21	27.75	0.01

ตารางที่ ก.7 ผลการคำนวณระบบของน้ำผิวดินผ่านแมมเบรน MF แบบอนุกรมขนาดรูรูน 5 μm

ความดัน 137.86 kPa

Time (min)	Time (hour)	Temp ( °C )	Permeate x10 <sup>-4</sup> (m <sup>3</sup> )	Area of membrane x10 <sup>-3</sup> (m <sup>2</sup> )	Flux (J <sub>v</sub> ) (m <sup>3</sup> /m <sup>2</sup> .h)	J <sub>o</sub>	J <sub>v</sub> /J <sub>o</sub>
0	0.00	26.5	7.87	1.74	27.22	27.22	1.00
1	0.02	26.5	4.15	1.74	14.36	27.22	0.53
2	0.03	26.5	2.31	1.74	8.01	27.22	0.29
3	0.05	26.5	1.47	1.74	5.09	27.22	0.19
4	0.07	26.5	0.97	1.74	3.36	27.22	0.12
5	0.08	26.5	0.68	1.74	2.34	27.22	0.09
10	0.17	26.5	0.22	1.74	0.76	27.22	0.03
15	0.25	26.5	0.14	1.74	0.49	27.22	0.02
30	0.50	26.5	0.08	1.74	0.29	27.22	0.01
45	0.75	26.5	0.06	1.74	0.22	27.22	0.01
60	1.00	26.5	0.05	1.74	0.19	27.22	0.01

ตารางที่ ก.8 ผลการคำนวณระบบแบบอนุกรมกรองผ่านแมมเบรน MF ขนาดรูรูน 5 μm แล้วนำมา

คำนวณระบบผ่านแมมเบรน MF ขนาดรูรูน 1.2 μm ความดัน 137.86 kPa

Time (min)	Time (hour)	Temp ( °C )	Permeate x10 <sup>-4</sup> (m <sup>3</sup> )	Area of membrane x10 <sup>-3</sup> (m <sup>2</sup> )	Flux (J <sub>v</sub> ) (m <sup>3</sup> /m <sup>2</sup> .h)	J <sub>o</sub>	J <sub>v</sub> /J <sub>o</sub>
0	0.00	26.5	5.79	1.74	20.01	20.01	1.00
1	0.02	26.5	1.63	1.74	5.64	20.01	0.28
2	0.03	26.5	0.78	1.74	2.68	20.01	0.13
3	0.05	26.5	0.47	1.74	1.63	20.01	0.08
4	0.07	26.5	0.34	1.74	1.16	20.01	0.06
5	0.08	26.5	0.27	1.74	0.92	20.01	0.05
10	0.17	26.5	0.15	1.74	0.51	20.01	0.03
15	0.25	26.5	0.12	1.74	0.43	20.01	0.02
30	0.50	26.5	0.08	1.74	0.28	20.01	0.01
45	0.75	26.5	0.07	1.74	0.23	20.01	0.01
60	1.00	26.5	0.05	1.74	0.19	20.01	0.01

ตารางที่ ก.9 ผลการดำเนินระบบแบบอนุกรมกรองผ่านเมมเบรนMF ขนาดรูพรุน  $1.2 \mu\text{m}$  แล้วนำมาดำเนินระบบผ่านเมมเบรนMF ขนาดรูพรุน  $0.45 \mu\text{m}$  ความดัน  $137.86 \text{ kPa}$

Time (min)	Time (hour)	Temp (°C)	Permeate $\times 10^{-4} (\text{m}^3)$	Area of membrane $\times 10^{-3} (\text{m}^2)$	Flux ( $J_v$ ) $(\text{m}^3/\text{m}^2 \cdot \text{h})$	$J_o$	$J_v/J_o$
0	0.00	26.5	2.02	1.74	7.00	7.00	1.00
1	0.02	26.5	0.99	1.74	3.42	7.00	0.49
2	0.03	26.5	0.57	1.74	1.99	7.00	0.28
3	0.05	26.5	0.36	1.74	1.23	7.00	0.18
4	0.07	26.5	0.25	1.74	0.87	7.00	0.12
5	0.08	26.5	0.20	1.74	0.70	7.00	0.10
10	0.17	26.5	0.12	1.74	0.43	7.00	0.06
15	0.25	26.5	0.10	1.74	0.35	7.00	0.05
30	0.50	26.5	0.07	1.74	0.25	7.00	0.04
45	0.75	26.5	0.06	1.74	0.20	7.00	0.03
60	1.00	26.5	0.05	1.74	0.18	7.00	0.03

ตารางที่ ก.10 ผลการดำเนินระบบของน้ำผิวดินผ่านเมมเบรนMF แบบอนุกรมขนาดรูพรุน  $5 \mu\text{m}$  ความดัน  $172.32 \text{ kPa}$

Time (min)	Time (hour)	Temp (°C)	Permeate $\times 10^{-4} (\text{m}^3)$	Area of membrane $\times 10^{-3} (\text{m}^2)$	Flux ( $J_v$ ) $(\text{m}^3/\text{m}^2 \cdot \text{h})$	$J_o$	$J_v/J_o$
0	0.00	26.5	2.26	1.74	7.83	7.83	1.00
1	0.02	26.5	1.31	1.74	4.52	7.83	0.58
2	0.03	26.5	0.71	1.74	2.44	7.83	0.31
3	0.05	26.5	0.44	1.74	1.52	7.83	0.19
4	0.07	26.5	0.31	1.74	1.06	7.83	0.14
5	0.08	26.5	0.23	1.74	0.80	7.83	0.10
10	0.17	26.5	0.12	1.74	0.42	7.83	0.05
15	0.25	26.5	0.09	1.74	0.32	7.83	0.04
30	0.50	26.5	0.06	1.74	0.22	7.83	0.03
45	0.75	26.5	0.05	1.74	0.19	7.83	0.02
60	1.00	26.5	0.04	1.74	0.15	7.83	0.02

ตารางที่ ก.11 ผลการดำเนินระบบแบบอนุกรมกรองผ่านเมมเบรนMF ขนาดรูพรุน 5 μm แล้วนำมาดำเนินระบบผ่านเมมเบรนMF ขนาดรูพรุน 1.2 μm ความดัน 172.32 kPa

Time (min)	Time (hour)	Temp (°C)	Permeate x10 <sup>-4</sup> (m <sup>3</sup> )	Area of membrane x10 <sup>-3</sup> (m <sup>2</sup> )	Flux (J <sub>v</sub> ) (m <sup>3</sup> /m <sup>2</sup> .h)	J <sub>o</sub>	J <sub>v</sub> /J <sub>o</sub>
0	0.00	26.5	1.82	1.74	6.31	6.31	1.00
1	0.02	26.5	0.62	1.74	2.16	6.31	0.34
2	0.03	26.5	0.35	1.74	1.20	6.31	0.19
3	0.05	26.5	0.24	1.74	0.82	6.31	0.13
4	0.07	26.5	0.18	1.74	0.63	6.31	0.10
5	0.08	26.5	0.15	1.74	0.52	6.31	0.08
10	0.17	26.5	0.09	1.74	0.32	6.31	0.05
15	0.25	26.5	0.08	1.74	0.27	6.31	0.04
30	0.50	26.5	0.06	1.74	0.19	6.31	0.03
45	0.75	26.5	0.05	1.74	0.16	6.31	0.03
60	1.00	26.5	0.04	1.74	0.14	6.31	0.02

ตารางที่ ก.12 ผลการดำเนินระบบแบบอนุกรมกรองผ่านเมมเบรนMF ขนาดรูพรุน 1.2 μm แล้วนำมาระบบผ่านเมมเบรนMF ขนาดรูพรุน 0.45 μm ความดัน 172.32 kPa

Time (min)	Time (hour)	Temp (°C)	Permeate x10 <sup>-4</sup> (m <sup>3</sup> )	Area of membrane x10 <sup>-3</sup> (m <sup>2</sup> )	Flux (J <sub>v</sub> ) (m <sup>3</sup> /m <sup>2</sup> .h)	J <sub>o</sub>	J <sub>v</sub> /J <sub>o</sub>
0	0.00	26.5	0.82	1.74	2.82	2.82	1.00
1	0.02	26.5	0.45	1.74	1.57	2.82	0.56
2	0.03	26.5	0.32	1.74	1.12	2.82	0.40
3	0.05	26.5	0.25	1.74	0.87	2.82	0.31
4	0.07	26.5	0.21	1.74	0.72	2.82	0.26
5	0.08	26.5	0.18	1.74	0.62	2.82	0.22
10	0.17	26.5	0.12	1.74	0.40	2.82	0.14
15	0.25	26.5	0.09	1.74	0.31	2.82	0.11
30	0.50	26.5	0.07	1.74	0.25	2.82	0.09
45	0.75	26.5	0.06	1.74	0.21	2.82	0.08
60	1.00	26.5	0.05	1.74	0.16	2.82	0.06

ตารางที่ ก.13 ผลการดำเนินระบบของน้ำผิวดินผ่านเมมเบรนMF แบบกระดาษครุพุน 5 μm  
ความดัน 68.93 kPa

Time (min)	Time (hour)	Temp (°C)	Permeate x10 <sup>-4</sup> (m <sup>3</sup> )	Area of membrane x10 <sup>-3</sup> (m <sup>2</sup> )	Flux (J <sub>v</sub> ) (m <sup>3</sup> /m <sup>2</sup> .h)	J <sub>o</sub>	J <sub>v</sub> /J <sub>o</sub>
0	0.00	26.5	2.68	1.74	9.26	9.26	1.00
1	0.02	26.5	0.55	1.74	1.91	9.26	0.21
2	0.03	26.5	0.36	1.74	1.25	9.26	0.14
3	0.05	26.5	0.29	1.74	0.99	9.26	0.11
4	0.07	26.5	0.24	1.74	0.84	9.26	0.09
5	0.08	26.5	0.21	1.74	0.74	9.26	0.08
10	0.17	26.5	0.14	1.74	0.49	9.26	0.05
15	0.25	26.5	0.11	1.74	0.37	9.26	0.04
30	0.50	26.5	0.08	1.74	0.27	9.26	0.03
45	0.75	26.5	0.06	1.74	0.21	9.26	0.02
60	1.00	26.5	0.05	1.74	0.19	9.26	0.02

ตารางที่ ก.14 ผลการดำเนินระบบของน้ำผิวดินผ่านเมมเบรนMF แบบกระดาษครุพุน 1.2 μm  
ความดัน 68.93 kPa

Time (min)	Time (hour)	Temp (°C)	Permeate x10 <sup>-4</sup> (m <sup>3</sup> )	Area of membrane x10 <sup>-3</sup> (m <sup>2</sup> )	Flux (J <sub>v</sub> ) (m <sup>3</sup> /m <sup>2</sup> .h)	J <sub>o</sub>	J <sub>v</sub> /J <sub>o</sub>
0	0.00	26.5	19.23	1.74	66.52	66.52	1.00
1	0.02	26.5	10.28	1.74	35.56	66.52	0.53
2	0.03	26.5	4.30	1.74	14.87	66.52	0.22
3	0.05	26.5	2.31	1.74	8.00	66.52	0.12
4	0.07	26.5	0.96	1.74	3.32	66.52	0.05
5	0.08	26.5	0.48	1.74	1.66	66.52	0.03
10	0.17	26.5	0.33	1.74	1.13	66.52	0.02
15	0.25	26.5	0.22	1.74	0.77	66.52	0.01
30	0.50	26.5	0.13	1.74	0.46	66.52	0.01
45	0.75	26.5	0.10	1.74	0.35	66.52	0.01
60	1.00	26.5	0.08	1.74	0.28	66.52	0.00

ตารางที่ ก.15 ผลการดำเนินระบบของน้ำผิวดินผ่านเมมเบรนMF แบบกระดาษครุพุน  $0.45 \mu\text{m}$   
ความดัน  $68.93 \text{ kPa}$

Time (min)	Time (hour)	Temp (°C)	Permeate $\times 10^{-4} (\text{m}^3)$	Area of membrane $\times 10^{-3} (\text{m}^2)$	Flux ( $J_v$ ) $(\text{m}^3/\text{m}^2 \cdot \text{h})$	$J_o$	$J_v/J_o$
0	0.00	26.5	24.30	1.74	84.02	84.02	1.00
1	0.02	26.5	12.20	1.74	42.18	84.02	0.50
2	0.03	26.5	5.72	1.74	19.77	84.02	0.24
3	0.05	26.5	2.91	1.74	10.07	84.02	0.12
4	0.07	26.5	1.74	1.74	6.01	84.02	0.07
5	0.08	26.5	1.18	1.74	4.08	84.02	0.05
10	0.17	26.5	0.42	1.74	1.44	84.02	0.02
15	0.25	26.5	0.28	1.74	0.95	84.02	0.01
30	0.50	26.5	0.16	1.74	0.55	84.02	0.01
45	0.75	26.5	0.12	1.74	0.41	84.02	0.00
60	1.00	26.5	0.10	1.74	0.34	84.02	0.00

ตารางที่ ก.16 ผลการดำเนินระบบของน้ำผิวดินผ่านเมมเบรนMF แบบกระดาษครุพุน  $5 \mu\text{m}$   
ความดัน  $103.39 \text{ kPa}$

Time (min)	Time (hour)	Temp (°C)	Permeate $\times 10^{-4} (\text{m}^3)$	Area of membrane $\times 10^{-3} (\text{m}^2)$	Flux ( $J_v$ ) $(\text{m}^3/\text{m}^2 \cdot \text{h})$	$J_o$	$J_v/J_o$
0	0.00	26.5	25.69	1.74	88.83	88.83	1.00
1	0.02	26.5	14.01	1.74	48.45	88.83	0.55
2	0.03	26.5	7.00	1.74	24.19	88.83	0.27
3	0.05	26.5	3.81	1.74	13.17	88.83	0.15
4	0.07	26.5	2.36	1.74	8.16	88.83	0.09
5	0.08	26.5	1.59	1.74	5.51	88.83	0.06
10	0.17	26.5	0.45	1.74	1.57	88.83	0.02
15	0.25	26.5	0.28	1.74	0.98	88.83	0.01
30	0.50	26.5	0.16	1.74	0.55	88.83	0.01
45	0.75	26.5	0.12	1.74	0.41	88.83	0.00
60	1.00	26.5	0.10	1.74	0.35	88.83	0.00

ตารางที่ ก.17 ผลการดำเนินระบบของน้ำผิวดินผ่านมемเบรน MF แบบกระดาษครูพรุน  $1.2 \mu\text{m}$   
ความดัน  $103.39 \text{ kPa}$

Time (min)	Time (hour)	Temp (°C)	Permeate $\times 10^{-4} (\text{m}^3)$	Area of membrane $\times 10^{-3} (\text{m}^2)$	Flux ( $J_v$ ) ( $\text{m}^3/\text{m}^2 \cdot \text{h}$ )	$J_o$	$J_v/J_o$
0	0.00	26.5	1.41	1.74	4.87	4.87	1.00
1	0.02	26.5	0.26	1.74	0.90	4.87	0.19
2	0.03	26.5	0.19	1.74	0.67	4.87	0.14
3	0.05	26.5	0.17	1.74	0.57	4.87	0.12
4	0.07	26.5	0.13	1.74	0.44	4.87	0.09
5	0.08	26.5	0.12	1.74	0.41	4.87	0.08
10	0.17	26.5	0.08	1.74	0.27	4.87	0.05
15	0.25	26.5	0.06	1.74	0.21	4.87	0.04
30	0.50	26.5	0.04	1.74	0.12	4.87	0.03
45	0.75	26.5	0.04	1.74	0.13	4.87	0.03
60	1.00	26.5	0.03	1.74	0.09	4.87	0.02

ตารางที่ ก.18 ผลการดำเนินระบบของน้ำผิวดินผ่านมемเบรน MF แบบกระดาษครูพรุน  $0.45 \mu\text{m}$   
ความดัน  $103.39 \text{ kPa}$

Time (min)	Time (hour)	Temp (°C)	Permeate $\times 10^{-4} (\text{m}^3)$	Area of membrane $\times 10^{-3} (\text{m}^2)$	Flux ( $J_v$ ) ( $\text{m}^3/\text{m}^2 \cdot \text{h}$ )	$J_o$	$J_v/J_o$
0	0.00	26.5	1.54	1.74	5.31	5.31	1.00
1	0.02	26.5	0.29	1.74	1.00	5.31	0.19
2	0.03	26.5	0.21	1.74	0.73	5.31	0.14
3	0.05	26.5	0.17	1.74	0.58	5.31	0.11
4	0.07	26.5	0.14	1.74	0.48	5.31	0.09
5	0.08	26.5	0.12	1.74	0.42	5.31	0.08
10	0.17	26.5	0.08	1.74	0.27	5.31	0.05
15	0.25	26.5	0.07	1.74	0.26	5.31	0.05
30	0.50	26.5	0.04	1.74	0.14	5.31	0.03
45	0.75	26.5	0.03	1.74	0.11	5.31	0.02
60	1.00	26.5	0.04	1.74	0.13	5.31	0.02

ตารางที่ ก.19 ผลการดำเนินระบบของน้ำผิวดินผ่านมembran MF แบบกระชนาครูพรุน  $5 \mu\text{m}$   
ความดัน 137.86 kPa

Time (min)	Time (hour)	Temp (°C)	Permeate $\times 10^{-4} (\text{m}^3)$	Area of membrane $\times 10^{-3} (\text{m}^2)$	Flux ( $J_v$ ) ( $\text{m}^3/\text{m}^2 \cdot \text{h}$ )	$J_o$	$J_v/J_o$
0	0.00	26.5	4.12	1.74	14.24	14.24	1.00
1	0.02	26.5	1.26	1.74	4.36	14.24	0.31
2	0.03	26.5	0.51	1.74	1.78	14.24	0.12
3	0.05	26.5	0.27	1.74	0.94	14.24	0.07
4	0.07	26.5	0.18	1.74	0.63	14.24	0.04
5	0.08	26.5	0.15	1.74	0.51	14.24	0.04
10	0.17	26.5	0.10	1.74	0.33	14.24	0.02
15	0.25	26.5	0.08	1.74	0.26	14.24	0.02
30	0.50	26.5	0.05	1.74	0.19	14.24	0.01
45	0.75	26.5	0.05	1.74	0.19	14.24	0.01
60	1.00	26.5	0.04	1.74	0.13	14.24	0.01

ตารางที่ ก.20 ผลการดำเนินระบบของน้ำผิวดินผ่านมembran MF แบบกระชนาครูพรุน  $1.2 \mu\text{m}$   
ความดัน 137.86 kPa

Time (min)	Time (hour)	Temp (°C)	Permeate $\times 10^{-4} (\text{m}^3)$	Area of membrane $\times 10^{-3} (\text{m}^2)$	Flux ( $J_v$ ) ( $\text{m}^3/\text{m}^2 \cdot \text{h}$ )	$J_o$	$J_v/J_o$
0	0.00	26.5	10.32	1.74	35.70	35.70	1.00
1	0.02	26.5	3.68	1.74	12.74	35.70	0.36
2	0.03	26.5	1.68	1.74	5.82	35.70	0.16
3	0.05	26.5	0.82	1.74	2.82	35.70	0.08
4	0.07	26.5	0.44	1.74	1.51	35.70	0.04
5	0.08	26.5	0.26	1.74	0.91	35.70	0.03
10	0.17	26.5	0.11	1.74	0.37	35.70	0.01
15	0.25	26.5	0.08	1.74	0.28	35.70	0.01
30	0.50	26.5	0.06	1.74	0.21	35.70	0.01
45	0.75	26.5	0.05	1.74	0.16	35.70	0.00
60	1.00	26.5	0.04	1.74	0.14	35.70	0.00

ตารางที่ ก.21 ผลการดำเนินระบบของน้ำผิวดินผ่านแม่เปรนแบบMF ขนาดกรวยพูน  $0.45 \mu\text{m}$   
ความดัน  $137.86 \text{ kPa}$

Time (min)	Time (hour)	Temp (°C)	Permeate $\times 10^{-4} (\text{m}^3)$	Area of membrane $\times 10^{-3} (\text{m}^2)$	Flux ( $J_v$ ) ( $\text{m}^3/\text{m}^2 \cdot \text{h}$ )	$J_o$	$J_v/J_o$
0	0.00	26.5	0.53	1.74	1.84	1.84	1.00
1	0.02	26.5	0.24	1.74	0.84	1.84	0.46
2	0.03	26.5	0.18	1.74	0.62	1.84	0.34
3	0.05	26.5	0.15	1.74	0.52	1.84	0.28
4	0.07	26.5	0.13	1.74	0.44	1.84	0.24
5	0.08	26.5	0.12	1.74	0.40	1.84	0.22
10	0.17	26.5	0.08	1.74	0.26	1.84	0.14
15	0.25	26.5	0.06	1.74	0.21	1.84	0.12
30	0.50	26.5	0.04	1.74	0.15	1.84	0.08
45	0.75	26.5	0.04	1.74	0.13	1.84	0.07
60	1.00	26.5	0.03	1.74	0.11	1.84	0.06

ตารางที่ ก.22 ผลการดำเนินระบบของน้ำผิวดินผ่านแม่เปรนMF แบบขนาดกรวยพูน  $5 \mu\text{m}$   
ความดัน  $172.32 \text{ kPa}$

Time (min)	Time (hour)	Temp (°C)	Permeate $\times 10^{-4} (\text{m}^3)$	Area of membrane $\times 10^{-3} (\text{m}^2)$	Flux ( $J_v$ ) ( $\text{m}^3/\text{m}^2 \cdot \text{h}$ )	$J_o$	$J_v/J_o$
0	0.00	26.5	0.56	1.74	1.94	1.94	1.00
1	0.02	26.5	0.25	1.74	0.85	1.94	0.44
2	0.03	26.5	0.18	1.74	0.62	1.94	0.32
3	0.05	26.5	0.16	1.74	0.55	1.94	0.28
4	0.07	26.5	0.13	1.74	0.45	1.94	0.23
5	0.08	26.5	0.12	1.74	0.40	1.94	0.21
10	0.17	26.5	0.08	1.74	0.27	1.94	0.14
15	0.25	26.5	0.06	1.74	0.22	1.94	0.11
30	0.50	26.5	0.04	1.74	0.15	1.94	0.07
45	0.75	26.5	0.03	1.74	0.12	1.94	0.06
60	1.00	26.5	0.03	1.74	0.09	1.94	0.05

ตารางที่ ก.23 ผลการดำเนินระบบของน้ำผิวดินผ่านเมมเบรน MF แบบกระดาษครูพรุน  $1.2 \mu\text{m}$   
ความดัน  $172.32 \text{ kPa}$

Time (min)	Time (hour)	Temp (°C)	Permeate $\times 10^{-4} (\text{m}^3)$	Area of membrane $\times 10^{-3} (\text{m}^2)$	Flux ( $J_v$ ) ( $\text{m}^3/\text{m}^2 \cdot \text{h}$ )	$J_o$	$J_v/J_o$
0	0.00	26.5	0.83	1.74	2.89	2.89	1.00
1	0.02	26.5	0.28	1.74	0.96	2.89	0.33
2	0.03	26.5	0.20	1.74	0.69	2.89	0.24
3	0.05	26.5	0.16	1.74	0.56	2.89	0.19
4	0.07	26.5	0.14	1.74	0.48	2.89	0.16
5	0.08	26.5	0.12	1.74	0.43	2.89	0.15
10	0.17	26.5	0.08	1.74	0.29	2.89	0.10
15	0.25	26.5	0.07	1.74	0.24	2.89	0.08
30	0.50	26.5	0.05	1.74	0.16	2.89	0.06
45	0.75	26.5	0.04	1.74	0.14	2.89	0.05
60	1.00	26.5	0.03	1.74	0.12	2.89	0.04

ตารางที่ ก.24 ผลการดำเนินระบบของน้ำผิวดินผ่านเมมเบรน MF แบบกระดาษครูพรุน  $0.45 \mu\text{m}$   
ความดัน  $172.32 \text{ kPa}$

Time (min)	Time (hour)	Temp (°C)	Permeate $\times 10^{-4} (\text{m}^3)$	Area of membrane $\times 10^{-3} (\text{m}^2)$	Flux ( $J_v$ ) ( $\text{m}^3/\text{m}^2 \cdot \text{h}$ )	$J_o$	$J_v/J_o$
0	0.00	26.5	0.86	1.74	2.97	2.97	1.00
1	0.02	26.5	0.29	1.74	1.00	2.97	0.34
2	0.03	26.5	0.20	1.74	0.70	2.97	0.23
3	0.05	26.5	0.17	1.74	0.57	2.97	0.19
4	0.07	26.5	0.14	1.74	0.48	2.97	0.16
5	0.08	26.5	0.12	1.74	0.43	2.97	0.14
10	0.17	26.5	0.09	1.74	0.30	2.97	0.10
15	0.25	26.5	0.07	1.74	0.24	2.97	0.08
30	0.50	26.5	0.05	1.74	0.16	2.97	0.05
45	0.75	26.5	0.04	1.74	0.13	2.97	0.04
60	1.00	26.5	0.03	1.74	0.11	2.97	0.04

ตารางที่ ก.25 ผลการดำเนินระบบของน้ำสังเคราะห์ผ่านแมมเบรนMF แบบอนุกรมขนาดรูปrun  
5 μm ความดัน 172.32 kPa

Time (min)	Time (hour)	Temp ( °C )	Permeate x10 <sup>-4</sup> (m <sup>3</sup> )	Area of membrane x10 <sup>-3</sup> (m <sup>2</sup> )	Flux (J <sub>v</sub> ) (m <sup>3</sup> /m <sup>2</sup> .h)	J <sub>o</sub>	J <sub>v</sub> /J <sub>o</sub>
0	0.00	26.5	19.23	1.74	66.52	66.52	1.00
1	0.02	26.5	10.28	1.74	35.56	66.52	0.53
2	0.03	26.5	4.30	1.74	14.87	66.52	0.22
3	0.05	26.5	2.31	1.74	8.00	66.52	0.12
4	0.07	26.5	0.96	1.74	3.32	66.52	0.05
5	0.08	26.5	0.48	1.74	1.66	66.52	0.03
10	0.17	26.5	0.33	1.74	1.13	66.52	0.02
15	0.25	26.5	0.22	1.74	0.77	66.52	0.01
30	0.50	26.5	0.13	1.74	0.46	66.52	0.01
45	0.75	26.5	0.10	1.74	0.35	66.52	0.01
60	1.00	26.5	0.08	1.74	0.28	66.52	0.00

ตารางที่ ก.26 ผลการดำเนินระบบแบบอนุกรมกรองผ่านแมมเบรนMF ขนาดรูปrun 5 μm แล้วนำมาดำเนินระบบผ่านแมมเบรนMF ขนาดรูปrun 1.2 μm ความดัน 172.32 kPa

Time (min)	Time (hour)	Temp ( °C )	Permeate x10 <sup>-4</sup> (m <sup>3</sup> )	Area of membrane x10 <sup>-3</sup> (m <sup>2</sup> )	Flux (J <sub>v</sub> ) (m <sup>3</sup> /m <sup>2</sup> .h)	J <sub>o</sub>	J <sub>v</sub> /J <sub>o</sub>
0	0.00	26.5	9.98	1.74	34.51	34.51	1.00
1	0.02	26.5	5.53	1.74	19.13	34.51	0.55
2	0.03	26.5	3.66	1.74	12.67	34.51	0.37
3	0.05	26.5	2.96	1.74	10.23	34.51	0.30
4	0.07	26.5	2.49	1.74	8.59	34.51	0.25
5	0.08	26.5	2.13	1.74	7.37	34.51	0.21
10	0.17	26.5	1.35	1.74	4.66	34.51	0.14
15	0.25	26.5	1.06	1.74	3.67	34.51	0.11
30	0.50	26.5	0.87	1.74	3.00	34.51	0.09
45	0.75	26.5	0.58	1.74	1.99	34.51	0.06
60	1.00	26.5	0.50	1.74	1.72	34.51	0.05

ตารางที่ ก.27 ผลการดำเนินระบบแบบอนุกรมกรองผ่านเมมเบรน MF ขนาดรูพรุน  $1.2 \mu\text{m}$  แล้ว  
นำมาดำเนินระบบผ่านเมมเบรน MF ขนาดรูพรุน  $0.45 \mu\text{m}$  ความดัน  $172.32 \text{ kPa}$

Time (min)	Time (hour)	Temp (°C)	Permeate $\times 10^{-4} (\text{m}^3)$	Area of membrane $\times 10^{-3} (\text{m}^2)$	Flux ( $J_v$ ) $(\text{m}^3/\text{m}^2.\text{h})$	$J_o$	$J_v/J_o$
0	0.00	26.5	9.50	1.74	32.86	32.86	1.00
1	0.02	26.5	8.77	1.74	30.32	32.86	0.92
2	0.03	26.5	8.35	1.74	28.87	32.86	0.88
3	0.05	26.5	8.03	1.74	27.75	32.86	0.84
4	0.07	26.5	7.88	1.74	27.26	32.86	0.83
5	0.08	26.5	7.47	1.74	25.83	32.86	0.79
10	0.17	26.5	6.26	1.74	21.64	32.86	0.66
15	0.25	26.5	5.52	1.74	19.09	32.86	0.58
30	0.50	26.5	4.98	1.74	17.24	32.86	0.52
45	0.75	26.5	4.15	1.74	14.34	32.86	0.44
60	1.00	26.5	3.73	1.74	12.88	32.86	0.39

ตารางที่ ก.28 ผลการดำเนินระบบของน้ำผิวดินผ่านเมมเบรนแบบ RO ที่ความดัน  $482.51 \text{ kPa}$ .

Time (min)	Temp (°C)	Pave. (psi)	Permeate $\times 10^2$ (L)	Qp (L/h)	Flux (L/m <sup>2</sup> .h)
0	26.2	70	0.43	0.26	18.30
10	26.2	70	0.42	0.25	17.91
20	26.2	70	0.41	0.25	17.57
30	26.3	70	0.41	0.24	17.44
40	26.1	70	0.39	0.24	16.84
50	26.1	70	0.39	0.23	16.59
60	26.6	70	0.38	0.23	16.33
70	26.6	70	0.38	0.23	16.11
80	26.6	70	0.37	0.22	15.94
90	26.6	70	0.37	0.22	15.99
100	26.6	70	0.37	0.22	15.94
110	26.6	70	0.37	0.22	15.73
120	26.6	70	0.37	0.22	15.69
135	26.6	70	0.37	0.22	15.64
150	26.6	70	0.36	0.22	15.43
165	26.6	70	0.36	0.21	15.26
180	26.6	70	0.35	0.21	15.17
195	26.6	70	0.35	0.21	15.09
210	26.6	70	0.35	0.21	15.13
225	26.6	70	0.35	0.21	15.04
240	26.6	70	0.35	0.21	15.00

ตารางที่ ก.29 ผลการดำเนินระบบของน้ำผิวดินผ่านการบำบัดเบื้องต้นด้วยแมมนเบรนMF ขนาดรูพรุน 5  $\mu\text{m}$  แล้วนำมารองผ่านแมมนเบรนแบบ RO ที่ความดัน 482.51 kPa.

Time (min)	Temp (°C)	Pave. (psi)	Permeate $\times 10^2$ (L)	Qp (L/h)	Flux (L/m <sup>2</sup> .h)
0	26.2	70	0.43	0.26	18.34
10	26.2	70	0.43	0.26	18.26
20	26.2	70	0.43	0.26	18.21
30	26.3	70	0.42	0.25	18.17
40	26.1	70	0.42	0.25	18.09
50	26.1	70	0.42	0.25	17.91
60	26.6	70	0.42	0.25	17.79
70	26.6	70	0.41	0.25	17.66
80	26.6	70	0.41	0.25	17.53
90	26.6	70	0.41	0.25	17.53
100	26.6	70	0.41	0.25	17.66
110	26.6	70	0.41	0.25	17.61
120	26.6	70	0.41	0.25	17.53
135	26.6	70	0.41	0.25	17.61
150	26.6	70	0.41	0.25	17.49
165	26.6	70	0.41	0.25	17.53
180	26.6	70	0.41	0.25	17.57
195	26.6	70	0.41	0.25	17.53
210	26.6	70	0.41	0.24	17.44
225	26.6	70	0.41	0.24	17.36
240	26.6	70	0.40	0.24	17.27

ตารางที่ ก.30 ผลการดำเนินระบบของนำผิวคินผ่านการบำบัดเบื้องต้นด้วยเมมเบรน MF ขนาดรูพุน  $1.2 \mu\text{m}$  และวันนำมารองผ่านเมมเบรนแบบ RO ที่ความดัน  $482.51 \text{ kPa}$ .

Time (min)	Temp (°C)	Pave (psi)	Permeate $\times 10^2$ (L)	Qp (L/h)	Flux (L/m <sup>2</sup> .h)
0	26.2	70	0.50	0.30	21.43
10	26.2	70	0.49	0.29	20.87
20	26.2	70	0.48	0.29	20.49
30	26.3	70	0.47	0.28	20.31
40	26.1	70	0.46	0.28	19.71
50	26.1	70	0.46	0.27	19.50
60	26.6	70	0.46	0.28	19.71
70	26.6	70	0.46	0.28	19.67
80	26.6	70	0.45	0.27	19.07
90	26.6	70	0.44	0.26	18.86
100	26.6	70	0.44	0.27	19.03
110	26.6	70	0.44	0.26	18.86
120	26.6	70	0.43	0.26	18.60
135	26.6	70	0.44	0.26	18.64
150	26.6	70	0.43	0.26	18.56
165	26.6	70	0.43	0.26	18.34
180	26.6	70	0.43	0.26	18.39
195	26.6	70	0.43	0.26	18.43
210	26.6	70	0.43	0.26	18.34
225	26.6	70	0.43	0.26	18.21
240	26.6	70	0.42	0.25	18.17

ตารางที่ ก.31 ผลการดำเนินระบบของน้ำผิวดินผ่านการบำบัดเบื้องต้นด้วย膜มเบรน MF ขนาดรูปุน  $0.45 \mu\text{m}$  และวิธีการกรองผ่าน膜มเบรนแบบ RO ที่ความดัน  $482.51 \text{ kPa}$ .

Time (min)	Temp (°C)	Pave. (psi)	Permeate $\times 10^2$ (L)	Qp (L/h)	Flux (L/m <sup>2</sup> .h)
0	26.2	70	0.49	0.30	21.09
10	26.2	70	0.48	0.29	20.74
20	26.2	70	0.47	0.28	20.31
30	26.3	70	0.47	0.28	20.01
40	26.1	70	0.47	0.28	20.14
50	26.1	70	0.46	0.28	19.80
60	26.6	70	0.47	0.28	20.14
70	26.6	70	0.47	0.28	20.14
80	26.6	70	0.46	0.27	19.54
90	26.6	70	0.45	0.27	19.46
100	26.6	70	0.45	0.27	19.33
110	26.6	70	0.45	0.27	19.16
120	26.6	70	0.45	0.27	19.24
135	26.6	70	0.45	0.27	19.11
150	26.6	70	0.45	0.27	19.16
165	26.6	70	0.45	0.27	19.11
180	26.6	70	0.44	0.27	19.03
195	26.6	70	0.44	0.27	18.94
210	26.6	70	0.44	0.26	18.86
225	26.6	70	0.44	0.27	18.94
240	26.6	70	0.44	0.27	18.99

## ภาคผนวก ข

ผลการกำจัดความชื้นและสารอินทรีย์ครึ่งอนทั้งหมด  
เมื่อคำนวณระบบของน้ำผิวดินผ่านแมมนแบรนแบบไมโครฟิลเตอร์ชัน  
และออสโตรโอมิสัยอ่อนกลับ

**ภาคผนวก ข**

**ผลการกำจัดความ浑浊และสารอินทรีย์ครึ่งอนึ่งหมุด**  
**เมื่อคำนวณระบบของน้ำผิวดินผ่านแมมนเบรนแบบไมโครฟิลเตอร์ชั้น**  
**และออลโนวิสัยอนกัลับ**

**ตารางที่ ข.1 ผลการกำจัดความ浑浊และสารอินทรีย์ครึ่งอนึ่งหมุด เมื่อคำนวณระบบของน้ำผิวดิน**  
**ผ่านแมมนเบรนMF แบบอนุกรมขนาดรูพรุน 5 μm ความดัน 68.93 kPa**

Time (min)	Temp (°C)	Turbidity (NTU)	Rejection Turbidity (%)	UV (cm <sup>-1</sup> )	Rejection UV (%)	TOC (mg/l)	Rejection TOC (%)
0	25.6	4.85	0.00	0.15	0.00	4.42	0.00
10	25.6	2.68	44.82	0.14	2.70	3.92	11.31
20	25.6	2.14	55.98	0.14	4.73	3.90	11.76
30	25.6	1.64	66.16	0.14	6.76	3.81	13.80
40	25.6	1.22	74.93	0.13	11.49	3.80	14.03
50	25.6	1.18	75.71	0.12	16.22	3.78	14.48
60	25.6	1.16	76.00	0.12	16.89	3.76	14.93

**ตารางที่ ข.2 ผลการกำจัดความ浑浊และสารอินทรีย์ครึ่งอนึ่งหมุด เมื่อคำนวณระบบกรองผ่าน**  
**แมมนเบรนMF แบบอนุกรมขนาดรูพรุน 5 μm แล้วนำมานำมาคำนวณระบบผ่านแมมนเบรน MF**  
**ขนาดรูพรุน 1.2 μm ความดัน 68.93 kPa**

Time (min)	Temp (°C)	Turbidity (NTU)	Rejection Turbidity (%)	UV (cm <sup>-1</sup> )	Rejection UV (%)	TOC (mg/l)	Rejection TOC (%)
0	25.8	4.85	0.00	0.15	0.00	4.42	0.00
10	25.8	1.10	77.28	0.12	18.24	3.73	15.61
20	25.8	0.91	81.22	0.12	19.59	3.66	17.19
30	25.8	0.89	81.65	0.12	20.27	3.64	17.65
40	25.8	0.87	82.06	0.12	20.95	3.59	18.78
50	25.8	0.86	82.27	0.12	20.95	3.54	19.91
60	25.8	0.85	82.47	0.12	21.62	3.52	20.36

**ตารางที่ ข.3 ผลการกำจัดความชุ่นและสารอินทรีย์carbонทั้งหมด เมื่อคำนึงระบบกรองผ่าน เมมเบรนMF แบบอนุกรมขนาดรูพรุน 1.2 μm แล้วนำมาดำเนินระบบผ่านเมมเบรน MF ขนาดรูพรุน 0.45 μm ความดัน 68.93 kPa**

Time (min)	Temp (°C )	Turbidity (NTU)	Rejection Turbidity (%)	UV (cm <sup>-1</sup> )	Rejection UV (%)	TOC (mg/l)	Rejection TOC (%)
0	25.7	4.85	0.00	0.15	0.00	4.42	0.00
10	25.7	0.79	83.71	0.12	21.62	3.50	20.81
20	25.7	0.76	84.27	0.12	22.30	3.42	22.62
30	25.7	0.76	84.37	0.11	23.65	3.33	24.66
40	25.7	0.75	84.45	0.11	24.32	3.31	25.11
50	25.7	0.75	84.56	0.11	25.68	3.27	26.02
60	25.7	0.74	84.70	0.11	26.35	3.27	26.02

**ตารางที่ ข.4 ผลการกำจัดความชุ่นและสารอินทรีย์carbонทั้งหมด เมื่อคำนึงระบบของน้ำผิวดิน ผ่าน เมมเบรนMF แบบอนุกรมขนาดรูพรุน 5 μm ความดัน 103.39 kPa**

Time (min)	Temp (°C )	Turbidity (NTU)	Rejection Turbidity (%)	UV (cm <sup>-1</sup> )	Rejection UV (%)	TOC (mg/l)	Rejection TOC (%)
0	4.850	4.85	0.00	0.15	0.00	4.42	0.00
10	2.413	2.41	50.25	0.14	4.73	3.91	11.54
20	2.011	2.01	58.54	0.14	5.41	3.92	11.43
30	1.532	1.53	68.41	0.14	8.11	3.83	13.35
40	1.198	1.20	75.30	0.13	14.19	3.79	14.25
50	1.110	1.11	77.11	0.13	14.86	3.66	17.19
60	1.109	1.11	77.13	0.12	18.24	3.54	19.91

**ตารางที่ ข.5 ผลการกำจัดความชุ่นและสารอินทรีย์carbонทั้งหมด เมื่อคำนึงระบบกรองผ่าน เมมเบรนMF แบบอนุกรมขนาดรูพรุน 5 μm แล้วนำมาระบบผ่านเมมเบรนMF ขนาดรูพรุน 1.2 μm ความดัน 103.39 kPa**

Time (min)	Temp (°C )	Turbidity (NTU)	Rejection Turbidity (%)	UV (cm <sup>-1</sup> )	Rejection UV (%)	TOC (mg/l)	Rejection TOC (%)
0	25.7	4.85	0.00	0.15	0.00	4.42	0.00
10	25.7	1.10	77.26	0.12	16.89	3.72	15.84
20	25.7	0.91	81.32	0.12	20.95	3.67	16.97
30	25.7	0.89	81.73	0.12	20.27	3.65	17.42
40	25.7	0.88	81.84	0.12	21.62	3.58	19.00
50	25.7	0.86	82.29	0.12	21.62	3.54	19.91
60	25.7	0.85	82.54	0.11	22.97	3.52	20.36

ตารางที่ ข.6 ผลการกำจัดความชื้นและสารอินทรีย์carbонทั้งหมด เมื่อดำเนินระบบกรองผ่าน  
แม่เมบเรนMF แบบอนุกรมขนาดครูพรุน  $1.2 \mu\text{m}$  แล้วนำมาระบบผ่านแม่เมบเรนMF  
ขนาดครูพรุน  $0.45 \mu\text{m}$  ความดัน  $103.39 \text{ kPa}$

Time (min)	Temp (°C)	Turbidity (NTU)	Rejection Turbidity (%)	UV (cm <sup>-1</sup> )	Rejection UV (%)	TOC (mg/l)	Rejection TOC (%)
0	25.7	4.85	0.00	0.15	0.00	4.42	0.00
10	25.7	0.68	85.96	0.11	22.97	3.48	21.27
20	25.7	0.67	86.29	0.11	22.97	3.44	22.17
30	25.7	0.64	86.74	0.11	24.32	3.29	25.57
40	25.7	0.61	87.38	0.11	25.00	3.27	26.02
50	25.7	0.60	87.71	0.11	26.35	3.25	26.47
60	25.7	0.58	88.00	0.11	27.03	3.24	26.70

ตารางที่ ข.7 ผลการกำจัดความชื้นและสารอินทรีย์carbонทั้งหมด เมื่อดำเนินระบบของน้ำผิวดิน<sup>\*</sup>  
ผ่านแม่เมบเรนMF แบบอนุกรมขนาดครูพรุน  $5 \mu\text{m}$  ความดัน  $137.86 \text{ kPa}$

Time (min)	Temp (°C)	Turbidity (NTU)	Rejection Turbidity (%)	UV (cm <sup>-1</sup> )	Rejection UV (%)	TOC (mg/l)	Rejection TOC (%)
0	25.6	4.85	0.00	0.15	0.00	4.42	0.00
10	25.6	2.42	50.10	0.14	4.73	3.86	12.67
20	25.6	2.00	58.72	0.14	6.08	3.82	13.57
30	25.6	1.37	71.79	0.14	7.43	3.77	14.71
40	25.6	1.20	75.34	0.13	12.84	3.72	15.84
50	25.6	1.10	77.26	0.12	16.89	3.61	18.33
60	25.6	1.10	77.30	0.12	18.92	3.51	20.59

ตารางที่ ข.8 ผลการกำจัดความชื้นและสารอินทรีย์carbонทั้งหมด เมื่อดำเนินระบบกรองผ่าน  
แม่เมบเรนMF แบบอนุกรมขนาดครูพรุน  $5 \mu\text{m}$  แล้วนำมาระบบผ่านแม่เมบเรน  
ขนาดครูพรุน  $1.2 \mu\text{m}$  ความดัน  $137.86 \text{ kPa}$

Time (min)	Temp (°C)	Turbidity (NTU)	Rejection Turbidity (%)	UV (cm <sup>-1</sup> )	Rejection UV (%)	TOC (mg/l)	Rejection TOC (%)
0	25.5	4.85	0.00	0.15	0.00	4.42	0.00
10	25.5	1.09	77.48	0.12	20.27	3.71	16.02
20	25.5	0.93	80.80	0.12	21.62	3.59	18.71
30	25.5	0.82	83.07	0.11	22.97	3.48	21.31
40	25.5	0.81	83.38	0.11	22.97	3.41	22.85
50	25.5	0.79	83.67	0.11	23.65	3.32	24.89
60	25.5	0.78	83.84	0.11	24.32	3.32	24.93

**ตารางที่ ข.9 ผลการกำจัดความชุ่นและสารอินทรีย์คาร์บอนทั้งหมด เมื่อคำนึงระบบกรองผ่านเมมเบรนMF แบบอนุกรมขนาดรูพรุน 1.2 μm แล้วนำมาดำเนินระบบผ่านเมมเบรน MF ขนาดรูพรุน 0.45 μm ความดัน 137.86 kPa**

Time (min)	Temp (°C )	Turbidity (NTU)	Rejection Turbidity (%)	UV (cm <sup>-1</sup> )	Rejection UV (%)	TOC (mg/l)	Rejection TOC (%)
0	25.6	4.85	0.00	0.15	0.00	4.42	0.00
10	25.6	0.64	86.82	0.11	25.68	3.31	25.11
20	25.6	0.57	88.35	0.11	27.03	3.29	25.57
30	25.6	0.51	89.51	0.11	27.03	3.27	26.02
40	25.6	0.49	89.92	0.11	27.70	3.24	26.70
50	25.6	0.44	90.99	0.11	28.38	3.23	26.92
60	25.6	0.43	91.11	0.11	28.38	3.19	27.83

**ตารางที่ ข.10 ผลการกำจัดความชุ่นและสารอินทรีย์คาร์บอนทั้งหมด เมื่อคำนึงระบบของนำผิวดินผ่านเมมเบรนMFแบบอนุกรมขนาดรูพรุน 5 μm ความดัน 172.32 kPa**

Time (min)	Temp (°C )	Turbidity (NTU)	Rejection Turbidity (%)	UV (cm <sup>-1</sup> )	Rejection UV (%)	TOC (mg/l)	Rejection TOC (%)
0	26	4.85	0.00	0.15	0.00	4.42	0.00
10	26	0.58	87.96	0.14	5.41	3.84	13.12
20	26	0.56	88.41	0.14	7.43	3.80	14.03
30	26	0.49	89.84	0.14	7.43	3.69	16.52
40	26	0.42	91.34	0.13	11.49	3.63	17.87
50	26	0.40	91.86	0.13	14.19	3.61	18.33
60	26	0.38	92.12	0.12	17.57	3.52	20.36

**ตารางที่ ข.11 ผลการกำจัดความชุ่นและสารอินทรีย์คาร์บอนทั้งหมด เมื่อคำนึงระบบกรองผ่านเมมเบรนMF แบบอนุกรมขนาดรูพรุน 5 μm แล้วนำมาดำเนินระบบผ่านเมมเบรน MF ขนาดรูพรุน 1.2 μm ความดัน 172.32 kPa**

Time (min)	Temp (°C )	Turbidity (NTU)	Rejection Turbidity (%)	UV (cm <sup>-1</sup> )	Rejection UV (%)	TOC (mg/l)	Rejection TOC (%)
0	26.5	4.85	0.00	0.15	0.00	4.42	0.00
10	26.5	0.56	88.39	0.12	20.95	3.61	18.24
20	26.5	0.52	89.24	0.12	22.30	3.51	20.68
30	26.5	0.47	90.23	0.11	23.65	3.44	22.17
40	26.5	0.40	91.67	0.11	24.32	3.38	23.53
50	26.5	0.39	91.98	0.11	25.00	3.30	25.38
60	26.5	0.37	92.47	0.11	25.68	3.22	27.13

**ตารางที่ ข.12 ผลการกำจัดความ浑浊และสารอินทรีย์คาร์บอนทั้งหมด เมื่อคำนวณระบบกรองผ่านเมมเบรนMF แบบอนุกรมขนาดครูพรุน 1.2 μm แล้วนำมาคำนวณระบบผ่านเมมเบรน MF ขนาดครูพรุน 0.45 μm ความดัน 172.32 kPa**

Time (min)	Temp (°C)	Turbidity (NTU)	Rejection Turbidity (%)	UV (cm <sup>-1</sup> )	Rejection UV (%)	TOC (mg/l)	Rejection TOC (%)
0	26.5	4.85	0.00	0.15	0.00	4.42	0.00
10	26.5	0.54	88.85	0.11	25.68	3.29	25.57
20	26.5	0.46	90.45	0.11	25.68	3.29	25.57
30	26.5	0.41	91.59	0.11	27.03	3.26	26.24
40	26.5	0.38	92.23	0.11	27.70	3.23	26.92
50	26.5	0.35	92.82	0.11	28.38	3.18	28.05
60	26.5	0.31	93.57	0.11	29.05	3.12	29.41

**ตารางที่ ข.13 ผลการกำจัดความ浑浊และสารอินทรีย์คาร์บอนทั้งหมด เมื่อคำนวณระบบของน้ำผิวดินผ่านเมมเบรนMF แบบกะขนาดครูพรุน 5 μm ความดัน 172.32 kPa**

Time (min)	Temp (°C)	Turbidity (NTU)	Rejection Turbidity (%)	UV (cm <sup>-1</sup> )	Rejection UV (%)	TOC (mg/l)	Rejection TOC (%)
0	26	4.85	0.00	0.15	0.00	4.42	0.00
10	26	2.68	44.82	0.14	2.70	3.92	11.31
20	26	2.14	55.98	0.14	4.73	3.90	11.76
30	26	1.64	66.16	0.14	6.76	3.81	13.80
40	26	1.22	74.93	0.13	11.49	3.80	14.03
50	26	1.18	75.71	0.12	16.22	3.78	14.48
60	26	1.16	76.00	0.12	16.89	3.76	14.93

**ตารางที่ ข.14 ผลการกำจัดความ浑浊และสารอินทรีย์คาร์บอนทั้งหมด เมื่อคำนวณระบบของน้ำผิวดินผ่านเมมเบรนMFแบบกะขนาดครูพรุน 1.2 μm ความดัน 172.32 kPa**

Time (min)	Temp (°C)	Turbidity (NTU)	Rejection Turbidity (%)	UV (cm <sup>-1</sup> )	Rejection UV (%)	TOC (mg/l)	Rejection TOC (%)
0	26.5	4.85	0.00	0.15	0.00	4.42	0.00
10	26.5	1.94	60.00	0.13	14.56	3.73	15.61
20	26.5	1.92	60.41	0.12	16.17	3.66	17.19
30	26.5	1.31	72.99	0.12	16.62	3.64	17.65
40	26.5	1.29	73.40	0.12	17.77	3.59	18.78
50	26.5	1.21	75.05	0.12	18.91	3.54	19.91
60	26.5	1.13	76.70	0.12	19.37	3.52	20.36

ตารางที่ ข.15 ผลการกำจัดความชุ่นและสารอินทรีย์carbonทั้งหมด เมื่อคำนึงระบบของน้ำผิว  
ดินผ่านmembrane MFแบบขนาดกรวย 0.45 μm ความดัน 172.32 kPa

Time (min)	Temp (°C )	Turbidity (NTU)	Rejection Turbidity (%)	UV (cm <sup>-1</sup> )	Rejection UV (%)	TOC (mg/l)	Rejection TOC (%)
0	26.5	4.85	0.00	0.15	0.00	4.42	0.00
10	26.5	1.91	60.56	0.12	19.83	3.50	20.81
20	26.5	0.89	81.57	0.12	21.66	3.42	22.62
30	26.5	0.88	81.84	0.11	23.73	3.33	24.66
40	26.5	0.86	82.23	0.11	24.18	3.31	25.11
50	26.5	0.85	82.45	0.11	25.10	3.27	26.02
60	26.5	0.84	82.68	0.11	25.10	3.27	26.02

ตารางที่ ข.16 ผลการกำจัดความชุ่นและสารอินทรีย์carbonทั้งหมด เมื่อคำนึงระบบของน้ำผิวดิน  
ผ่านmembraneแบบอสโนมิลส์อนกเล็บ ที่ความดัน 482.51 kPa

Time (min)	Temp (°C )	Turbidity) (NTU)	Rejection (%)	TOC (mg/l)	Rejection TOC (%)
0	26.6	4.85	0.00	0.15	0.00
30	26.6	2.41	50.25	0.14	4.73
60	26.6	2.01	58.54	0.14	5.41
90	26.6	1.53	68.41	0.14	8.11
120	26.6	1.20	75.30	0.13	14.19
150	26.6	1.11	77.11	0.13	14.86
180	26.6	1.11	77.13	0.12	18.24
240	26.6	4.85	0.00	0.15	0.00

### ภาคผนวก ก

ตารางแสดงค่าพารามิเตอร์ของน้ำดินผิวดินทั่วไปและค่าความต้านทาน  
ของเยื่อแผ่นเมื่อคำนวณระบบของน้ำผิวดินผ่านแมมนเบรนแบบไมโครฟิลเตอร์ชั้น  
และօօสโโนซิสย้อนกลับ

### ภาคผนวก ๑

**ตารางแสดงค่าพารามิเตอร์ของน้ำดินผิวดินทั่วไปและค่าความต้านทาน  
ของเยื่อแผ่นเมื่อดำเนินระบบของน้ำผิวดินผ่านแมมนbraneไมโครฟิลเตอร์ชั้น  
และօอสโนซิสย้อนกลับ**

**ตารางที่ ค.1 คุณภาพน้ำผิวดินทั่วไป**

คุณภาพ	ขนาด	คุณภาพ	ขนาด
ทางกายภาพ :			
ความชื้น , NTU	50	สี, หน่วยสี	50
ตะกอนละลายน้ำ, มก/ลิตร TDS	150		
ทางเคมี :			
ไนโตรเจน , มก/ลิตร N	3	ฟอสฟอรัส, มก/ลิตร	0.05
ความเป็นกรดด่าง , มก/ลิตร	90	ความเป็นด่าง, มก/ลิตร	100
PH	7.5	แคลเซียม, มก/ลิตร	30
แมกนีเซียม , มก/ลิตร	20	โซเดียม, มก/ลิตร	20
ໂປແຕສເຊີມ , มก/ลิตร	2	เหล็ก, มก/ลิตร	0.5
ໄບຄາຣບອນເຕ, มก/ลิตร	90	ຄລອໄຣດໍ, มก/ลิตร	25
ຂ້າພະເຈົ້າ, มก/ลิตร	20	ໄນຕຣທ, มก/ลิตร	0.5
ຟລູອອໄຣດໍ, มก/ลิตร	0.2	ແມງການີສ, มก/ลิตร	0.02
ทางชีววิทยา :			
ໂຄໄລຝອຣົມ, MPN/100 มล.	2000	ໄວຮັສ, pfu/100 มล.	10

ตารางที่ ค.2 ค่าความต้านทานสำหรับการดำเนินระบบนำผิวดินแบบต่อเนื่องผ่านเมมเบรน MF  
ขนาดครุพุน  $5 \mu\text{m}$ ,  $1.2 \mu\text{m}$  และ  $0.45 \mu\text{m}$  ที่มีความชุ่น  $4.85 \text{ NTU}$  ปริมาณสารอินทรีย์  
คาร์บอนทั้งหมด  $4.42 \text{ Mg.L}^{-1}$  ผ่านกระบวนการกรองแบบ MF ที่ความดัน  $172.32 \text{ kPa}$

ขนาดครุพุนของ เมมเบรน ( $\mu\text{m}$ )	ความต้านทานที่เกิดขึ้น $\times 10^{12} (\text{m}^{-1})$			
	$R_{c1}$	$R_{c2}$	$R_f$	$R_T$
$5 \mu\text{m}$	1.31	0.35	0.36	2.02
$1.2 \mu\text{m}$	2.27	1.10	0.37	3.74
$0.45 \mu\text{m}$	3.03	0.49	0.82	4.51

ตารางที่ ค.3 ค่าความต้านทานสำหรับการดำเนินระบบนำผิวดินแบบผ่านเมมเบรน MF ขนาด  
ครุพุน  $5 \mu\text{m}$ ,  $1.2 \mu\text{m}$  และ  $0.45 \mu\text{m}$  ที่มีความชุ่น  $4.85 \text{ NTU}$  ปริมาณสารอินทรีย์  
คาร์บอนทั้งหมด  $4.42 \text{ Mg.L}^{-1}$  ผ่านกระบวนการกรองแบบ MF ที่ความดัน  $172.32 \text{ kPa}$

ขนาดครุพุนของ เมมเบรน ( $\mu\text{m}$ )	ความต้านทานที่เกิดขึ้น $\times 10^{12} (\text{m}^{-1})$			
	$R_{c1}$	$R_{c2}$	$R_f$	$R_T$
$5 \mu\text{m}$	1.31	0.35	0.36	2.02
$1.2 \mu\text{m}$	5.99	1.42	0.16	7.57
$0.45 \mu\text{m}$	5.24	0.62	0.69	6.72

ตารางที่ ค.4 ค่าความต้านทานสำหรับการดำเนินระบบของนำผิวดินผ่านเมมเบรนแบบօสโนซิส  
ข้อนกลับที่ความดัน  $482.51 \text{ kPa}$

นำตัวอย่าง	ความต้านทานที่เกิดขึ้น $\times 10^{14} (\text{m}^{-1})$				
	$R_{c1}$	$R_{c2}$	$R_f$	$R_m$	$R_T$
surface water	0.1200	0.0440	0.1500	1.0200	1.3300
pretreat $5 \mu\text{m}$	0.0039	0.0110	0.1200	1.0200	1.1500
pretreat $1.2 \mu\text{m}$	0.0010	0.0120	0.0180	1.0200	1.0500
pretreat $0.45 \mu\text{m}$	0.0044	0.0120	0.0220	1.0200	1.0600

ภาคผนวก ง  
ตัวอย่างการคำนวณ

## ภาคผนวก ๙

### ตัวอย่างการคำนวณ

#### ๔.๑ ตัวอย่างการคำนวณค่าการกำจัดความชุ่นและสารอินทรีย์car์บอนทั้งหมด

ເປົ້າເຫັນການກຳຈັດ ກຣີໃຫ້ນໍາພິວດິນຕ້ວຍ່າງທີ່ມີຄວາມชຸ່ນ 4.85 NTU ປຽນມາສາຮອນທີ່ມີ  
ກາຣີບອນທັ້ງໝົດເທົ່າກັນ 4.42mg/L ທີ່ຄວາມດັນ 172.32 kPa

จากສາມາດ  $R_{turbidity} = \left(1 - \frac{C_{perm}}{C_{feed}}\right) \times 100$

ທີ່ເວລາ 10 ນາທີ  $R_{turbidity} = \left(1 - \frac{0.81}{4.85}\right) \times 100$   
 $R_{turbidity} = 83.30\%$

ທີ່ເວລາ 20 ນາທີ  $R_{turbidity} = \left(1 - \frac{0.52}{4.85}\right) \times 100$   
 $R_{turbidity} = 89.26\%$

ທີ່ເວລາ 30 ນາທີ  $R_{turbidity} = \left(1 - \frac{0.49}{4.85}\right) \times 100$   
 $R_{turbidity} = 89.73\%$

ທີ່ເວລາ 40 ນາທີ  $R_{turbidity} = \left(1 - \frac{0.42}{4.85}\right) \times 100$   
 $R_{turbidity} = 91.28\%$

ທີ່ເວລາ 50 ນາທີ  $R_{turbidity} = \left(1 - \frac{0.33}{4.85}\right) \times 100$   
 $R_{turbidity} = 93.24\%$

ທີ່ເວລາ 60 ນາທີ  $R_{turbidity} = \left(1 - \frac{0.24}{4.85}\right) \times 100$   
 $R_{turbidity} = 95.05\%$

$$\text{จากสมการ} \quad R_{TOC} = \left(1 - \frac{C_{perm}}{C_{feed}}\right) \times 100$$

ที่เวลา 10 นาที  $R_{TOC} = \left(1 - \frac{3.45}{4.42}\right) \times 100$   
 $R_{TOC} = 21.95\%$

ที่เวลา 20 นาที  $R_{TOC} = \left(1 - \frac{3.31}{4.42}\right) \times 100$   
 $R_{TOC} = 25.11\%$

ที่เวลา 30 นาที  $R_{TOC} = \left(1 - \frac{3.22}{4.42}\right) \times 100$   
 $R_{TOC} = 27.15\%$

ที่เวลา 40 นาที  $R_{TOC} = \left(1 - \frac{3.19}{4.42}\right) \times 100$   
 $R_{TOC} = 27.83\%$

ที่เวลา 50 นาที  $R_{TOC} = \left(1 - \frac{3.16}{4.42}\right) \times 100$   
 $R_{TOC} = 28.51\%$

ที่เวลา 60 นาที  $R_{TOC} = \left(1 - \frac{3.08}{4.42}\right) \times 100$   
 $R_{TOC} = 30.32\%$

## ๔.2 ตัวอย่างการคำนวณความต้านทานของการอุดตันแบบอนุกรม

กรณีใช้น้ำผิวดินตัวอย่างที่มี ความชื้น 4.85NTU ปริมาณสารอินทรีย์ธรรมชาติเท่ากับ 4.42mg/L ที่ความดัน 172.32 kPa

### 1. สำหรับเมมเบรนที่สะอาด

$$\text{โดยที่ } J_v = 133282LMH$$

$$\Delta P = 25 \text{ psi}$$

$$\mu = 8.65 \times 10^{-4} (\text{kg/m-s})$$

$$\text{จาก } J_v = \frac{\Delta P}{\mu R_m}$$

$$R_m = \frac{25 \text{ psi} \times \left( \frac{1 \frac{\text{kg}}{\text{m-s}^2} \times 101.325 \times 1000}{(14.7 \text{ psi})} \right)}{133282 \left( \frac{L}{\text{m}^2 \cdot \text{h}} \right) \times \left( \frac{1 \text{ m}^3}{1000 \text{ L}} \right) \times \left( \frac{1 \text{ h}}{60 \times 60 \text{ s}} \right) \times \left( 8.65 \times 10^{-4} \frac{\text{kg}}{\text{m-s}} \right)}$$

$$R_m = 5.38 \times 10^9 \text{ m}^{-1}$$

### 2. เมมเบรนที่มีการอุดตันด้วยสารอินทรีย์ค่าบอนทั้งหมด สารเคมีและคลอ落อยด์

$$\text{จาก } J_v = \frac{\Delta P}{\mu R_T} = \frac{\Delta P}{\mu(R_m + R_{c1} + R_{c2} + R_f)}$$

$$R_T = R_m + R_{c1} + R_{c2} + R_f$$

$$5.38 \times 10^{13} \text{ m}^{-1} + R_{c1} + R_{c2} + R_f = \frac{25 \text{ psi} \times \left( \frac{1 \frac{\text{kg}}{\text{m.s}^2} \times 101.325 \times 1000}{(14.7 \text{ psi})} \right)}{350 \left( \frac{L}{\text{m}^2 \cdot \text{h}} \right) \times \left( \frac{1 \text{ m}^3}{1000 \text{ L}} \right) \times \left( \frac{1 \text{ h}}{60 \times 60 \text{ s}} \right) \times \left( 8.71 \times 10^{-4} \frac{\text{kg}}{\text{m.s}} \right)}$$

$$R_{c1} + R_{c2} + R_f = 2.02 \times 10^{12} \text{ m}^{-1} \quad (1)$$

3. เมื่อทำความสะอาดด้วยน้ำ

$$\text{โดยที่ } J_v = 1003 \text{ LMH}$$

$$\Delta P = 25 \text{ psi}$$

$$\mu = 8.65 \times 10^{-4} (\text{kg/m-s})$$

$$R_m + R_{c2} + R_f = \frac{25 \text{ psi} \times \left( \frac{1 \frac{\text{kg}}{\text{m.s}^2} \times 101.325 \times 1000}{(14.7 \text{ psi})} \right)}{1003 \left( \frac{L}{\text{m}^2 \cdot \text{h}} \right) \times \left( \frac{1 \text{ m}^3}{1000L} \right) \times \left( \frac{1 \text{ h}}{60 \times 60 \text{ s}} \right) \times \left( 8.65 \times 10^{-4} \frac{\text{kg}}{\text{m.s}} \right)}$$

$$R_{c2} + R_f = 7.1 \times 10^{11} \text{ m}^{-1} \quad (2)$$

4. เมื่อทำความสะอาดด้วยสารเคมี

$$\text{โดยที่ } J_v = 1972 \text{ LMH}$$

$$\Delta P = 25 \text{ psi}$$

$$\mu = 8.65 \times 10^{-4} (\text{kg/m-s})$$

$$R_m + R_f = \frac{25 \text{ psi} \times \left( \frac{1 \frac{\text{kg}}{\text{m.s}^2} \times 101.325 \times 1000}{(14.7 \text{ psi})} \right)}{1972 \left( \frac{L}{\text{m}^2 \cdot \text{h}} \right) \times \left( \frac{1 \text{ m}^3}{1000L} \right) \times \left( \frac{1 \text{ h}}{60 \times 60 \text{ s}} \right) \times \left( 8.65 \times 10^{-4} \frac{\text{kg}}{\text{m.s}} \right)}$$

$$\therefore R_f = 3.58 \times 10^{11} \text{ m}^{-1}$$

5. แทนค่า  $R_f$  ในสมการที่ (2)

$$R_{c2} = 3.52 \times 10^{11} \text{ m}^{-1}$$

6. แทนค่า  $R_{c2}$  และ  $R_f$  ในสมการที่ (1)

$$R_{c1} = 1.31 \times 10^{12} \text{ m}^{-1}$$

โดยสรุป ค่าความต้านทานการอุดตันในลักษณะต่างๆ มีค่าดังนี้

$$R_m = 5.38 \times 10^9 m^{-1}$$

$$R_{c1} = 1.31 \times 10^{12} m^{-1}$$

$$R_{c2} = 3.52 \times 10^{11} m^{-1}$$

$$R_f = 3.58 \times 10^{11} m^{-1}$$

## ประวัติผู้วิจัย

**ชื่อ**

**ประวัติการศึกษา**

นายกาน奴วัฒน์ สีทา

ประกาศนียบัตรวิชาชีพชั้นสูง จังหวัดบุรีรัมย์

พ.ศ. 2535

วิศวกรรมศาสตรบัณฑิต สาขาวิชาวิศวกรรมโยธา คณะ  
วิศวกรรมศาสตร์ มหาวิทยาลัยเอเชียคเนย์ พ.ศ. 2546

**ประวัติการทำงาน**

พ.ศ. 2538 – ปัจจุบัน

บริษัท ที.เอส.ซัพพลายแอนด์คอนสตรัคชั่น จำกัด  
จังหวัดกรุงเทพฯ